

FONDATĂ ÎN ANUL 1970

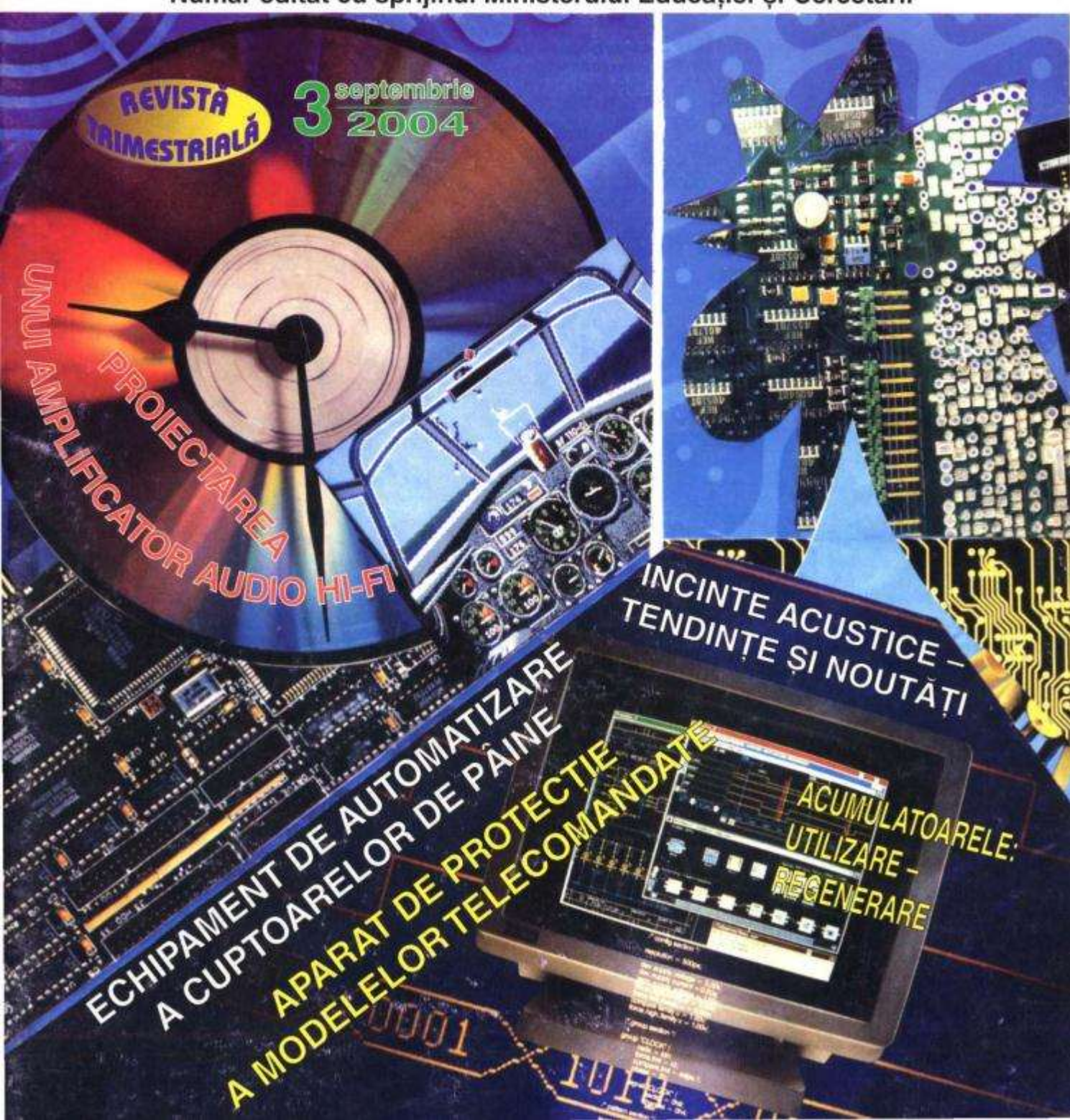
Tehnium

ANUL XXXIV, Nr. 354

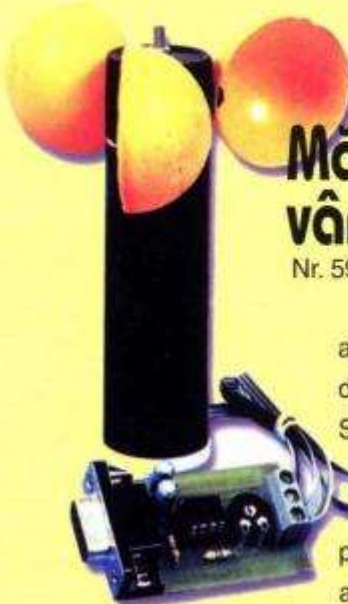
REVISTĂ PENTRU CONSTRUCTORII AMATORI

Număr editat cu sprijinul Ministerului Educației și Cercetării

REVISTĂ
TRIMESTRIALĂ
3 septembrie
2004



Semnalăm în rubrica de față câteva construcții practice prezentate de revista „Conex Club“ în ultimele sale numere. Suntem convinși că ele vor stârni interesul multora dintre cititorii noștri, deoarece pe aceste subiecte am primit și noi la redacție numeroase întrebări și solicitări. La care, iată, răspundem inclusiv prin această informare „telegrafică“. Cei interesați sunt rugați să apeleze direct la sursele citate.



ANEMOMETRU/ Măsurarea vitezei vântului

Nr. 59, 07-08/2004, pag. 60-61

Este descrisă construcția aparatului, cu schițe, fotografii, desenul circuitului imprimat. Schema electrică este prezentată sub forma unei interfețe pentru PC, comunicația realizându-se pe portul serial, din care se face și alimentarea.

CONVERTOR UUS CCIR-OIRT

Nr. 57, 05/2004, pag. 40-41



Acest convertor oferit de firma Conex Electronic permite recepționarea posturilor de radio ce emit în banda CCIR, folosind receptoare radio prevăzute cu banda OIRT.

EMIȚĂTOR TELECOMANDĂ 2 canale



RECEPTOR TELECOMANDĂ 2 canale



Nr. 58, 06/2004, pag. 23-25

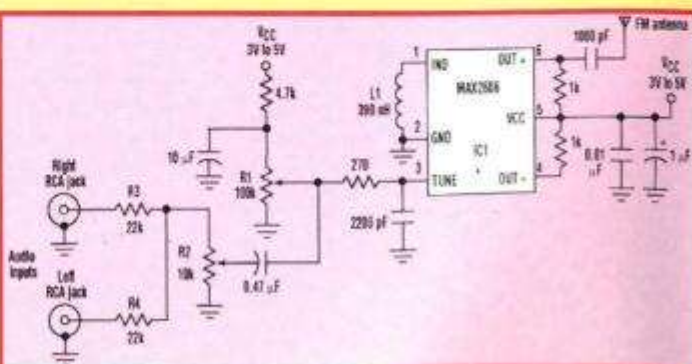
Montajele sunt realizate de firma Conex Electronic sub formă de kituri, având numerele de cod CNX202 și, respectiv, CNX203.

MINIEMIȚĂTOR FM

Nr. 45, 05/2003, pag. 50



Acest miniemisător FM, realizat cu circuitul integrat MAX2606, poate asigura, de exemplu, legătura între un sistem audio „home“ și un aparat de radio portabil.



Stimați cititori,

În numărul de față nu am reușit să includem rubrica „Poșta redacției”, dar asta nu înseamnă că au fost ignorate numeroasele dv. propunerii, sugestii și solicitări, chiar unele critici pe care ni le-am întorsit, fiind pertinente și bine intenționate. Mai puțin ne interesează semnalele indirecte primite de la câțiva fosti colaboratori apropiati de-a lui TEHNİUM, care de doi-trei ani tot „cântă prohodul” revistei și par a fi dezamăgiți că ea nu a „murit”, totuși, după ce domniile lor au hotărât să nu o mai sprijine. Fără comentarii.

Ne pare rău că în unele orașe și municipii, cititorii noștri mai întâmpină încă dificultăți cu procurarea revistei. Dumeavastră, domnilor Ion Petreanu (mun. Dej), Alexandru Bot (Lugoj), Mircea Alin Bărbulescu (com. Bogăti, jud. Argeș) și a. veți primi contra ramburs numeralele solicitante. Soluția cea mai bună, acolo unde mai există probleme cu difuzarea, este să vă abonați la revistă, fie la cel mai apropiat oficiu postal, fie la S.C. Presa Națională S.A. Prețul și adresa editorului sunt trecute pe revistă, domnule Jozsef Bereczki.

Scrisorile dv., domnilor Valentin Mircea Neagoe (Târgoviște), Constantin Duca (Sibiu), Mircea Alin Bărbulescu (com. Bogăti, jud. Argeș), Stamat Radu (Galați) și a. au fost date specialiștilor noștri pe respectivele domenii și urmează să primiți răspunsurile prin poștă.

Nu deținem cataloge cu prețuri pentru componente electronice banale, domnule Adrian Mărza (Moinesti). Acum fiecare magazin are prețurile lui, pe care le „indexează” după cursul valutar, dar adeseori și după bunul plac, căci legea permite. Așa se face că una și aceeași piesă o pot cumpăra, de exemplu, cu 10.000 lei, dar și cu 20.000 lei sau chiar cu 30.000 lei. Așadar, vizitați magazine mai multe, comparați, și abia apoi cumpărați.

Cărți și reviste de electronică, la prețuri foarte convenabile, găsiți în anticariate și prin târgurile de vechituri, domnule Petru Zală (Argel, jud. Suceava).

Ne pare rău, domnule ing. Mihai Huluță (loc. Agaș, jud. Bacău) că v-ați supărat pe TEHNİUM pentru cele peste 80% articole de electronică. Este adevărat, din păcate, că ponderea altor domenii a scăzut, dar aceasta nu înseamnă că redacția nu vrea: este o rezultantă a „jocului” cerere-ofertă. Desigur, vom mai publica (atunci când vom primi de la colaborator) și construcții de generatoare electrice sau microhidrocentrale. Cealaltă sugestie a dumneavoastră – instalații pentru brichetarea rumegușului – este și ea tentantă, dar din căte am reușit să afliam deocamdată, în țară la noi nu s-au realizat încă astfel de proiecte (există cîteva instalații din import). Pentru o documentare preliminară, vă sfătuim să luati legătura cu Institutul Național al Lemnului din Bucuresti, tel. 2331556, fax 2331514.

Aveți dreptate, domnule Ilie Stoica (Urziceni), reluarea rubricii foto ar fi bine venită. Am dat și noi „sfoară-n țară”, aşteptăm oferte de articole.

Din păcate, numeroasele dumneavoastre propunerii de articole, domnilor elevi Cătălin Macovei (Botoșani) și Alexandru Bot (Lugoj), nu inspiră încredere pentru a fi publicate în TEHNİUM.

Excepțională propunerea dv., domnule Ion Petreanu (Dej), de a iniția o rubrică privind întreținerea și repararea aparatelor electrocasnice. TEHNİUM a mai avut asemenea tentative în decursul timpului, dar nu a prea găsit „meseriaș” de încredere care să o susțină, date fiind precauțiile deosebite ce se impun (pericol de electrocutare), că și riscul unor eventuale eșecuri costisitoare, pentru care autorii soluțiilor propuse pot fi trași la răspundere. Desigur, agreăm ideea de a încerca din nou și aşteptăm articole pe acest domeniu, cu condiția că autorii să își asume răspunderea pentru corectitudinea celor prezentate.

Alexandru Mărulescu

SUMAR

CONSTRUCTORUL ÎNCEPĂTOR	pag. 4-16
Factorul beta și măsurarea lui	
Valorile normalizate ale rezistențelor	
Circuitul basculant Schmitt	
Minitester pentru LED-uri	
HI-FI	pag. 17-20
Incidente acustice – tendințe și noutăți pe piață românească	
PROIECTUL DE ABSOLVIRE	pag. 21-25
Proiectarea unui amplificator audio HI-FI	
LATORATOR	pag. 26
Etalonarea punctilor de măsură RLC	
LA CEREREA CITITORILOR	pag. 27-42
Cititorii întrebă – specialiștii răspund	
Depanarea multimetrului digital DT830B28	
Sistem automat de menținere a pozitiei	
Accumulator: utilizare - regenerare	
Aplicații practice ale circuitului integrat 555	
Capacimetrul digital	
AUTOMATIZĂRI	pag. 43-51
Releu de timp cu întârziere la cuplare	
Aplicații practice cu relee de timp	
Echipamente de automatizare a cuptoarelor de pâine	
CITITORII RECOMANDĂ	pag. 52-61
Un amplificator economic	
Practica realizării bobinelor cu miez de ferită	
Un cantic ușor de construit	
Amplificator AF	
TDA 1910	
TEHNİUM MODELISM	pag. 62-66
Aparat de protecție a modelelor telecomandate	
Alarma sonoră pentru aeromodel	
Conector automat pentru navomodel	
REVISTA REVISTELOR	pag. 57

TEHNİUM

Revistă pentru constructorii amatori

Fondată în anul 1970

Anul XXXIV, nr. 354, septembrie 2004

Editor

SC Presa Națională SA

Piata Presei Libere nr. 1, București

Redactor-pref.: fiz. Alexandru Mărulescu
Secretariat - macheta artistică: Ion Ivascu

Redacție: Piata Presei Libere nr. 1,
Casa Presei Corp C, etaj 1, camera 121
Telefon: 224.21.02 Fax: 222.48.32
E-mail: presanationala@yahoo.com

Corespondență

Revista TEHNİUM, Piata Presei Libere nr. 1
Căsuța Poștală 68, București - 33

Abonamente

La orice oficiu poștal (Nr. 4120 din Catalogul Presei Române)

DTP: Clementina Geambașu

Editorul și redacția își declină orice responsabilitate
în privința opinilor, recomandărilor și soluțiilor formulate
în revistă, acestea revenind integral autorilor.

ISSN 1224-5925

© Toate drepturile rezervate.

Reproducerea integrală sau parțială este cu desăvârsire
interzisă în absența aprobării scrisă prealabilă a editorului.

Tiparul Romprint SA

Abonamente la revista „Tehnium” se pot face și la sediul SC
PRESA NAȚIONALĂ SA, Piata Presei Libere nr. 1, sector 1,
București, oficiul poștal nr. 33. Relații suplimentare la telefoanele:
224.21.02; 224.38.22 sau la FAX 222.48.32

Conform art. 205-206 C.P., întreaga răspundere juridică pentru
conținutul articolelor revine exclusiv autorilor acestora.

FACTORUL BETA ȘI MĂSURAREA LUI

Pagini realizate de fiz. Alexandru MĂRCULESCU

(Urmare din nr. trecut)

Am încheiat episodul precedent cu promisiunea că vom modifica schema din figura 9 (pe care o reproducem din nou alăturat, pentru o urmărire mai comodă), în vederea realizării unei alte variante de betametru cu citire directă, dar care să nu necesite instrument de măsurare. Scopul acestui demers este de a obține un betametru portabil, robust și de dimensiuni reduse, alimentat dintr-un set de miniacumulatoare, având totodată o precizie de măsurare satisfăcătoare.

Varianta precedentă de betametru, având la bază schema din figura 9, a folosit următorul "algoritm" de măsurare, care poate fi urmărit mai ușor pe graficul din figura 11, trasat cu o curbură voit exagerată a caracteristicii $I_C = f(I_B)$ a tranzistorului de măsurat:

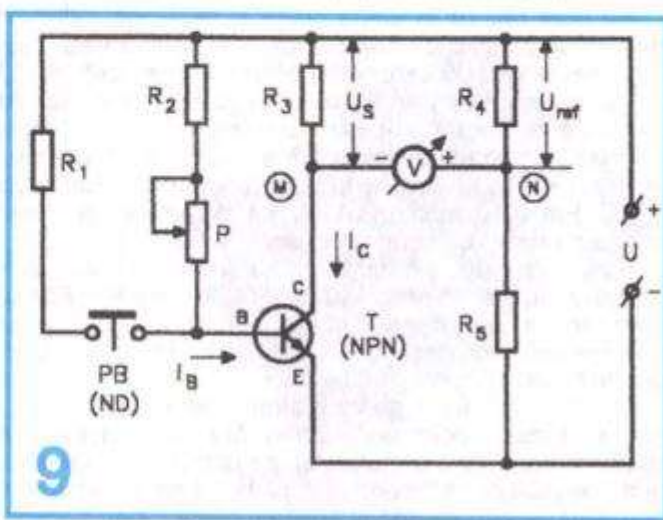
- cu ajutorul potențiometrului P se ajustează curentul de bază I_B astfel încât curentul de colector I_C să atingă valoarea I_{C1} prestabilită (constantă, cunoscută); în acel moment ne aflăm în punctul P1 de pe caracteristica, având coordonatele (I_{B1} , I_{C1});

- prin apăsarea butonului PB se dă o creștere constantă (prestabilită) curentului de bază I_B , având valoarea $\Delta I_B = I_{B2} - I_{B1}$;

- noii valori I_{B2} îi corespunde pe caracteristica un alt punct, P2, având coordonatele (I_{B2} , I_{C2});

- conform definiției factorului beta

$$\beta = \frac{\Delta I_C}{\Delta I_B} = \frac{I_{C2} - I_{C1}}{I_{B2} - I_{B1}} = \text{tg} \alpha \quad (1), (3)$$

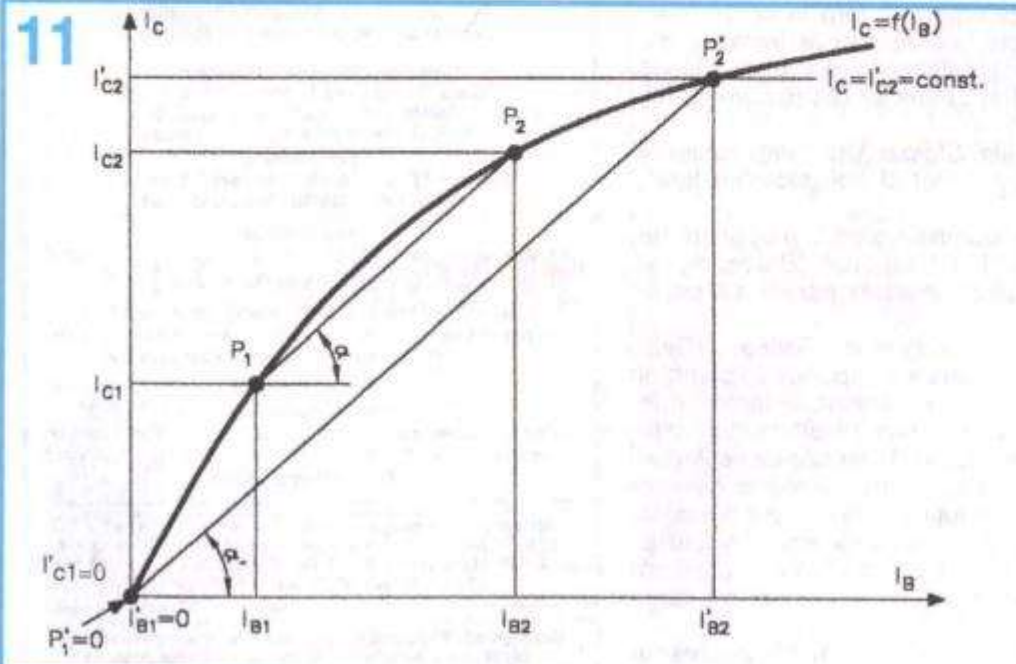


9

rezultă că în aceste condiții, cu $\Delta I_B = \text{constantă}$, determinarea lui beta se reduce la măsurarea creșterii $\Delta I_C = I_{C2} - I_{C1}$ a curentului de colector, care este direct proporțională cu beta.

Noua variantă propusă inversează acest "algoritm" de măsurare, în sensul că nu va mai opera cu variații ΔI_B constante, ci cu variații ΔI_C constante (prestabilită). Noile puncte de pe caracteristica $I_C = f(I_B)$ între care se va face măsurarea sunt P'_1 și P'_2 , cu simplificarea că punctul P'_1 este luat chiar în originea O a axelor OI_B și OI_C . Această opțiune, evident simplificatoare, nu introduce erori semnificative în cazul tranzistoarelor actuale cu siliciu, care au curenti reziduali I_{CEO} practic neglijabili. Celălalt punct, P'_2 , va fi punctul de pe caracteristica $I_C = f(I_B)$ a tranzistorului de măsurat care corespunde unei anumite valori prestabile I'_{C2} a curentului de colector, valoare pe care o vom menține constantă pentru toate măsurările. Acestui prag I'_{C2} îi va corespunde un curent de bază necesar I'_{B2} , mai mic sau mai mare, după cum tranzistorul măsurat are factorul beta mai mare sau mai mic.

În acest caz simplificat, expresia factorului beta dată de (1) și (3) devine:



$$\beta = \frac{I_{C2}}{I_{B2}} = \operatorname{tg} \alpha' \text{ cu } I_{C2} = \text{constant} \quad (6)$$

În figura 12 am redat o variantă a schemei din figura 9, adaptată acestui nou "algoritm" de măsurare propus (reprezentat sugestiv în figura 13). Se subînțelege că rezistența de sarcină (de colector) R_C va fi și ea constantă, ceea ce înseamnă că pragului de curent I_{C2} îi va corespunde un prag al căderii de tensiune de la bornele lui R_C , pe care l-am notat:

$$U_p = R_C \cdot I_{C2} \quad (7)$$

Atingerea acestui prag U_p (prin creșterea progresivă a curentului de bază, rotind fin cursorul potențiometrului P) va fi indicată luminos, de exemplu prin aprinderea bruscă sau stingerea bruscă a unui LED, folosind un detector de prag, DP.

Revenind la expresia (6) a lui beta și înlocuind pe I_{B2} cu valoarea sa dată de (4)

$$I_{B2} = \frac{U - U_{BE}}{\mathfrak{R}} \quad (8)$$

obținem:

$$\beta = \frac{I_{C2}}{U - U_{BE}} \cdot \mathfrak{R} = k \cdot \mathfrak{R} \quad (9)$$

unde cu \mathfrak{R} am notat suma dintre valoarea rezistenței de limitare R și valoarea rezistenței inseriate a lui P la atingerea pragului de măsurare U_p .

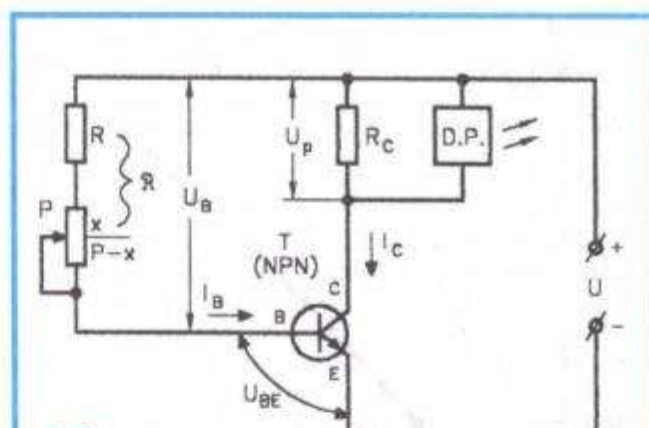
În cuvinte spuse, valorile lui beta sunt direct proporționale cu valorile rezistenței totale \mathfrak{R} din circuitul de bază, la atingerea pragului de măsurare U_p . Constanta de proporționalitate

$$k = \frac{U_p}{R_C(U - U_{BE})} = \frac{I_{C2}}{U - U_{BE}} \quad (10)$$

este cea care va dicta precizia etalonării / corespondenței numerice $\beta = f(\mathfrak{R})$ ce va fi marcată pe scara gradată atașată potențiometrului P, presupus liniar. Pentru a obține o precizie bună de măsurare (o valoare k "suficient de constantă"), deducem din (10) că trebuie să asigurăm simultan:

- o valoare cât mai constantă a tensiunii de alimentare U;

- o valoare cât mai constantă (în timp, cu temperatură, în funcție de curent etc.) a rezistenței R_C ;

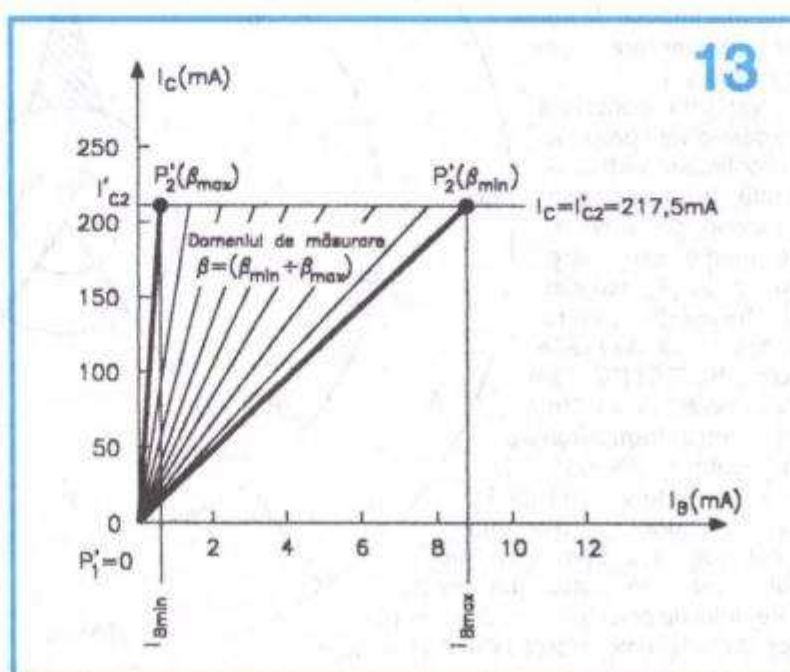


12

- o detectare cât mai precisă și reproductibilă a pragului de măsurare U_p .

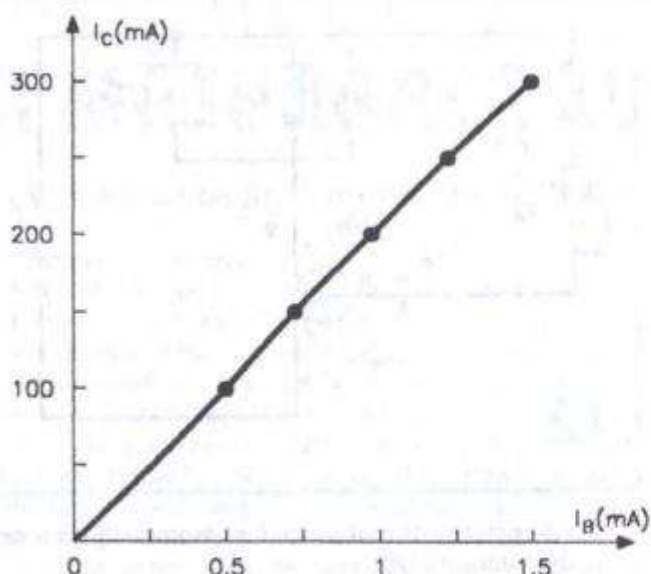
Cu excepția detectorului de prag DP (de care ne vom ocupa la realizarea unei variante concrete de betametru), elementele de principiu s-au cam clarificat, sperăm, în ceea ce privește realizabilitatea unui betametru bun bazat pe schema din figura 12. Ca o paranteză încurajatoare (pentru eventualii sceptici, care vor considera că este prea simplu ca să fie bun), menționez că folosesc de prin anul 1980 un tester beta realizat după acest principiu. Cu ajutorul lui am făcut sortări rapide, împerecheri multumitoare de tranzistoare, chiar "ordonarea" după valorile beta a întregii mele "zestre" de tranzistoare. Ulterior, când mi-am construit și eu un betametru de precizie, am avut plăcute surprize să constat că bătrânlul meu tester nu m-a păcălit nici măcar cu o singură inversiune în această ordonare.

Ar mai trebui poate semnalat (cu riscul repetării celor arătate în introducerea acestui serial) că un inevitabil



13

14



pragul I_{C2} undeva între 200 mA și 300 mA, pentru a nu fi nici prea mic, dar nici prea mare în raport cu posibilitățile sursei de alimentare. Desigur, dacă tranzistoarele măsurate aici vor fi ulterior folosite la curenți mult mai mari, va trebui să avem în vedere o diminuare (cu 10%-20%) a valorilor măsurate. Oricum, măsurările efectuate în această plajă vor constitui un bun punct de referință ca valori absolute și un foarte bun indiciu de comparație între diferitele exemplare de tranzistoare disponibile.

Cu titlu informativ (dar și "justificativ"), în tabelul alăturat sunt prezentate câteva perechi de valori corespondente (I_B , I_C), în plaja $I_C = (0+300$ mA), determinate experimental pentru un exemplar oarecare de tranzistor (β) 2N3055H, în condițiile $U = 5V$; $R_C = 4,7\Omega$.

factor de eroare sistematică, ce afectează toate măsurările și în același sens (deci mai ușor de contracarat sau de compensat postmăsurare) îl reprezintă compromisul făcut în mod deliberat la alegerea valorii de prag I_{C2} (de fapt a plajei $0+I_{C2}$ a curentului de colector) pentru care se face măsurarea lui beta. Într-adevăr, la proiectarea concretă a betametrului, realizatorul trebuie să facă un compromis în ceea ce privește alegerea lui I_{C2} , ținând cont simultan de diverse cerințe contradictorii sau de factori practici limitanți, cum ar fi: cerința (dorința firească) de a putea compara rezultatele obținute cu datele de catalog; dorința de a face măsurările în condiții căt mai apropiate de cele în care vor fi puse să funcționeze tranzistoarele măsurate; limitările impuse de sursa de alimentare preconizată și-a.

Varianta concretă pe care o vom propune în continuare va fi destinată tranzistoarelor cu siliciu, de tip NPN, de medie sau mare putere. În [4], valorile lui $h_{21E} (= \beta)$ pentru tranzistoarele de medie putere BD135 (137, 139) sunt indicate la $I_C = 150$ mA, iar pentru tranzistoarele de putere 2N3055, la $I_C = 4A$. Este evident că în cazul unei alimentări autonome, aşa cum vom propune, nu vom putea lua pragul curentului de colector de ordinul ampereilor. Un compromis acceptabil ar fi să alegem

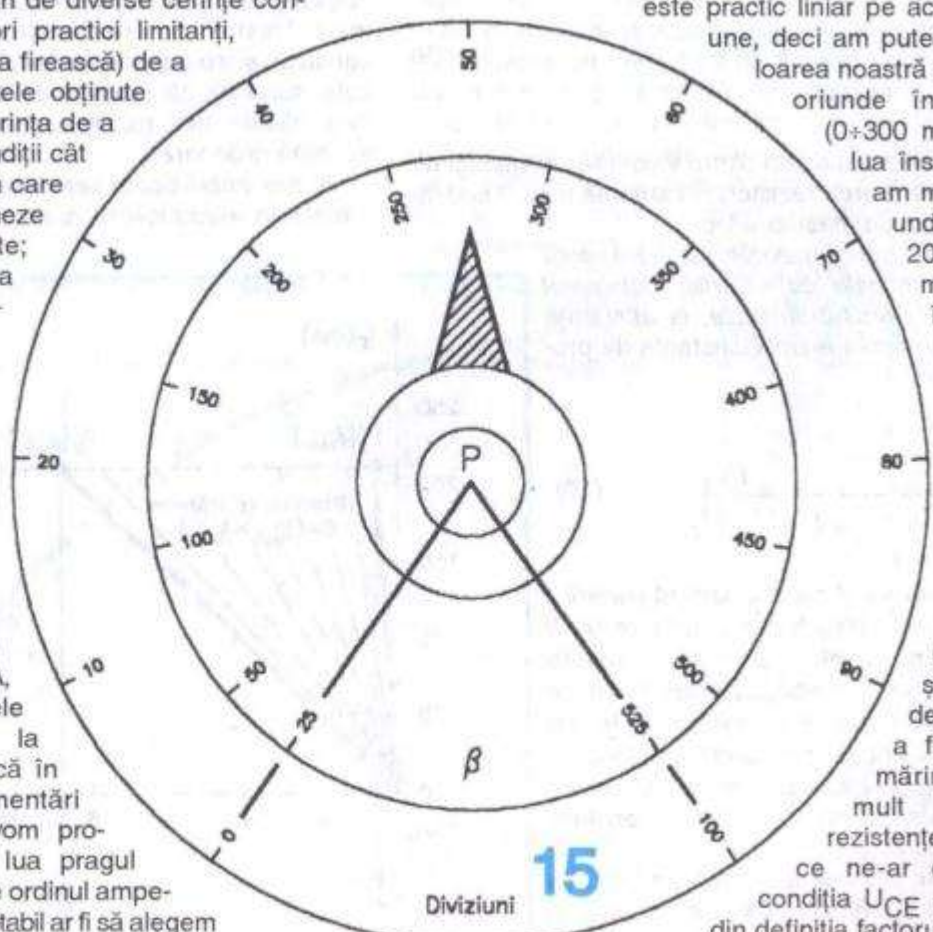
I_C (mA)	50	100	150	200	250	300
I_B (mA)	0,24	0,49	0,72	0,96	1,22	1,50

Pe baza acestor date a fost trasat graficul din figura 14, adică porțiunea "de început" a caracteristicii $I_C = f(I_B)$ a tranzistorului în cauză. Observăm că graficul este practic liniar pe această porțiune, deci am putea alege valoarea noastră de prag I_{C2} oriunde în intervalul $(0+300$ mA).

O vom lua însă, aşa cum am motivat deja, undeva între 200 mA și 300 mA, având în vedere și cerința de a obține un prag de tensiune U_P , conform relației (7), care să fie detectabil ușor și suficient de precis, fără să mărim prea mult valoarea rezistenței R_C (ceea ce ne-ar depărtă de condiția $U_{CE} = \text{constantă}$ din definiția factorului beta).

15

Diviziuni



Betametru cu citire directă - Varianta 2

În continuare, după modelul propus pe baza schemei din figura 12, vom "proiecta" un *betametru pentru tranzistoare cu siliciu de tip NPN, de medie și mare putere*, cu condiția impusă de a fi un aparat portabil, deci *cu sursă autonomă de alimentare*.

Dintre multiplele opțiuni posibile la ora actuală, am ales varianta unei surse de alimentare alcătuită dintr-o grupare în serie a patru miniacumulatoare Ni-Cd de tip 1,2 V/750 mAh. În stare bună și proaspăt încărcat, un astfel de set are în gol o tensiune de până la 5,2 V-5,3 V, iar în sarcină de 250 mA o tensiune la borne în jur de 5 V (pe mai multe seturi am măsurat între 4,9 V și 5,1 V).

Ca atare, propun ca valoare de calcul $U = 5$ V, realizatorul având tot interesul să o verifice (și la nevoie să o corecteze) în funcție de propriul lui set de astfel de acumulatoare, bineînțeles proaspăt încărcate la începerea fiecărei "sesiuni" de măsurători.

Din motivele pe larg expuse anterior, propun alegerea rezistenței de sarcină (de colector) R_c cu valoarea de $4,7\Omega$. Exemplarul folosit se va măsura, firește, în prealabil, pentru a ne asigura că R_c este în plaja orientativă $4,6\Omega \div 4,8\Omega$. Pentru precizia betametrului, însă, esențial nu este ca valoarea lui R_c să fie cât mai exact cea propusă pentru calcul ($4,7\Omega$), ci ca valoarea respectivă să fie cât mai constantă. De aceea, vom alege pentru R_c un rezistor bobinat, cu clasă de precizie cât mai bună și cu puterea de disipație de 5W, evident (și intenționat) supradimensionată.

Urmează stabilirea pragului de curent I_{c2} , în plaja propusă anterior ($200 \text{ mA} \div 300 \text{ mA}$), astfel încât să rezulte prin (7) un prag U_p convenabil. Având în vedere faptul că detectorul de prag DP propus va fi un circuit basculant de tip trigger Schmitt, o valoare convenabilă a pragului de tensiune este $U_p = 1V$. De aici ar rezulta un prag de curent $I_{c2} = 1V/4,7\Omega \approx 213 \text{ mA}$.

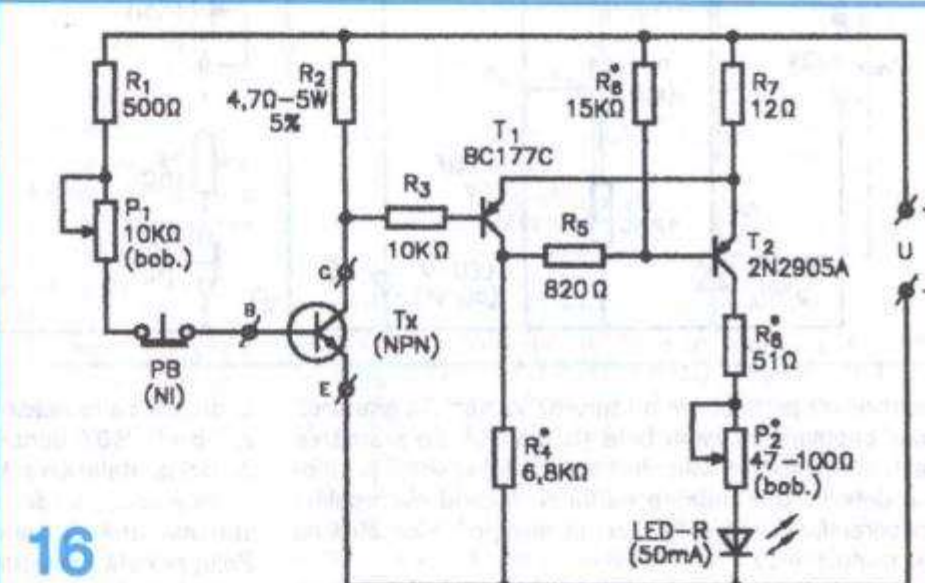
Inlocuind $U = 5$ V și $I_{c2} = 213 \text{ mA}$ în (10), obținem pentru constanta de proporționalitate valoarea $k \approx 0,049 (\Omega^{-1})$. Pentru comoditatea etalonării $\beta = f(\mathfrak{R}) = k\mathfrak{R}$, suntem tentați să "retușăm" puțin valoarea lui I_{c2} , astfel încât să obținem $k = 0,05 (\Omega^{-1})$. Din (10) deducem că valoarea necesară în acest scop este $I_{c2} = 217,5 \text{ mA}$.

În fine, pentru $R_c = 4,7 \Omega$, rezultă din (7) că pragul de tensiune necesar în acest caz va fi $U_p = 1,022 \text{ V}$.

Dacă în urma măsurătorilor atente rezultă o valoare diferită a rezistenței de colector, de pildă $R_c = 4,8 \Omega$, evident va trebui corectat corespunzător pragul U_p (în exemplul dat, $U_p = 1,044 \text{ V}$), pentru a păstra valoarea convenabilă $k = 0,05 (\Omega^{-1})$.

Urmează acum să stabilim domeniul de măsurare propus, (β_{min} ; β_{max}), în funcție de care vom calcula valoările necesare pentru rezistența de limitare R și pentru potențiometrul P .

Pentru tranzistoarele de medie și mare putere, cu siliciu, un $\beta_{max} = 400$ ar fi arhizuficient. Un calcul rapid ne arată însă că în acest scop am avea nevoie de o valoare $\mathfrak{R}_{max} = \beta_{max} / k = 8000 \Omega$, adică de un potențiometru (bobinat) de cca $7,5 \text{ k}\Omega$, mai greu de procurat. Valorile uzuale întâlnite pentru P sunt cele de $5\text{k}\Omega$ (respectiv $4,7\text{k}\Omega$), iar următoarea de $10\text{k}\Omega$. Pentru $P = 5\text{k}\Omega$ plus $R = 500 \Omega$, deci pentru $\mathfrak{R}_{max} = 5500 \Omega$, ar rezulta $\beta_{max} = 275$, ceea ce nu este acoperitor, mai ales pentru tranzistoarele de medie putere. Pe de altă parte, pentru $P = 10\text{k}\Omega$ plus $R = 500 \Omega$ ar rezulta $\beta_{max} = 525$, o limită cam prea mare, dar oricum acoperitoare, chiar dacă extremitatea maximă a domeniului nu va fi practic atinsă niciodată, probabil.



16

Decizia revine realizatorului, dar noi vom opta aici pentru o valoare $P = 10 \text{ k}\Omega$ (potențiometru bobinat, cu diametrul bobinei cât mai mare și cursă unghiulară activă a cursorului cât mai mare).

Valoarea β_{min} măsurabilă (când P este complet scos din circuit) este dictată de valoarea rezistenței de limitare R ($= \mathfrak{R}_{min}$). Dacă ne propunem ca limită inferioară a plajei de măsurare valoarea $\beta_{min} = 25$, rezultă o valoare necesară a rezistenței de limitare $R = 500 \Omega$. Deoarece am optat pentru $P = 10 \text{ k}\Omega$, rezultă o limită superioară a plajei de măsurare $\beta_{max} = 525$, corespunzătoare lui $\mathfrak{R}_{max} = R + P = 10500 \Omega$.

Bineînțeles, potențiometrul P îl vom atașa o scală circulară divizată echidistant pe întreaga cursă unghiulară activă a cursorului, iar butonul cursorului va fi cu "cioc" (sau alt tip de pointer) care să permită decelarea cât mai precisă a diviziunii corespunzătoare pragului de comutare.

Dacă dispunem de un potențiometru "fin" (diametru mare al bobinei, cursă unghiulară activă mare), putem

efectua divizarea în 100 de intervale echidistante, prin diviziuni $d = (0 \div 100)$. Pe aceeași scală astfel divizată sau pe o altă scală concentrică, vom marca valorile intermediare "rotunde" ale lui beta, de exemplu reperele $\beta = 25-50-100-150-200-250-300-350-400$.

Corespondența diviziuni - β se deduce ușor pe baza ecuației de etalonare (9), unde vom lua $k = 0,05 (\Omega^{-1})$:

$$\beta = 0,05 (\Omega^{-1}) \cdot R(\Omega) = 0,05(R+x) \quad (11)$$

În acest scop se va folosi tabelul alăturat, din care în final se vor reține doar prima și ultima linie, adică tocmai

Up riguros constantă, valoarea lui k mai depinde de valoarea tensiunii de alimentare U (și a căderii de tensiune U_{BE} , pe care o putem presupune constantă, de aproximativ 0,65 V).

Cu tensiunea de alimentare U, în cazul setului de acumulatoare propus, supozitia anterioară $U = 5 V$ = constantă este mai greu de îndeplinit, dar și de verificat în practică, mai ales atunci când utilizăm betametrul în regim portabil (deci când nu avem posibilitatea să măsurăm tensiunea, nici să reîncărcăm acumulatoarele,

după o eventuală funcționare mai îndelungată). Într-adevăr, capacitatea acumulatoarelor fiind de 750 mAh, iar curentul absorbit de circa 250-275 mA (incluzând aici și pe cel absorbit de detectorul de prag DP), este de așteptat ca tensiunea la bornele setului să scadă semnificativ la o funcționare mai îndelungată a betametrului, ceea ce afectează, evident, valoarea lui k.

De exemplu, să presupunem că tensiunea ar scădea până la $U = 4,7 V$. Din (10)

deducem că în acest "moment" valoarea coeficientului k ar fi $k = 0,0537$, sensibil mai mare decât cea considerată de noi la etalonarea betametrului.

Și atunci ce-i de făcut, că doar nu vom renunța la o variantă atât de simplă de betamtru liniar portabil? Soluții există, desigur, fiecare constructor urmând să o aleagă pe cea care i se va părea mai convenabilă.

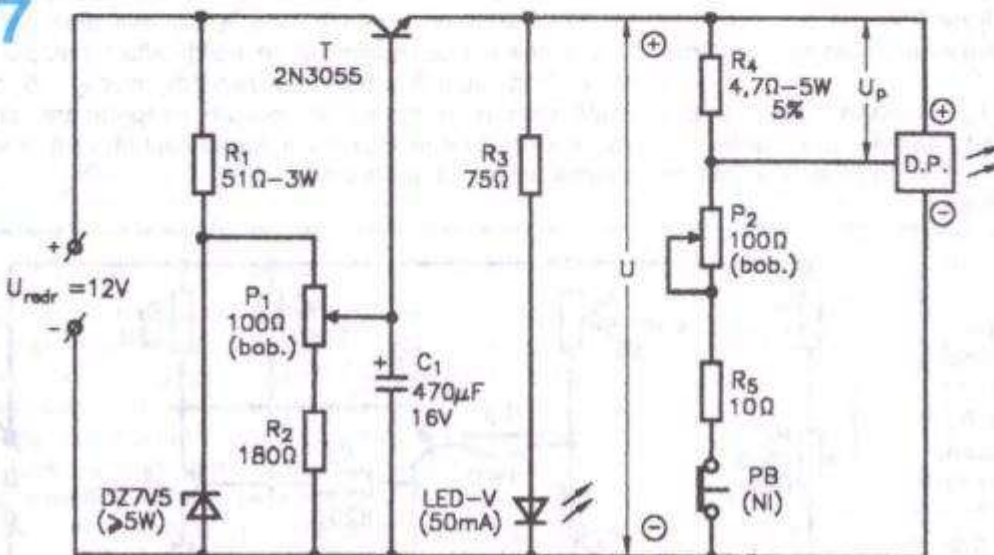
O primă soluție ar fi să se folosească acumulatoare de capacitate mai mare, astfel ca tensiunea la bornele setului să nu scadă semnificativ (cu mai mult de cca 0,05 V) după - să zicem - o oră de funcționare continuă. Oferte în acest sens există, doritorii nu au decât să exploreze piata.

O a doua soluție, pentru cei ce vor să folosească tot acumulatoarele recomandate (mai mici, mai ieftine, mai ușor de procurat și de încărcat), ar fi să se realizeze un set nu de patru, ci de șase astfel de acumulatoare în serie, căruia să i se atâșeze un mic stabilizator de tensiune, ajustat pentru $U = 5 V (\pm 0,05 V)/300 mA$.

În fine, o a treia soluție pe care o menționăm este să rămânem tot la setul propus inițial, căruia îl vom determina experimental plaja maximă de variație acceptabilă din punctul nostru de vedere, $U = (U_{min} \div U_{max})$, după care vom "compensa" variația lui U în această plajă, corectând valoarea pragului de curent I_c2 (respectiv a pragului de tensiune Up) astfel încât constanta de proporționalitate k să albă în permanență valoarea aleasă, $k = 0,05 (\Omega^{-1})$.

De exemplu, să presupunem că acceptăm o plajă maximă de variație $U = (4,6 V \div 5,1 V)$, care corespunde

17



corespondența β - diviziuni, care ne va servi la gradarea scalei circulare în valori beta (figura 15). La marcarea scalei de măsurare, valorile beta din tabel vor fi poziționate definitiv prin măsurarea lui β , făcând eventualele mici corecții necesare, în cazul în care potențiometrul nu este perfect liniar.

β	25	50	100	150	200	250	300	350	400
$\beta = R + x (\Omega)$	500	1000	2000	3000	4000	5000	6000	7000	8000
x (Ω)	0	500	1500	2500	3500	4500	5500	6500	7500
diviziuni	0	5	15	25	35	45	55	65	75

Am realizat astfel etalonarea "teoretică" (prin calcul) a betametrului nostru liniar, operație ce a fost foarte mult ușurată de alegerea unei valori "rotunde" pentru constanta de proporționalitate din ecuația de etalonare (9), respectiv $k = 0,05 (\Omega^{-1})$.

Confirmarea practică a acestei etalonări va fi cu atât mai bună (precizia măsurătorilor cu atât mai mare) cu cât vom reuși să asigurăm mai constantă valoarea pragului de comutare "teoretic" $I_c2 = 217,5 mA$ (cărula pentru $R_c = 4,7 \Omega$ îl corespunde pragul în tensiune $Up = 1,022 V$ și a coeficientului $k = 0,05 (\Omega^{-1})$.

Dacă ne uităm însă atent la semnificația (10) a coefficientului k, observăm că pentru R_c , I_c2 și, respectiv,

bine nevoilor practice uzuale. Din expresiile (10) ale coeficientului k deducem ușor că în acest scop va trebui să asigurăm posibilitatea de reglaj al pragului de curent în plaja $I_{c2} = (197,5 \text{ mA} \div 222,5 \text{ mA})$, respectiv, pentru $R_C = 4,7 \Omega$, a pragului de tensiune în plaja $U_P = (0,928 \text{ V} \div 1,046 \text{ V})$. Deoarece detectorul de prag DP va fi realizat pentru prag de tensiune, înseamnă că, rotunjind acoperitor, va trebui să-l concepem astfel încât pragul său de comutare să poată fi reglat căt mai fin (și, fireste, reproductibil) în plaja $U_P = (0,92 \text{ V} \div 1,05 \text{ V})$.

Vom propune imediat o posibilă variantă pentru detectorul de prag care să răspundă acestei cerințe. Înainte de a o face, a mai rămas de clarificat o problemă, și anume cum vom efectua "corecția" lui Up (pentru a păstra contant $k = 0,05$) atunci când - pe teren fiind, de pildă - nu avem posibilitatea de a măsura tensiunea U și pragul Up?

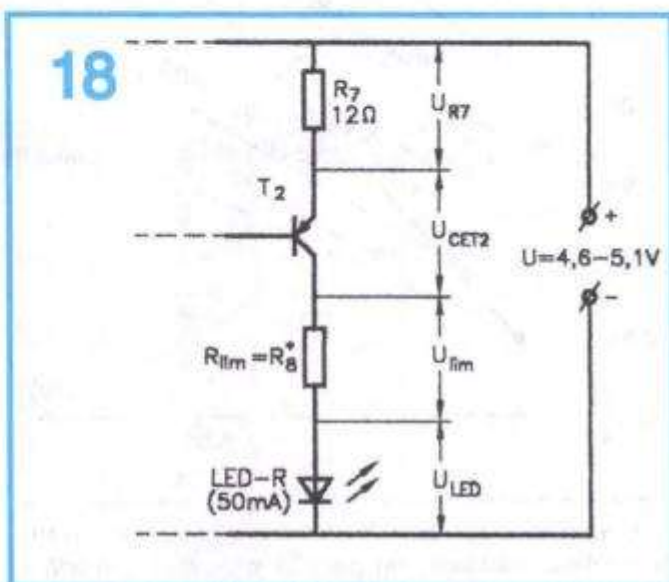
Răspunsul este foarte simplu: prin "calibrarea" sau "etalonarea" scalei beta într-un singur punct, folosind în acest scop un tranzistor Tet, cu factorul beta cunoscut, preferabil având o valoare rotundă și cât mai mare, de exemplu $\beta_{et} = 300$. Astfel, înaintea fiecărei serii (nu prea lungi) de măsurători, vom "remăsura" tranzistorul Tet. Dacă valoarea indicată va difera semnificativ de cea cunoscută, β_{et} , vom ajusta fin pragul Up al detectorului, reluând (la nevoie, repetat) măsurătoarea, până când vom obține citirea corectă a lui β . Dacă prin reglarea lui Up în plaja existentă (cea calculată anterior), măsurarea suficient de precisă a lui β nu este posibilă, înseamnă că tensiunea de alimentare U a "leșit" din plaja de variație maximă acceptată, deci se impune reîncărcarea setului de acumulatoare. Dacă etalonarea este posibilă și se face suficient de precis, putem trece la măsurarea unor tranzistoare necunoscute, constanta $k = 0.05 (\Omega^{-1})$ fiind astfel restabilită pentru un timp.

Desigur, acest mod de compensație este puțin incompatibil și presupune să avem în permanență cu noi tranzistorul etalon, dar cu timpul intră în rutină, iar intervalul de timp dintre reîncărcările obligatorii ale setului de acumulatoare scade semnificativ. Este recomandabil, însă, să facem rapid această "calibrare" - chiar independent de starea de încărcare a acumulatoarelor - pentru că ea ne asigură în privința etalonării scalei de măsurare, compensând simultan variațiile tensiunii de alimentare U și eventualele abateri ale lui R_c de la valoarea "de calcul" de $4.7\ \Omega$.

Schema practică a betametrului propus, care ține cont de datele inițiale alese și de rezultatele calculelor preliminare de mai sus, este prezentată în figura 16. Observăm că față de schema "de plecare" din figura 12, în circuitul de bază al tranzistorului de măsurat Tx a mai fost intercalat un buton prin apăsare (cu revenire) PB, având contacte normal închise, iar detectorul de prag DP a fost "concretizat" sub forma unui circuit basculant de tip trigger Schmitt (tranzistoarele T1-T2 și piezele aferente), care are ca indicator de stare - implicit indicator de atingere a pragului de basculare - un LED roșu, model cu curentul maxim de 50 mA (pentru a fi mai ușor de urmărit în caz că efectuăm măsurători la lumina zilei). Pentru a nu lungi prea mult descrierea betametru-lui propriu-zis, principiul de funcționare a circuitului trig-

ger Schmitt este reamintit într-un articol separat în acest număr, unde sunt date și trei exemple concrete (unul fiind chiar acesta folosit în betametrul din figura 16) și, de asemenea, sunt prezentate și două metode simple de ajustare fină a pragului de basculare. De aceea, ne vom rezuma aici la câteva remarci strict necesare privind detectorul de prag ales.

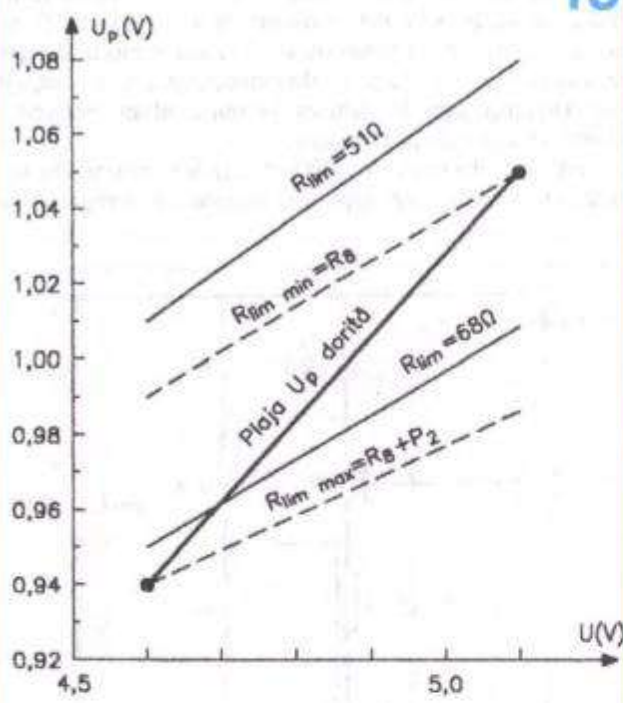
Înăl, se observă că LED-ul rămâne aprins (la iluminarea maximă) atât timp cât căderea de tensiune pe



rezistență R2 este sub valoarea de prag U_p prestabilită, el stingându-se brusc și complet atunci când, prin manevrarea potențiometrului P1, căderea de tensiune U_{R2} atinge pragul U_p . Reamintim că măsurarea se face prin creșterea treptată a curentului de bază (manevrarea fină a cursorului lui P1), până la bascularea detectorului de prag, respectiv stingerea bruscă a LED-ului, moment în care se citește pe scara atașată lui P1 valoarea corespunzătoare β_x . Dacă vrem să repetăm mai fin măsurătoarea, dăm foarte puțin înapoi cursorul lui P1, dar LED-ul nu se va reaprinde, din cauza binecunoscutului histerezis al circuitului trigger Schmitt. Tocmai de aceea am intercalat în circuitul de bază butonul PB, normal închis, a cărui apăsare scurtă întrerupe un moment curentul de bază, implicit anulează căderea de tensiune pe R2, astfel că se poate relua măsurătoarea (LED-ul se reaprinde la apăsarea lui PB și rămâne aprins și după eliberarea butonului deoarece am dat în prealabil puțin înapoi cursorul lui P1, deci la restabilirea curentului de bază, căderea de tensiune U_{R2} se află sub pragul U_p , dar de această dată foarte aproape de el).

Schémă detectorului de prag este simplă, sigură în funcționare și suficient de sensibilă pentru scopul propus. Trebuie însă precizat că montajul necesită o prealabilă ajustare experimentală pentru acoperirea sigură și optimă a plagei Up propuse, deoarece între diversele exemplare folosite pentru T2 și LED pot exista diferențe semnificative în ceea ce privește căderea de tensiune U_{CE} , respectiv căderea de tensiune în direct pe LED. Această ajustare vizează îndeosebi valorile lui R4, R6, R8 și P2.

19



Deoarece sursa care va alimenta betametrul (setul de miniacumulatoare) nu permite ajustarea comodă a tensiunii U în plaja maximă acceptată, este recomandabil ca în acest scop să ne improvizăm un mic stabilizator de tensiune alimentat de la un redresor de rețea, astfel dimensionat încât să putem regla fin tensiunea de ieșire U în plaja $4,6 \text{ V} \div 5,1 \text{ V}$. Personal am folosit montajul din figura 17, care pe lângă stabilizatorul reglabil mai conține și divizorul (ajustabil fin) $R4 - P2 - R5$, cu ajutorul căruia se pot stabili la bornele lui $R4$ căderile de tensiune corespunzătoare plajei U_p propuse.

Practic vom alimenta detectorul de prag din figura 16 (realizat provizoriu cu valorile indicate) de la stabilizatorul reglabil din figura 17 și vom efectua pe rând măsurători ale căderilor de tensiune din etajul echipat cu $T2$ (conform notatiilor din figura 18), precum și ale pragului corespunzător de basculare, pentru valorile extreme ale tensiunii de alimentare ($4,6 \text{ V}$ și, respectiv, $5,1 \text{ V}$) și pentru diferite valori ale rezistenței R_{lim} . Rezultatele obținute se trec într-un tabel ca acesta de mai jos, pe baza lor urmând a se deduce prin interpolare - extrapolare valorile $R_{lim \min}$ și $R_{lim \max}$ care asigură acoperitor plaja propusă $U_p = (0,92 \text{ V} \div 1,05 \text{ V})$.

	$U(V)$	$U_{R7}(V)$	$U_{CET2}(V)$	$U_{lim}(V)$	$U_{LED}(V)$	$U_p(V)$
$R_{lim} = 51\Omega$	5,1	0,52	0,30	2,36	1,94	1,08
$R_{lim} = 51\Omega$	4,6	0,44	0,24	2,00	1,90	1,01
$R_{lim} = 68\Omega$	5,1	0,44	0,22	2,55	1,90	1,01
$R_{lim} = 68\Omega$	4,6	0,37	0,19	2,16	1,87	0,95

În exemplul din tabel s-au făcut măsurările amintite pentru două valori ale lui R_{lim} , și anume 51Ω și 68Ω , pentru care au rezultat plaje de variație a lui U_p între $1,01 \text{ V} \div 1,08 \text{ V}$ și, respectiv, $0,95 \text{ V} \div 1,01 \text{ V}$. Remarcăm că valoarea tensiunii de prag U_p este practic determinată de căderea de tensiune pe rezistența $R7$, la care se adaugă un termen aproximativ constant, reprezentând căderea de tensiune pe jonctiunea bază-emitor a tranzistorului $T1$ în momentul blocării lui $T2$. Pentru exemplul dat a rezultat experimental:

$$U_p \approx U_{R7} + (0,56 \text{ V} + 0,58 \text{ V}) \quad (12)$$

Pe baza datelor din tabel am trasat graficele din figura 19, care reprezintă variația $U_p = f(U)$ pentru cele două valori ale lui R_{lim} .

În final, prin interpolare - extrapolarare am dedus valoarea lui R_{lim} (valoarea minimă și valoarea maximă) care asigură acoperirea plajei dorite U_p :

$$R_{lim \min} \approx 56\Omega; R_{lim \max} \approx 75\Omega$$

Practic am ales (în schema detectorului de prag din figura 16) $R8 = 51\Omega$ și $P2 = 25\Omega$ - bobinat, valori care s-au confirmat bine experimental.

Modul de lucru cu betametrul descris rezultă din prezentarea anterioară. Totuși, introducerea potențiometrului $P2$ pentru corecția tensiunii de prag U_p în funcție de valoarea concretă a tensiunii de alimentare U (astfel încât să avem în permanență $k = 0,05 \Omega^{-1}$, deci ca etalonarea scalei atașată potențiometrului $P1$ să rămână cât mai precis valabilă), complică puțin măsurarea. După cum am mai amintit, aceasta presupune ca înaintea fiecărei serii de măsurători (pentru care estimăm că tensiunea U va rămâne practic constantă), să "calibrăm" scala prin măsurarea unui tranzistor etalon, Tet , al cărui factor beta, β_{et} , îl cunoaștem suficient de precis. De exemplu, să zicem că avem $\beta_{et} = 300$. Pentru această "calibrare" vom proceda în felul următor: alimentăm betametrul (se aprinde LED-ul roșu); dăm cursorul lui $P1$ în extremitatea corespunzătoare lui β_{max} , respectiv diviziunea 100 pe scala atașată lui $P1$ (fig. 15); racordăm la bornele B , E , C ale betametrului tranzistorul Tet , care va fi echipat cu un mic radiator termic; manevrăm treptat cursorul lui $P1$ în sensul creșterii curentului de bază, până la bascularea detectorului de prag, semnalată de stingerea LED-ului; dăm foarte puțin îndărăt cursorul lui $P1$, apăsăm scurt butonul PB (LED-ul se reaprinde) și manevrăm de data aceasta foarte fin cursorul lui $P1$; la stingerea LED-ului citim pe scală valoarea beta măsurată. Dacă am citit cu bună aproximație valoarea $\beta = 300$ ($= \beta_{et}$), nu este (încă) necesară calibrarea scalei, aşa că putem trece la măsurarea unor tranzistoare necunoscute. Dacă valoarea citită diferă semnificativ de 300 (de pildă cu mai mult de $\pm 5\%$, respectiv de ± 15 unități beta), vom trece la corecția din potențiometrul $P2$, reluând măsurătoarea, la nevoie repetat (de două-trei ori), până când vom măsura $\beta \approx 300$. De observat că rezistența inseriată a lui $P2$ trebuie să crească pe măsură ce tensiunea de alimentare U scade și viceversa.

(Continuare în nr. viitor)

La solicitarea domnului N. Danciu (București) și, bineînțeles, cu speranță că informația va fi utilă și altor constructori amatori începători, reproducem alăturat un tabel cuprinzând valorile normalize ale rezistențelor de fabricație industrială, repartizate pe clasele E3, E6, E12, E24, E48, E96, E192.

Conform unor reglementări internaționale, aceste clase de fabricație au fost stabilite în funcție de toleranțele valorilor nominale (abaterile maxime procentuale de la valoarea nominală), astfel: E6 - toleranță $\pm 20\%$; E12 - toleranță $\pm 10\%$; E24 - toleranță $\pm 5\%$; E48 - toleranță $\pm 2\%$; E96 - toleranță $\pm 1\%$; E192 - toleranță $\pm 0,5\%$.

Este ușor de observat că indicele clasei de fabricație arată, de fapt, cu câte valori distințe de rezistență se "acoperă" fiecare domeniu decadic ($0,1\Omega$ - 1Ω ; 1Ω - 10Ω ; 10Ω - 100Ω etc.).

Să presupunem că avem nevoie de o rezistență cu valoarea de 5Ω . Observăm că în tabel valorile normalize sunt indicate pentru decada 100-1000, deci, făcând abstracție de factorul zecimal de multiplicare, vom căuta valoarea 500. Ea însă nu figurează în nici una din clase, așa că vom alege valoarea normalizată cea mai apropiată, care este: 470 (adică $4,7\Omega$) pentru clasele E3, E6 și E12; 510 (adică $5,1\Omega$) pentru clasa E24; 511 (adică $5,11\Omega$) pentru clasa E48 și 499 (adică $4,99\Omega$) pentru clasele E96 și E192.

VALORILE

NORMALIZATE

ALE REZISTENȚELOR

E192	E96	E48	E24	E12	E6	E3
100	100	100	100	100	100	100
101						
102	102					
103						
104	108	108				
105						
106	107					
107						
108						
109						
110	110	110	110			
111						
112	113					
113						
114	115	115				
115						
116	116					
117						
118	118					
119						
120						
121	121	121				
122	124					
123						
124	127	127				
125						
126	127					
127						
128	130					
129						
130	130					
131	132					
132						
133	135	135				
134						
135	137					
136						
137	137					
138						
139	140	140				
140						
141	143					
142						
143	147	147				
144						
145	150					
146						
147	154	154				
148						
149	156					
150						
151	158					
152						
153	160					
154						
155	162	162				
156						
157	164	164				
158						
159	166					
160						
161	168					
162						
163	170					
164						
165	172					
166						
167	174					
168						
169	176					
170						
171	182					
172						
173	187	187				
174						
175	191					
176						
177	195	195				
178						
179	196	196				
180						
181	200					
182						
183	204					
184						
185	208	208				
186						
187	210					
188						
189	214					
190						
191	218	218				
192						
193	221					
194						
195	224					
196						
197	226					
198						
199	231					
200						
201	237	237				
202						
203	240					
204						
205	243					
206						
207	246	246				
208						
209	251					
210						
211	255					
212						
213	261					
214						
215	267					
216						
217	274					
218						
219	280					
220						
221	284					
222						
223	287	287				
224						
225	294					
226						
227	298					
228						
229	301	301				
230						
231	305					
232						
233	309					
234						

E192	E96	E48	E24	E12	E6	E3
316	316	316				
320	324					
324	324					
328	332	332				
332	332					
336	340					
340	340					
344	348	348				
348	348					
352	357	357				
357	357					
361	365	365				
365	365					
370	374					
374						
378	383	383				
383	383					
388	392	392				
392	392					
397	401	401				
401	401					
407	412	412				
412	412					
417	422	422				
422	422					
427	432	432				
432	432					
437	442	442				
442	442					
448	453	453				
453	453					
459	464	464				
464	464					
470	475					
475						
481	487	487				
487						
493	499	499				
499						
505	511	511				
511						
517	523	523				
523						
530	536	536				
536						
542	549	549				
549						
556	562	562				
562						
568	576	576				
576						
583	590	590				
590						
597	604	604				
604						
612	619	619				
619						
626	634	634				
634						
642	649	649				
649						
657	665	665				
665						
673	681	681				
681						
690	698	698				
698						
706	715	715				
715						
723	732	732				
732						
741	750	750				
750						
759	768	768				
768						
777	787	787				
787						
795	806	806				
806						
815	825	825				
825						
835	845	845				
845						
856	866	866				
866						
876	887	887				
887						
898	909	909				
909						
920	931	931				
931						
942	953	953				
953						
955	976	976				
976						

Circuitul basculant (trigger) Schmitt are o răspândire foarte largă în montajele electronice - inclusiv în cele concepute de amatori - datorită simplității sale, precum și siguranței și preciziei în funcționare. Privit ca un circuit de transformare a semnalelor electrice, el îndeplinește funcția de a transforma un semnal de intrare U_i , variabil în timp după o lege oarecare, într-un semnal de ieșire U_o de formă "crenelată", ale căruia niveluri (palierul superior, respectiv palierul inferior), ca și duratele de tranziție între ele, depind exclusiv de construcția internă a triggerului. Bascularea între

- starea 2, când T1 este saturat și T2 blocat.

Ca atare, mărurile caracteristice ale acestor două stări le vom marca prin indicii ("sus") corespunzători, 1, respectiv 2.

Să presupunem că aplicăm la intrarea circuitului o tensiune continuă U_i , crescătoare de la zero, cu polaritatea indicată pe schemă. Pentru $U_i = 0$ este evident că tranzistorul T1 va fi blocat. În schimb, tranzistorul T2 va conduce, având baza polarizată prin rezistențele R1 și R3. Pentru ca T2 să fie efectiv saturat - astfel încât să fie îndeplinită condiția din ipoteza simplificatoare - nu avem decât să

CIRCUITUL BASCULANT SCHMITT

Fiz. Alexandru MĂRCULESCU

nivelul superior și cel inferior ale semnalului de ieșire și, respectiv, bascularea inversă, între nivelul inferior și cel superior, au loc pentru două valori de prag distincte ale tensiunii de intrare U_i , decalajul (diferența) dintre cele două praguri fiind numită histerezis. Deosebit de important este faptul că și valorile acestor praguri depind exclusiv de construcția internă a circuitului (și de valoarea tensiunii de alimentare). Această foarte bună separare între circuitul semnalului de intrare și circuitul de ieșire explică răspândirea largă a triggerului Schmitt, folosit ca detector/discriminator de prag/nivel, formator de impulsuri, divisor de frecvență etc.

În literatura de specialitate, triggerul Schmitt este încadrat în clasa circuitelor basculante astabile cu cuplaj în emitor.

Schema de principiu a circuitului basculant Schmitt, în forma sa cea mai simplificată, este cea din figura 1, atunci când tranzistoarele T1 și T2 sunt de tip NPN (pentru tranzistor PNP se inversează doar polaritatea tensiunii de alimentare E). În afara pieselor componente, pe schemă au mai fost notate:

E - tensiunea sursei de alimentare (continuă, foarte bine filtrată, preferabil stabilizată);

U_i - tensiunea variabilă aplicată la intrare;

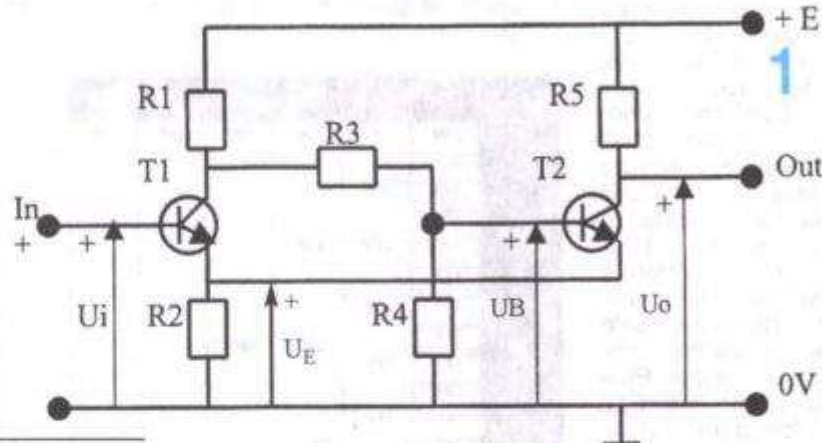
U_o - tensiunea de ieșire;

U_E - potențialul comun (față de masă) din emitoarele tranzistoarelor T1 și T2;

U_B - potențialul (față de masă) din baza tranzistorului T2.

Pentru descrierea modului de funcționare vom face ipoteza simplificatoare (de altfel, foarte aproape de situația reală) că triggerul Schmitt are doar două stări posibile:

- starea 1, când tranzistorul T1 este blocat și T2 este saturat;



ajustăm convenabil raportul divizorului rezistiv $(R_1+R_3)/R_4$. Prin aceasta ne-am plasat în starea 1 de funcționare. Tranzistorul T1 blocat îl putem assimila unui întrerupător deschis, iar tranzistorul T2 saturat prin un întrerupător închis (neglijând pe $U_{CE(T2)}$ la saturare, foarte mică în raport cu tensiunea de alimentare E), rezultând astfel schema echivalentă din figura 2. Cu această aproximare, curentul de colector al lui T2 este dat de raportul $E / (R_5+R_2)$. Potențialul din emitorul lui T2 (care, evident, este și potențialul din emitorul lui T1) are în acest caz expresia:

$$U_E^1 = \frac{R_2}{R_5 + R_2} E \quad (1)$$

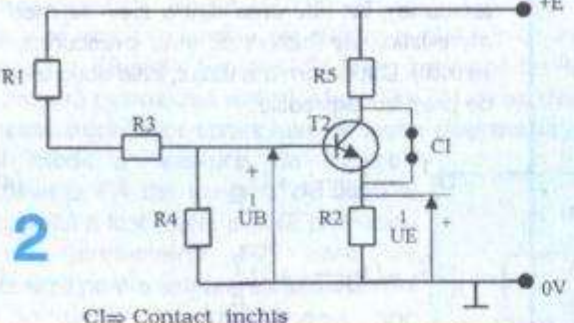
iar potențialul din baza lui T2 este

$$U_B^1 = \frac{R_4}{R_1 + R_3 + R_4} E \quad (2)$$

În realizarea practică a montajelor de tip trigger Schmitt se face, de obicei, "aranjamentul" simplificator (dar nu obligatoriu) de a se alege $R_1 \ll (R_3+R_4)$. Cu această supozitie, expresia lui U_B^1 devine:

$$U_B^1 \approx \frac{R_4}{R_3 + R_4} E \quad (3)$$

Condiția ca tranzistorul T2 (cu siliciu, evident) să fie saturat cere ca potențialul din baza sa să fie mai mare cu cel puțin cca 0,65 V decât potențialul din emitor. Observăm din expresia simplificată (3) că această condiție poate fi ușor îndeplinită prin simpla ajustare a raportului dintre rezistențele R3 și R4.



2

C1 ⇒ Contact închis

Pentru a realiza bascularea circuitului din starea 1 în starea 2, să creștem treptat valoarea tensiunii de intrare U_i. Revenind la schema de principiu din figura 1, observăm că tranzistorul T1 va rămâne în continuare blocat până în momentul în care tensiunea U_i (potențialul din baza sa) va depăși cu cel puțin 0,65 V potențialul din emitor, adică pe U_E¹, dat de relația (1). Notăm cu U_i¹ acest prag, care are expresia:

$$U_i^1 = 0,65V + \frac{R_2}{R_5 + R_2} E \quad (4)$$

La atingerea pragului U_i = U_i¹, tranzistorul T1 (cu siliciu) începe să conducă. Apariția curentului său de colector duce la scăderea potențialului din colector, implicit a căderii de tensiune pe divizorul R3-R4. Aceasta conduce la scăderea curentului injectat în baza lui T2, implicit la scăderea curentului de colector al lui T2 și a potențialului comun din emitoare, U_E, care, prin reacția pozitivă specifică acestui cuplaj, atrage după sine creșterea și mai accentuată a curentului de colector al lui T1. Se produce astfel un proces cumulativ foarte rapid (raportat la creșterea lui U_i) care în final duce la intrarea în saturatie a lui T1, simultan cu blocarea lui T2. Prin aceasta, circuitul a basculat în *starea 2 de funcționare*, pe care creșterea în continuare a tensiunii de intrare U_i nu o mai poate modifica.

Procedând ca în cazul precedent, să substituim de data aceasta pe T1 printr-un întrerupător închis și pe T2 printr-un întrerupător deschis. Obținem schema echivalentă din figura 3, de unde deducem ușor:

$$U_E^2 = \frac{R_2}{R_1 + R_2} E \quad (5)$$

$$U_B^2 = U_E^2 \frac{R_4}{R_3 + R_4} < U_E^2 \quad (6)$$

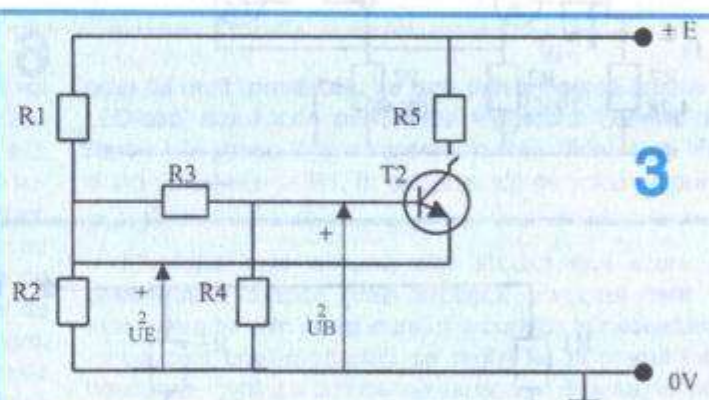
Se reconfirnă astfel starea blocat a tranzistorului T2, al cărui potențial în bază este mai mic decât potențialul din emitor.

În practică, *valoarea rezistenței R5 se ia întotdeauna mai mică decât valoarea lui R1*. Astfel, din compararea relațiilor (1) și (5) rezultă că U_E² < U_E¹.

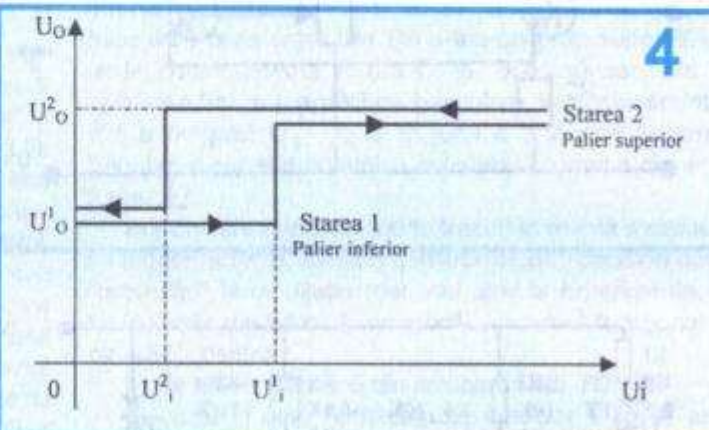
Pentru a determina bascularea inversă a circuitului, din starea 2 în starea 1, trebuie să scădem valoarea tensiunii de intrare U_i, și anume până la un prag U_i², care este mai mic decât pragul U_i¹. Într-adevăr, tranzistorul T1 având în emitor potențialul U_E² (mai mic decât U_E¹), va începe să ieșă din saturatie din momentul în care potențialul din baza sa, adică U_i, va atinge pragul aproximativ:

$$U_i^2 = 0,65V + U_E^2 = 0,65V + \frac{R_2}{R_1 + R_2} E \quad (7)$$

De îndată ce U_i în scădere, atinge și apoi coboară foarte puțin sub acest prag, tranzistorul T1 ieșe din saturatie, curentul său de colector scade, potențialul din colector crește, simultan crescând și căderea de tensiune pe divizorul R3-R4 din baza lui T2. Se produce iarăși un proces cumulativ, în urma căruia tranzistorul T2 intră în conductie și apoi, rapid, în saturatie, iar T1 se blochează ferm, prin creșterea bruscă a potențialului din emitorul său, care recapătă valoarea U_E¹.



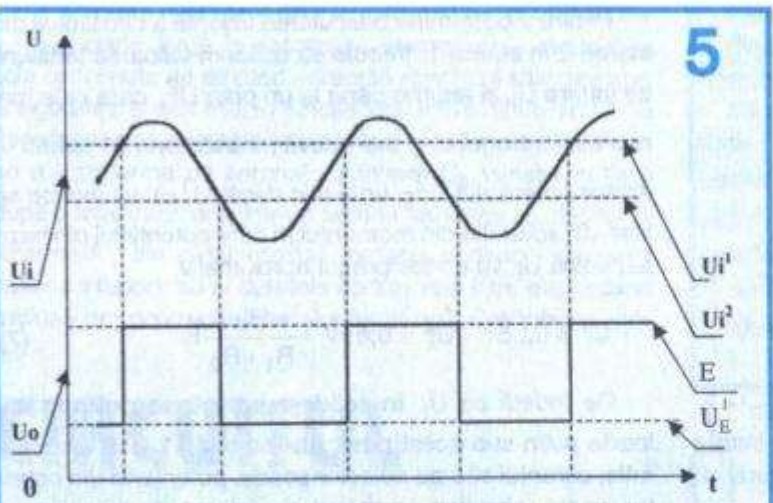
3



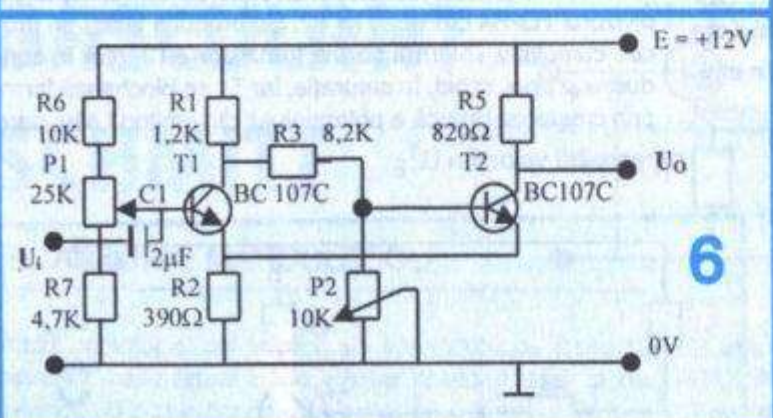
4

Modul de funcționare descris este reprezentat sugestiv în figura 4, pentru cazul în care tensiunea U_i este liniar crescătoare și, respectiv, liniar descrescătoare. Pentru situația în care tensiunea de intrare este variabilă periodic, după o lege oarecare, corespondența U_i-U_E este arătată în figura 5.

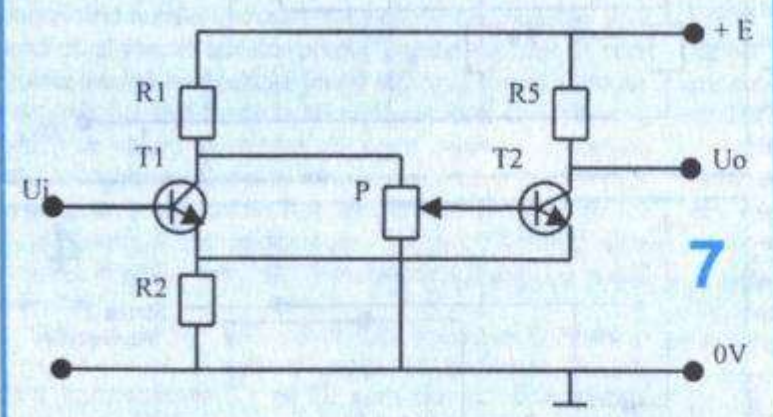
Valorile tensiunii de intrare U_i¹ și U_i² pentru care se produce bascularea circuitului dintr-o stare în alta se



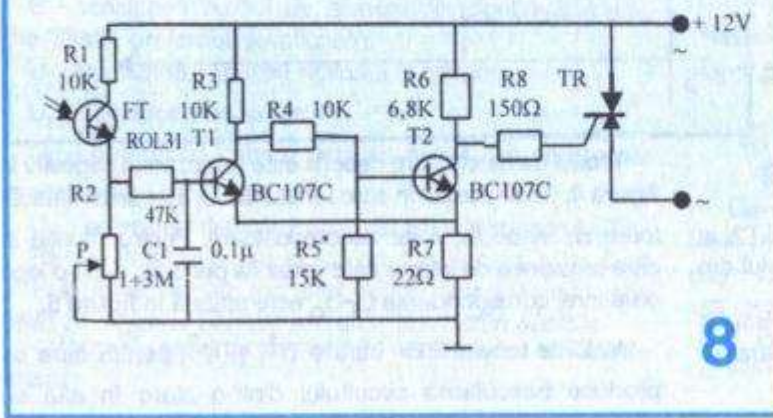
5



6



7



8

numesc *tensiunile de prag* (sau pragurile de tensiune), iar diferența dintre ele - *lățimea caracteristicii de hysterezis* (sau prescurtat, *hysterezis*). După cum am văzut, cele două tensiuni de prag au expresiile:

$$U_i^1 = U_{BET1} + U_E \quad (4')$$

$$U_i^2 = U_{BET1} + U_E^2 \quad (7)$$

unde U_{BET1} este căderea de tensiune pe joncțiunea bază-emitor a tranzistorului T1 la saturarea acestuia, având valoarea de cca 0,60-0,65 V pentru tranzistoarele cu siliciu (practic am întâlnit cazuri și cu U_{EBT1} sub 0,6 V).

Nivelurile palierelor semnalului de ieșire U_o sunt:

- pentru starea 1, când T2 este saturat, dacă neglijăm U_{CET2} la saturare, conform figurii 2, avem:

$$U_o^1 = U_E = \frac{R_2}{R_5 + R_2} E \quad (8)$$

- pentru starea 2, când T2 este blocat, avem

$$U_o^2 = E \quad (9)$$

În ceea ce privește realizarea *practică* a circuitelor de tip trigger Schmitt, punctul de plecare îl reprezintă aplicația concretă (montajul complex) în care acestea urmează să funcționeze, ca etaje distințe. Ca atare, de regulă sunt cunoscute (impuse) valoarea tensiunii de alimentare E și a curentului maxim de colector al lui T2, de unde rezultă valoarea aproximativă însumată a rezistențelor R2 și R5, respectiv $(R_2 + R_5) \approx E / I_{CT2max}$.

Pentru a ușura proiectarea circuitului, în unele lucrări sau articole se fac recomandări privind dimensionarea relativă a rezistențelor. De pildă, în [2] se propune alegerea unui curent de colector maxim pentru T2 de circa 10 mA, iar între valorile rezistențelor R1, R2, R5 se recomandă corelațiile aproximative

$$R_5 \approx \frac{2}{3} R_1; R_2 \approx \left(\frac{1}{5} + \frac{1}{3} \right) R_1 = (0,3 \div 0,5) R_5 \quad (10)$$

Tinând cont de aceste recomandări, în articolul menționat se propune varianta practică de circuit trigger Schmitt din figura 6. Acest montaj - pe care îl recomandăm și noi spre experimentare constructorilor începători, pentru familiarizarea cu "secretele" triggerului Schmitt - reprezintă un formator (generator) de semnale

rectangulare (dreptunghiulare, "crenelate") care își găsește multiple întrebuiență în laboratorul propriu. La intrare se aplică un semnal sinusoidal, cuplat prin condensatorul C1. Din potențiometrul P1 (care împreună cu R6 și R7 asigură polarizarea statică a bazei lui T1) se ajustează simetria crenelurilor semnalului de ieșire ("centrarea" valorii medii a tensiunii de intrare). Rezistența R4 din schema de bază a triggerului a fost materializată provizoriu prin potențiometrul P2, care se ajustează pentru asigurarea saturației lui T2 în starea 1, după aceea, prin măsurare, fiind înlocuit cu o rezistență fixă echivalentă. Desigur, experimentarea și optimizarea unui astfel de montaj - pentru a fi cu adevărat instructiv - presupune vizualizarea simultană a semnalelor de intrare și de ieșire, folosind un osciloscop cu două spoturi.

Pentru a ajusta între anumite limite (restrâns) valorile tensiunilor de prag, în [3] se recomandă configurația circuitului din figura 7, unde divizorul fix R3-R4 a fost înlocuit prin potențiometrul P. Personal am apelat la acest artificiu într-un caz concret, e drept, mai pretențios (pe care îl voi prezenta în încheiere), dar am fost dezamăgit de rezultatele obținute, așa că am fost nevoit să "inventez" altă metodă. De fapt, privind relațiile (4) și (7) care exprimă valorile aproximative ale celor două tensiuni de prag, observăm că raportul variabil oferit în acest procedeu de potențiometrul P are mai puțin de a face cu pragurile de tensiune, el vizând mai degrabă asigurarea condiției de saturație pentru tranzistorul T2, în starea 1 de funcționare.

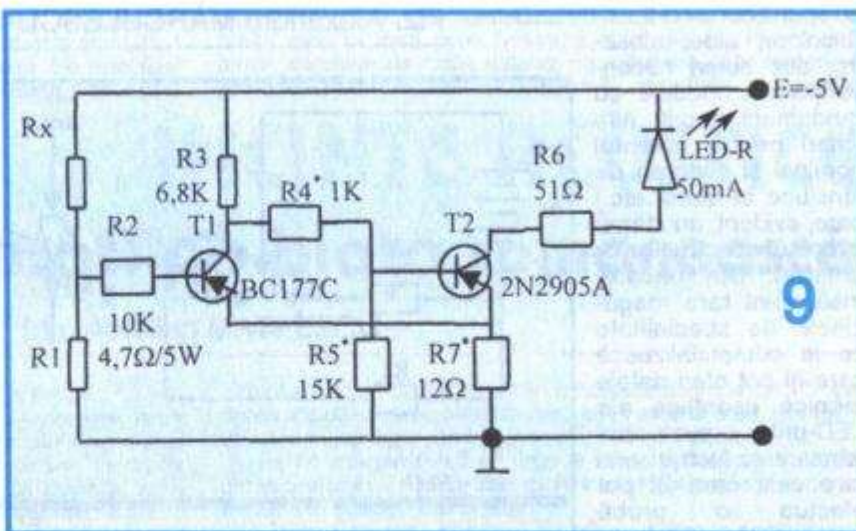
Un alt exemplu concret de circuit trigger Schmitt este dat în figura 8. Aplicația reprezintă un automat de lumină fotocomandat, de exemplu aprinderea unui bec de rețea (în serie cu triacul TR, alimentat de la rețea de 220 V.c.a. prin intermediul unei siguranțe fuzibile adecvată - elemente nefigurate în schema pentru simplificare) la lăsarea întunericului și viceversa, stingerea becului la ivirea zorilor. În astfel de situații este preferabil ca poarta triacului să fie comandată ferm, după principiul "da sau nu" ("totul sau nimic"), funcție pe care poate să-o îndeplinească foarte bine un circuit trigger Schmitt. Nu vom comenta montajul, fiind foarte simplu, ci doar vom preciza că în acest caz este de dorit un histerezis mai redus, motiv pentru care s-a luat o valoare foarte mică pentru rezistența comună din emitoarele tranzistoarelor T1 și T2. Într-adevăr, calculând diferența celor două praguri de tensiune date de relațiile aproximative (4) și (7) obținem expresia H a histerezisului (cu notatiile din figura 1):

$$H = U_1^1 - U_1^2 = \frac{R_2(R_1 - R_5)}{(R_1 + R_2)(R_5 + R_2)} \quad (11)$$

Care poate fi făcut oricât de mic dorim, prin simpla reducere a valorii lui R2.

Un ultim exemplu de trigger Schmitt îl dăm în figura 9. Acest montaj l-am conceput și experimentat special pen-

tru a servi ca detector de prag (de tensiune, respectiv de curent ce traversează divizorul R1-Rx), în schema unui betametru cu indicație luminoasă, alimentat dintr-un set de patru miniacumulatoare Cd-Ni cu tensiunea insumată de cca 5 V. Indicatorul propriu-zis îl constituie un LED roșu, model având curentul maxim de 50 mA. Detectarea



9

pragului dorit (prestabilit) se face prin stingerea bruscă a LED-ului, adică prin bascularea triggerului Schmitt din starea 1 în starea 2, în momentul în care cădereea de tensiune pe rezistența R1, în creștere, atinge valoarea pragului U_1^1 .

Montajul este simplu, dar studiul mai atent al betametrului amintit (vezi articolul "Factorul beta și măsurarea lui" din acest număr) a condus la necesitatea introducerii unei modalități de reglaj fin al pragului de basculare, pentru a compensa variația (scăderea) tensiunii de alimentare în plaja aproximativă 5,1 V-4,6 V. Aici a intervenit "invenția" pomenită anterior, și anume înlocuirea rezistenței fixe R6 printr-un grup serie R6+P, unde potențiometrul P (25-47 Ω, bobinat) servește la ajustarea fină a pragului de basculare. Valoarea orientativă a pragului U_1^1 se ia în jurul a 1 V, prin alegerea (talonarea experimentală) a rezistenței comune din emitoare, R7.

În încheierea acestei scurte treceri în revistă a circuitului trigger Schmitt, lansăm constructorilor începători două "provocări" la meditație (dar mai ales la experimentare). Cu notatiile din figura 1, ce modificări suferă funcționarea circuitului pentru:

- rezistența comună din emitoare nulă, $R_2 = 0$?
- cazul în care rezistența de colector a lui T1 este deosebit de mică decât a lui T2, adică $R_1 < R_5$?

Bibliografie

1. Colecția revistei TEHNİUM, 1974-1992
2. La Bascule de Schmitt, Le Haut Parleur, nr. 1629, pag. 201-202
3. L. Dobos, Circuite basculante în practica radioamatorilor, Editura Tehnică, București, 1972

Răspândirea tot mai largă a LED-urilor ca indicatoare de funcționare în aparatul electro- nici, iar mai nou și ca elemente constitutive ale unor corpuri de semnalizare sau chiar de iluminat, a făcut ca rata lor de vânzare să crească semnificativ. Totodată, au apărut noi și noi tipuri de LED-uri (bicolore, albe, albastre, alte culori neconvenționale, modele cu randament sporit, alte valori pentru curentul nominal și cădereea de tensiune în direct etc.) care, evident, au stârnit interesul constructorilor amatori. Din păcate, însă, sunt rare magazinele de specialitate ce le comercializează care îți pot oferi datele tehnice esențiale ale LED-urilor expuse spre vânzare și încă și mai rare cele care îți pot efectua o probă funcțională concluzionantă.

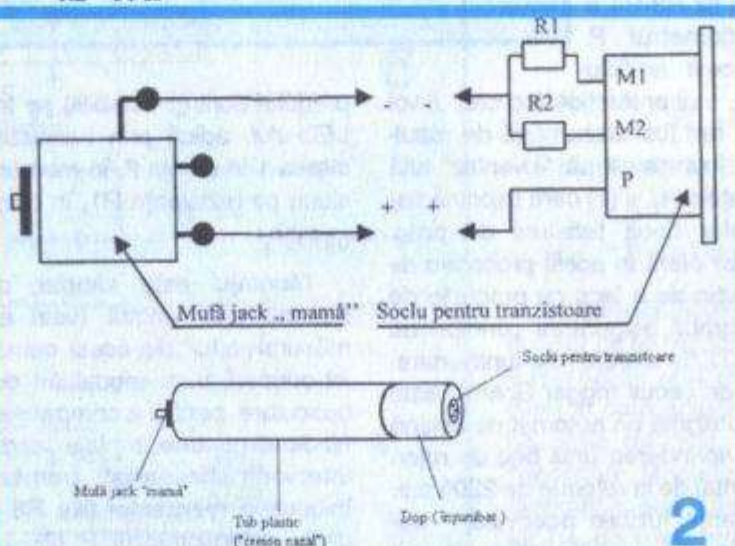
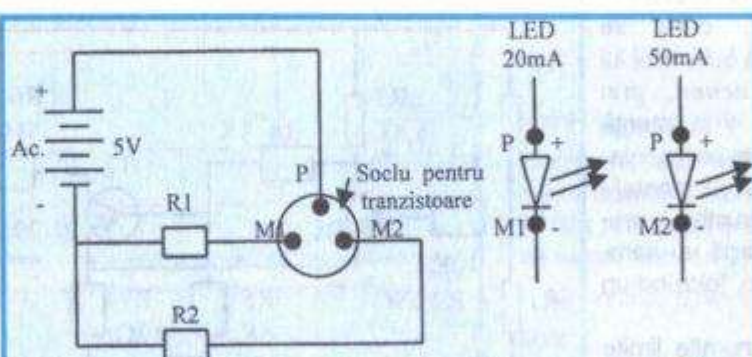
De aceea mi-am construit - și îl invit și pe alți constructori interesati să o facă - un minitestator pentru LED-uri de o simplitate extremă și având dimensiuni atât de mici încât poate fi "încasat" într-un tubuleț circular din plastic cu diametrul interior de cca 15 mm și lungimea de 45-50 mm (tubul de la un "creion" razul uzat, de la un flacon de medicamente, de la un ruj adecvat ca dimensiuni).

Alimentarea minitestatorului trebuie să fie, evident, autonomă. Personal mi-am construit o sursă de cca 5V prin montarea în serie (într-un suport pentru patru baterii R6, care se găsește în comert) a patru miniacumulatoare Ni-Cd de 1,2V/750 mAh fiecare. Cordonul bifilar racordat la suport l-am echipat la celălalt capăt cu o mufă jack „tată” tip mono (deci cu două contacte), notând polaritatea celor două contacte, de pildă plusul la contactul interior. Fireste, această sursă o folosesc în numeroase alte scopuri, de obicei pentru testarea unor componente electrice, motorase etc. achiziționate de ocazie prin târguri, având grija ca acumulatoarele să fie întotdeauna suficient de încărcate.

Minitesterul pentru LED-uri l-am realizat conform schemei de principiu din figura 1. Pentru racordarea la sursa de alimentare (Ac.) am folosit o mufă jack „mamă” tip mono, iar pentru conectarea la tester a LED-urilor de verificat am apelat la un soclu pentru tranzistoare (de la vechile aparate de radio rusești). Borna centrală P (fosta „bază”) am legat-o direct la plusul sursei, iar celelalte borne M1 și M2 le-am legat la minusul sursei, prin inter-

MINITESTER pentru LED-uri

Fiz. Alexandru MĂRCULESCU



lungi pentru a depăși celălalt capăt al tubului;

- în capacul (dopul) tubului, care se va introduce în celălalt capăt, se fixeză soclul pentru tranzistoare;

se lipesc apoi de terminalele M1 și M2 cele două rezistoare, capetele libere ale acestora se leagă împreună și se conectează la firul de minus care vine de la mufă jack „mamă”, iar firul de plus de la mufă se lipeste pe terminalul P al soclului de tranzistoare;

- se introduce dopul în capătul respectiv al tubului, asigurându-ne că nu este posibilă vreo „atingere” neizolată care să ne creeze probleme.

Pentru a considera construcția încheiată, este recomandabil să marcăm în vreun fel cele trei borne ale soclului pentru tranzistoare la care se vor racorda piciorușele LED-urilor de verificat. De pildă, cu un punct de vopsea roșie borna P (plus) și cu câte un punct de vopsea albastră bornele M1 și M2 (minus); pentru că la borna M2 se racordează catodul LED-urilor de curent mai mare (50 mA), punctul de vopsea albastră corespunzător va fi mai mare. O astfel de convenție este greu de uitat.

mediul către unei rezistențe de limitare, R1 și, respectiv, R2. Valorile celor două rezistențe le-am ales astfel încât între bornele P-M1 să se poată testa nepericulos LED-uri având curentul maxim admis de 20 mA, iar între bornele P-M2 LEDurile cu un curent maxim admis de 50 mA.

Desigur, în funcție de „interesul” realizatorului, aceste valori pot fi modificate sau eventual se mai poate adăuga o bornă (și o rezistență de limitare), de pildă pentru LED-urile de 5 mA.

Realizarea practică a testerului este sugerată în figura 2. Pentru o montare comodă în tub se poate proceda astfel:

- presupunând că tubul folosit este închis la un capăt (fund), iar la celălalt capăt are un dop care se introduce fest prin presare sau prin însurubare, vom monta în fundul tubului mufa jack „mamă”, practicând în prealabil în fundul tubului o gaură atent centrată, cu diametrul de 6,5 mm. Mufa se introduce prin tub și se prinde de capătul-fund cu piuliței. Înainte de montare, pe terminalele mufei care vor fi racordate la sursă prin mufă jack „tată” a acesteia se lipesc două cordoane lățite flexibile, diferit colorate (roșu-plus, albăstru-minus), suficient de

lungi pentru a depăși celălalt capăt al tubului;

- în capacul (dopul) tubului, care se va introduce în celălalt capăt, se fixeză soclul pentru tranzistoare;

se lipesc apoi de terminalele M1 și M2 cele două rezistoare, capetele libere ale acestora se leagă împreună și se conectează la firul de minus care vine de la mufă jack „mamă”, iar firul de plus de la mufă se lipeste pe terminalul P al soclului de tranzistoare;

- se introduce dopul în capătul respectiv al tubului, asigurându-ne că nu este posibilă vreo „atingere” neizolată care să ne creeze probleme.

La acest capitol am avea multe de povestit: și bune și rele! Ofensiva publicitară orientată către Home - Theatre îi determină pe cei cu bagaj redus de cunoștințe în domeniu să credă că viitorul unei audiții de calitate este reprezentat de un sistem audio 5.1, 6.1 sau 7.1, de multe ori cifrele mentionate ascunzând o enigmă greu de descifrat, ca și multele standarde Dolby, Dolby Surround, DTS etc. Revistele orientate către acest domeniu sau cele înrudite nu reușesc să expliciteze corect termenii pentru că ei reprezintă traduceri ale unor reviste străine, orientate către publicitate. Nu este de mirare că toate echipamentele prezentate sunt cele mai făr...! Desigur, cel care urmărește mai multe numere ale aceleiași reviste pot avea surpirse de genul: amplificatorul X este "cel

**Motto: Atât dai,
De jumătate merge,
Un sfert FACE!**

niul audio, care și-au construit incinte acustice cu calități deosebite utilizând traductoare profesionale. Vă veți pune întrebarea: de ce traductoarele profesionale nu sunt mai des utilizate în construcția incintelor HI-FI comerciale? De multe ori prețul este factorul care limitează utilizarea lor. Pe de altă parte, cerințele de ordin estetic, cu utilizarea unor materiale scumpe (material lemnos deosebit, materiale compozite,

INCINTE ACUSTICE

Tendințe și noutăți pe piața românească

Ing. Aurelian MATEESCU

mai cel" de pe suprafața Pământului în cadrul testului "științific" din numărul Y al revistei, pentru ca peste 3-4 numere, la un alt test "științific", același amplificator să fie considerat mai mult decât modest. Nu voi da nume de reviste sau mărci de echipamente, dar, la un preț mediu de 4-5 EUR/revistă, în lea la cursul zilei, informația furnizată este hilară. Cel mai neplăcut este faptul că acel "cunosător" vând mai departe informația hilară, lăudându-se cu banii dați pe revistă (deci foarte credibil!).

Este neplăcut că lipsa informației este și în prezent la fel de acută în acest domeniu ca și înainte de 1989, prețurile prohibitive, de circa 300.000 lei/revistă blochează accesul, în special al tineretului, care nu poate trage concluzii pertinente nici asupra realizărilor comerciale, nici asupra tendințelor actuale. În domeniul realizărilor DIY, situația este și mai grea, Internetul neoferind informația compatibilă cu piața românească.

Revenind la audiofilii, iubitorii unei audiiții de calitate, aceștia stiu că:

- accesul la înregistrări audio pe mai multe canale nu există pe piața noastră, la fel și în cazul înregistrărilor HDCD sau SACD;

- eventualul acces ocasional la aceste înregistrări nu justifică investiția în echipamente deosebit de scumpe. În plus, înregistrările mai vechi nu pot fi transformate în noile formate fără bizarerie acustice datorate artificiilor electronice. Ca exemplificare, ascultați înregistrările pe CD ale Beatles-ilor din perioada de început. Remasterate pe CD de pe benzi mono, veți obține efecte bizare dacă rotiți potențiometrul de balans de la un capăt la celălalt;

- nu poți obține o audiere de calitate folosind un sistem audio dedicat Home-Theatre echipat cu "boxe" fenomenale de mărimea unei portocale, asistate de un subwoofer de plastic cât un coș de gunoi, purtând o sigla "de marcă", la un preț imbatabil de 100-200 USD;

- din păcate, posibilitățile financiare limitate ale marii majorități a audiofililor se reflectă în oferta pieței, limitată la produse ieftine, cu performanțe pe măsură și pretenții susținute doar publicitar;

- și oferta de componente, în special de traductoare acustice de calitate, se limitează în comert la produse "made in China", vândute precum cartofii, fără alte date decât ce este menționat pe etichetă.

Să trecem în revăză unele tendințe reflectate în realizările firmelor cu tradiție din lume în construcția incintelor acustice. Cel mai pregnant trend actual este utilizarea tot mai frecventă a traductoarelor acustice de uz profesional în realizarea incintelor de casă. Acest curent nu este o noutate, în decursul timpului mulți constructori reputați au utilizat traductoare profesionale în incintele "de casă". Ca exemplu, seria de incinte acustice "L" produsă de JBL are corespondență în gama profesională (incinta L90 are corespondență monitorul de studio 4412A). Cel care navighează pe Internet pot găsi informații interesante privind realizările unor reputați ingineri din dome-

furnire scumpe, ca și prelucrări mecanice scumpe etc.) în vederea impunerii pe o piață în care lupta este acerbă, limitează utilizarea unor traductoare scumpe, dar de calitate certă.

Pe de altă parte, se recurge la unele artificii pentru reducerea prețului de cost al traductoarelor profesionale în vederea utilizării în aplicații domestice:

- înlocuirea sâsuiului turnat din aliaje ușoare, o componentă scumpă, cu un sasiu ambuțiat din tablă. Dacă nu se face rabat la calitatea și grosimea tablei, substitutul este satisfăcător;

- înlocuirea membranei celulozice armate cu diverse fibre cu membrane obținute prin procedee moderne, mai ieftine;

- modificări ale altor componente sau înlocuirea cu altele cu cost mai scăzut.

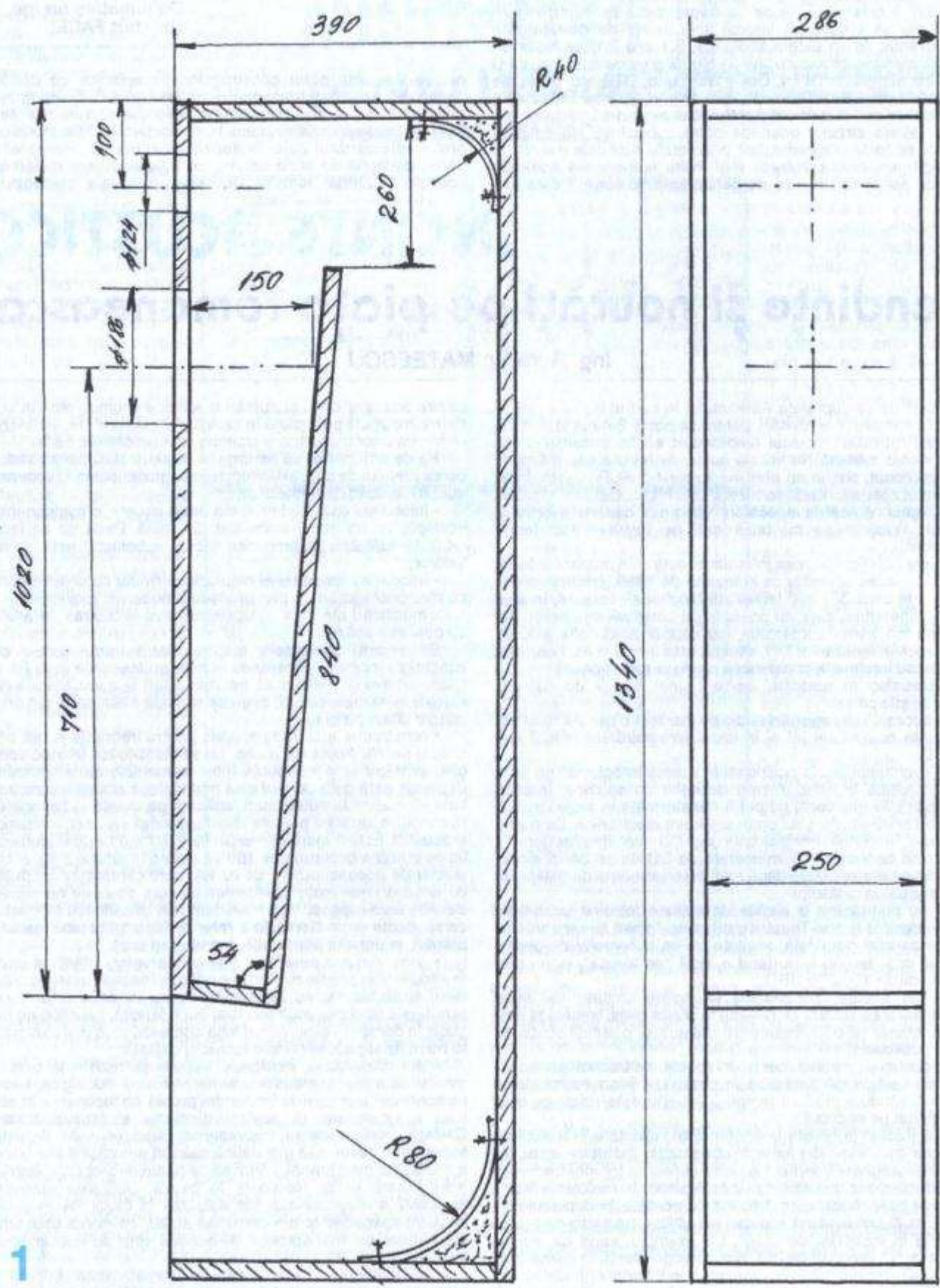
Să vedem diferențele majore dintre traductoarele ce echipează incintele domestice și cele profesionale (sau PA = public address). Evident că ne vom referi la traductoarele de calitate în ambele cazuri, ceea ce exclude mare parte din produsele aflate pe piață:

- constructiv, atât traductoarele pentru frecvențe joase, cât și cele pentru frecvențe înalte, nu se deosebesc în mod special, existând corespondență între elementele ce le compun. Diferența este dată de calitatea materialelor utilizate, care trebuie să reziste la puteri mari, aplicate pe durată îndelungată, în condițiile păstrării parametrilor funcționali electrici, mecanici și acustici. Este o mare diferență, însă, între un woofer domestic cu putere declarată de 100 W, având în jurul a 2 kg, și un woofer de aceeași putere de uz PA, care cântărește cel puțin de două ori mai mult. Bineînțeles că sunt diferențe nu numai datorită unui magnet mult mai mare, dar și calitatea celorlalte componente este diferită (mă refer la suportul bobinei, lacuri, adezivi, materialul pentru rili, membrana etc.);

- domeniul pro-pare mult mai conservator, utilizarea unor materiale fiind predilectă, în timp ce în domeniul domestic s-au făcut și se fac mereu experimentări, se introduc soluții noi, rezultatele fiind mai mult sau mai puțin fericite, săncionate de piață. În domeniul profesional însă contează mult mai mult performanțele sigure, verificate tehnic și calitativ;

- din construcție, wooferele trebule să reziste la sarcini mari și ca atare suspensiile membranei sunt mai rigide, ceea ce conduce la creșterea frecvenței proprii de rezonanță în aer liber a woofерului la același diametru al traductoarelor. Calitativ, însă, redarea frecvențelor joase este de departe superioară: basul este mai definit datorită amortizării mai bune a oscilațiilor membranei, astfel că se poate deosebi clar instrumentul care emite frecvență în cauză. Utilizarea aproape exclusivă a membranelor din celuloză în cazul PA asigură, conform specialiștilor din domeniul audio, obținerea unui timbru natural, cel mai aproape de sunetul emis de instrumentul muzical;

- wooferele PA, mai ales cele de diametre mari, asigură o presiune acustică mare, de peste 93-95 dB/W/m, ceea ce permite obținerea unor incinte cu randament bun, ce pot fi utilizate



și cu amplificatoare de puteri reduse sau echipate cu tuburi electronice, care au revenit puternic în actualitate;

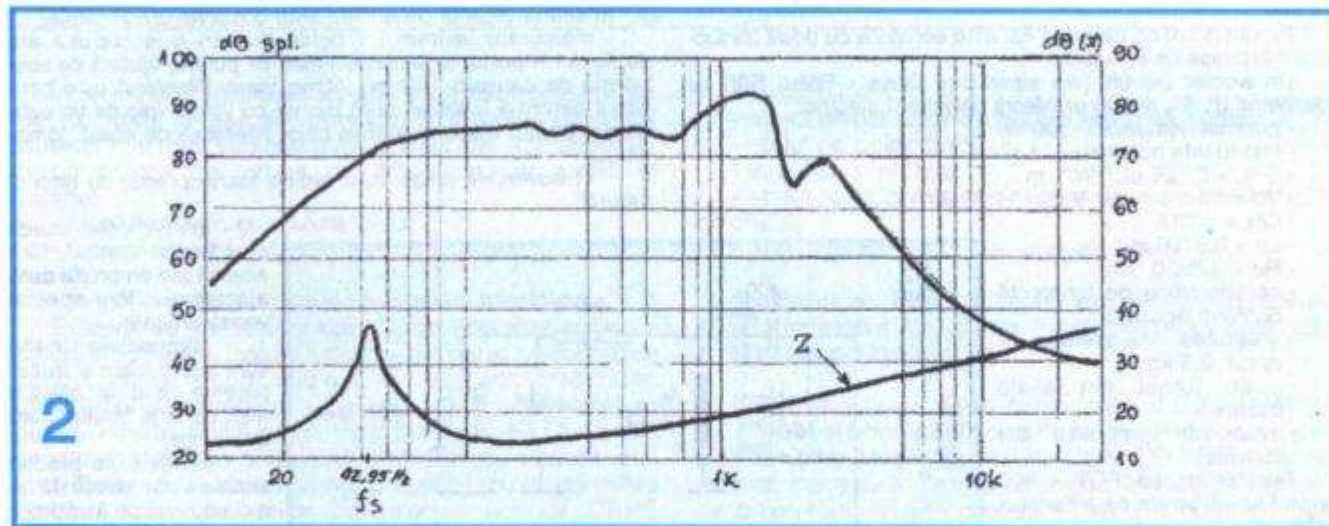
- datorită unui sistem magnetic bine proiectat și executat, răspunsul transient la semnale rapide este mult mai bun la wooferele PA;

- constanța parametrilor în fabricație este mult superioară față de domeniul "de casă". Bineîntele că un produs al unei firme reputate va intra în aceleasi caracteristici calitative, dar costurile vor fi mult mai ridicate;

- traductoarele pentru frecvențe înalte sunt, constructiv, mai diferite decât în cazul wooferelor. Se folosesc în domeniul PA traductoare numite drivere de compresie, proiectate să suporte puteri mai mari în condițiile unui randament sporit și a unei presiuni acustice ce depășește curent 100 dB/W/m. Driverul este echipat cu un horn executat din materiale inerte

ductoare PA. Desigur, costul nu va fi același ca în cazul utilizării difuzoarelor ce se găsesc curent pe piață, fiind de 2-3 ori mai mare, dar rezultatele vor fi cu totul altele.

Această soluție nu a mai fost prezentată până acum în paginile revistei, dar, aşa cum am procedat întotdeauna, voi prezenta numai soluții realizate integral de mine, ce pot fi numai vizionate, dar și ascultate și pentru care pot oferi detalii începând cu construcția și sfârșind cu procurarea materialelor necesare execuției. Nu aș fi propus această soluție dacă în ultimele luni nu aș fi lucrat cu componente oferite de o firmă importatoare de difuzoare care a dovedit că are capacitatea de a oferi cele necesare: gama de traductoare, fișele tehnice complete ale acestora, consiliere tehnică, construcții de incinte de uz profesional, sonorizare și, nu în ultimul rând, service-ul necesar, atunci când este cazul. Firma importă traductoare de



acustic, având rolul de a asigura dispersia undei sonore emise. Echiparea trădătorului cu hornul potrivit asigură posibilitatea utilizării și a acestui tip de traductoare în incintele domestice.

Pentru cei interesați, recomandăm vizitarea adreselor de Internet a doi specialiști în acustică, Drew Daniels (fost proiectant de aplicații la JBL Professional) și N. Eriks, audiofilii recunoscuți, care își expun opinile proprii privind subiectul în discuție.

Desigur că această parte introductivă va părea aridă și lipsită de finalitate dacă nu ne orientăm către domeniul practic. Aici, totul devine destul de nebulos. Ca să te orientezi către traductoarele pro sau PA nu sunt decât două soluții:

- să cumpere incinte profesionale, unde astfel este destul de mare, dar alegerea nu este chiar simplă. Aveți de ales din multe modele, dar multe se vor exclude de la bun început: modelele pentru sonorizări la nunți, chermeze și alte evenimente, de calitate și proveniență îndoleinică. Se exclud și modelele pro destinate sonorizărilor în spații mari, deoarece nu vor corespunde utilizării în spații reduse, unde sunt alte cerințe.

Sunt adecvate utilizării în domeniul HI-FI domestic incintele denumite monitoare de studio. Acestea sunt utilizate de inginerii de sunet la mixarea semnalelor în sesiunile de înregistrare ca și la alte aplicații, deci trebuie să corespundă unor criterii stricte de neutralitate sonoră, linearitate a caracteristicilor de frecvență, putere pe timp îndelungat etc. În magazine sau la importatorii direcți veți putea procura monitoare de calitate produse de Tannoy, JBL, Carvin, Celestion, Hafler, Mackie, B&W, JMLab și-a. O recomandare: dacă vă permiteți această soluție, nu comandați opareche de astfel de incinte după ilustrația din catalog, datele producătorului și recomandarea importatorului; ascultați-o întâi, preferabil cu echipamentul cu care va alcătui un sistem (sursă semnal, amplificator). În general, monitoarele nu au un aspect estetic fantastic, unele sunt chiar urătoare, dar sunetul este, de cele mai multe ori, superior unor incinte domestice cu un preț de 5-10 ori mai mare;

- cea de a doua soluție, mult mai ieftină și deci mai abordabilă, este construcția unei perechi de incinte utilizând tra-

la câțiva producători consacrați, între care P Audio și Selenium (SUA).

In cele ce urmează voi prezenta traductoarele P Audio în general, și în special pe cele cu care am putut lucra concret, prin bunăvoie importatorului.

P. Audio System Co.Ltd este producător de traductoare acustice profesionale cu locații de lucru, cercetare și proiectare în Europa, cele două Americi, Australia și cu facilitatea de producție de bază în Thailanda. În domeniul traductoarelor de joasă frecvență (woofer, subwoofer, midbass) firma realizează 7 serii de produse care acoperă cele mai diverse necesități de sonorizare (SD - seria de top, Challenger, Super Neo ce utilizează magneti de neodim, Professional - de înaltă performanță, TM - de mare interes pentru car audio, Blue Monster Coaxial și seria HP, cu preț modic prin utilizarea sasiilor din cale ambalat).

Domeniul de reproducere a frecvențelor înalte este acoperit de 6 serii de produse (SD, Super Neo, Professional, Blue Monster Coaxial, PHT și PST), la care se adaugă accesoriile (hornuri, adaptoare etc.). În prezent, departamentul de cercetare și proiectare dezvoltă și produse care sunt adaptate nevoilor pieții HI-FI. Am avut astfel ocazia să lucrez cu un tweeter cu calota de mătase și bobina de 1,25", dotat cu cameră posterioară de amortizare și con de dispersie exponential. Sunetul emis de acest tweeter îl situează peste majoritatea trădătorilor cu mari pretenții și poate sta alături de produse ca Esotar (Dynaudio) sau Revelator (Scan-Speak) fără probleme.

Consecvent ideea de a experimenta o altă latură a incintelor Voigt TQWT, am construit și experimentat o pareche de incinte de mari dimensiuni (1340 x 390 x 286 mm - fără plinta de sprință), la care am operat unele modificări față de varianta de bază, deflecțoarele de colț fiind executate din material plastic curbat.

Desenul de execuție al unei incinte (figura 1) nu relevă dificultăți de execuție mari. Panourile se vor tăia la un atelier dotat cu ferăstrău circular cu vernier, având în vedere că plăcile din interior trebuie să aibă strict aceeași dimensiune ca lățime

(250 mm). Materialul utilizat: PAL (MDF) cu grosimea de 18 mm. În cazul în care utilizați PAL acoperit cu folie (melaminat), adezivul utilizat va fi siliconul în locul aracetului. Strângerea plăcilor se va face cu șuruburi tip Rigips (preferabil cu pas mare), cu lungimea de 45 mm. Este bine ca la montajul plăcilor să lucreze două persoane pentru a ușura operațiunile. Rămân valabile toate indicațiile date la construcția incintelor TQWT cuprinse în ultimele numere ale revistei TEHNIUM.

O mențiune privind montajul rețelei de separare în incintă: am optat pentru montarea plăcii filtrului pe două șuruburi M4 x 50 mm ce fixează placă de borne la partea inferioară. Partea superioară a plăcii de borne se prinde cu două șuruburi Rigips 3,5 x 25 mm. Între peretele din spate al incintei și placă filtrului se pune un strat de burete subțire (5 mm), lipit cu câteva puncte de prenadez. Se va utiliza o placă de borne aurite pentru utilizarea de cabluri terminate cu fișe de tip banană radio (4 mm).

Incinta acustică pe două căi este echipată cu două traductoare produse de P. Audio:

Un woofer BG-8K (din seria Bad Guys - Băieți Răi) cu diametrul de 8", având următoarele parametrii electrici:

- puterea nominală = 300 W
- impedanța nominală = 4 ohmi
- SPL = 85,26 dB/1W/1 m
- Volumul compliant Vas = 11,32 litri
- Qts = 0,387
- Le = 0,8706 mH
- Re = 3,3250 ohmi
- caracteristica de frecvență conform **figurii 2**.
- greutatea magnetului = aprox. 3,5 kg
- șasiu turnat din aliaje ușoare
- suspensie mărătă din cauciuc

Tweeter de tip PCT - 300 având următoarele caracteristici tehnice:

- puterea nominală = 40 W RMS
- puterea muzicală = 80 W
- impedanța nominală 8 ohmi
- SPL = 91 dB/1W/1m
- domeniul de frecvență 1300-25.000 Hz
- diametrul bobinel 1,25"
- materialul calotei: mătase impregnată
- diametrul calotei = 1,5"
- horn din plastic
- cameră fonoabsorbantă posterioară închisă

Reteaua de separare a fost calculată având în vedere că:

- wooflerul și tweeterul au impedanțe diferite;

- wooflerul prezintă unele neregularități în domeniul 800-1.500 Hz, care trebuie "netezite" din construcția filtrului;

- există o diferență de presiune sonoră de circa 5 dB în favoarea tweeterului, care trebuie redusă la nivelul wooflerului cu ajutorul unui divizor adecvat;

- pentru o imbinare liniară, rețeaua de separare de tip Butterworth de ordinul II, având panta de 12 dB/octavă, a fost calculată pentru intersecția la -6 dB la F_t = 1.600 Hz. Au fost operate unele modificări la teste de audiere, înainte de montajul final.

Rețeaua de separare este prezentată în **figura 3**. Execuția bobinelor se va face spiră îngăspiră, pe mosoare din material plastic cu diametrul de 40 mm și înălțimea bobinajului de 20 mm, cu sărmă Cu emailată cu diametrul de 1 mm. Bobina inserată cu wooflerul va avea 145 spire, iar bobina în paralel cu tweeterul, 150 spire.

O mențiune specială privind materialul fonoabsorbant: utilizarea unor traductoare de calitate profesională implică, de regulă, utilizarea unui minim de material fonoabsorbant, în special pentru evitarea formării undelor stationare între peretii paraleli. Personal, am lipit cu puncte de adeziv pe unul din pereții laterali, un strat de circa 10 mm de lână sintetică pentru plăpumă (se găsește de vânzare în grosimi diferite), material foarte puțin dens. Materialul ocupă porțiunea închisă, iar în

zona deschisă, până la gura incintei. Materialul se lipeste înainte de închiderea peretelui lateral. Cei care doresc să experimenteze pot să introducă material fonoabsorbant, tăiat în fâșii lungi, păsate peste peretele interior înclinat. Aceste experimente se justifică atunci când se încercă utilizarea altor tipuri de traductoare, cu performante diferite, având în vedere că materialul fonoabsorbant în exces micșorează viteza de deplasare a aerului în tubul incintei și înrăutățește răspunsul transient la semnale rapide.

Caracteristicile tehnice sunt:

- puterea nominală = 100 W RMS
- puterea muzicală = 200 W
- impedanța nominală = 4 ohmi
- banda de frecvență reproducă = 40 Hz - 25.000 Hz cu o abaterie de +/-3 dB

- presiunea sonoră SPL = circa 86 dB/1W/1m

În cadrul testelor de audiere s-au observat următoarele:

- membrana extrem de rigidă (kevlar) a wooferului are deplasări importante la niveluri mari de putere, ajutată de suspensia de cauciuc rulat cu întărire mare. Wooferul este conceput pentru a fi utilizat și în incinte cu volum mic de tip subwoofer pentru mașină (attenție celor interesați de acest domeniu!);

- frecvențele joase sunt redate foarte precis, cu timbrul natural;

- frecvențele medii sunt foarte "curate", fără alterări ale timbrului care afectează în special vocea umană;

- frecvențele înalte sunt foarte clare și transparente, atât la niveluri mici, cât și la niveluri mari de audiere;

- incintele nu produc senzația de oboselă la nici un nivel de audiere;

- prestația tweeterului este la cel mai înalt nivel, comparativ cu cele mai noi realizări actuale;

- incintele se pot utiliza cu succes și ca incinte principale în cazul unui sistem Home Theatre, presiunea sonoră fiind apropiată de cea a incintelor de mici dimensiuni din comert.

Pentru recomandări privind construcția incintelor, procurarea traductoarelor etc., contactați autorul articolelor prin intermediul redacției sau direct (GSM 0744-846.249).

În numeroasele viitoare ale revistei vom publica, pentru cel interesați, proiecte de incinte de înaltă performanță și randament ridicat, comparative cu modele ca: 5800 (JBL), Prame HR2 (Prame Electroacoustique - Franța), CESAR (Davis Acoustics - Franța) și altele, care utilizează traductoare Pro. De asemenea, vor apărea proiecte ale unor incinte P.A., care se pretează la sonorizări în spații închise sau deschise de mari dimensiuni, răspunzând astfel cerințelor cititorilor.

Incintele de mare randament sunt în prezent din ce în ce mai solicitate de audiofilii datorită utilizării de amplificatoare de puteri mici, în special cu tuburi. În plus, aceste incinte asigură o reproducere mult mai vivace și mai transparentă a mesajului sonor.

Necesar PAL # 18 mm

Poz.	Denumirea	Buc.	Dimensiuni (mm)
1	Placă laterală	2	390 x 1340
2	Placă față	2	250 x 1020
3	Placă spate	2	250 x 1340
4	Capac superior	2	250 x 354
5	Capac inferior	2	250 x 372
6	Perete interior	2	250 x 840
7	Perete interior mic	2	250 x 54

PROIECTAREA UNUI AMPLIFICATOR AUDIO HI-FI (I)

Prof. ing. Emil Marian

În domeniul amplificatoarelor de audiofrecvență au fost abordate și realizate practic o multitudine de soluții tehnice, mai mult sau mai puțin sofisticate. Actualmente, există practic trei grupe de amplificatoare audio, și anume:

- amplificatoare cu tranzistoare;
- amplificatoare hibride (circuit integrat + tranzistoare);
- amplificatoare cu circuite integrate specializate.

Evident, se mai realizează și amplificatoare audio cu tuburi electronice, soluții scumpe și foarte performante pentru unii parametri audio. Din nefericire, procurarea unor tuburi electronice a devenit o dificultate majoră pentru constructorul amator de audiu Hi-Fi. Din acest considerent mi-am propus să abordez proiectarea unui amplificator de audiofrecvență de putere cu tranzistoare bipolare, pe care orice constructor amator CARE DOREȘTE SĂ ÎNVETE ELECTRONICĂ, SĂ SE PERFECTIONEZE, URMÂND A DEVENI CEL PUTIN TEHNICIANUL PROFESIONIST DE MÂINE, să o poată înțelege, aborda și finaliza cu succes.

Articolul se adreseză cu precădere tehnicienilor electroniști care vor să prezinte un proiect de absolvire a unui liceu industrial în ceea ce privește examenul de competență profesională, dar poate fi abordat cu succes de către orice electronist amator. Este bun și pentru inginerii profesioniști în domeniu, care nu strică să-si mai actualizeze o serie de cunoștințe "rămase în beciurile memoriei".

Faptul că montajul ce urmează a fi proiectat este foarte flexibil, atât în ceea ce privește impedanța de sarcină pentru care va lucra, cât și puterea nominală debitată, constituie o "provocare tehnică" în ceea ce privește A ÎNVĂȚA, A CALCULA, A ȘTI, A REALIZA PRACTIC un amplificator performant.

Soluția tehnică a montajului ce urmează a fi prezentat permite obținerea unei puteri nominale situate în gama 20W-80W, având, evident, ca prim considerent al proiectării puterea utilă și impedanța incintelor acustice la care amplificatoarele se cuplează.

Este evident faptul că un amplificator audio actual nu mai poate fi decât cel puțin stereo.

Soluțiile tehnice ale firmelor specializate includ frecvență montaje "cuadro", "surround" etc., dar elementul de bază pentru fiecare canal audio rămâne amplificatorul audio mono performant, identic pentru fiecare grup transmisițor de putere acustică.

Așa cum este precizat în toate manualele de specialitate, orice amplificator audio performant include o serie de etaje funcționale bine definite ca funcții și performanțe, și anume:

- etajul de intrare;
- etajul amplificator de tensiune;

- etajul pilot;
- etajul amplificator de putere electrică audio;
- etajul de polarizare;
- etajul de protecție;
- etajul reacțiilor de optimizare a funcționării amplificatorului;
- etajul de alimentare cu energie electrică.

Succesiunea etajelor funcționale ale amplificatorului audio (indiferent de grupa funcțională din care face parte) este prezentă în figura 1.

Initial vom porni de la considerentul CE VREM SĂ OBȚINEM și apoi, printr-o serie de relații de calcul simple, dar bine alese, va rezulta CUM OBȚINEM soluția tehnică necesară. Pentru ușurarea înțelegerei modului de proiectare, mi-am propus să aleg o serie de date tehnice inițiale ale amplificatorului, o schemă electrică relativ simplă, dar performantă, urmând ulterior a dimensiona toate elementele componente ale montajului. În funcție de ceea ce își propune, în ceea ce privește puterea de ieșire a amplificatorului și impedanța lui de sarcină (a incintei), constructorul va urma același algoritm de calcul, schimbând doar datele inițiale ale problemei. Schema electrică propusă a amplificatorului audio de putere este prezentată în figura 2. Se observă că el prezintă toate etajele funcționale menționate anterior, urmând a fi dimensionate valorile componentelor electrice pasive și tipul componentelor electrice active. Ca exemplu de calcul se aleg următoarele date inițiale:

$$P_{OUT} = 50W \quad Z_{INC} = 4\Omega$$

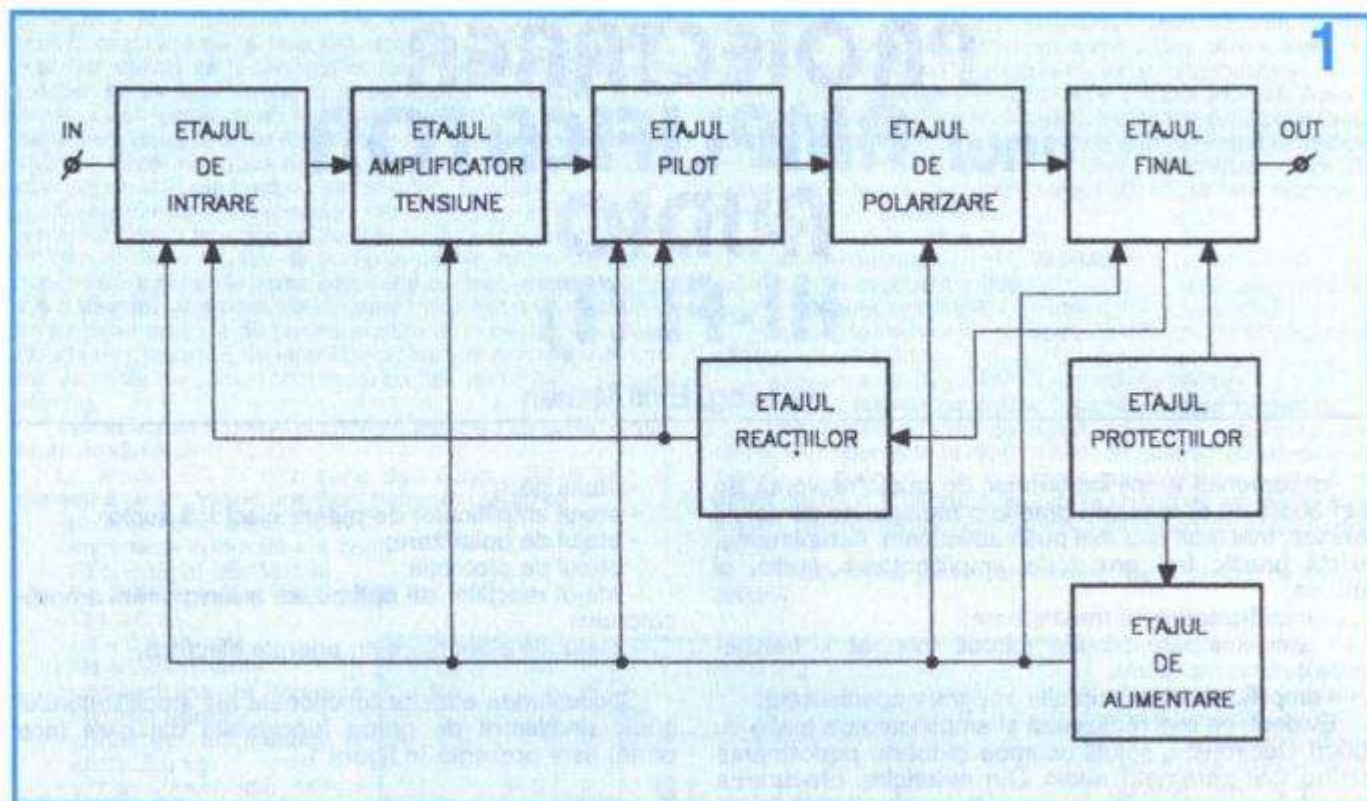
unde

P_{OUT} = puterea nominală a amplificatorului;

Z_{INC} = impedanța de sarcină a incintei acustice.

1. ETAJUL FINAL

Dimensionarea etajului final începe cu calculul tensiunii de alimentare V_{CC} și ulterior calculul curentilor de vârf I_{ET11} și I_{ET12} proprii tranzistoarelor finale T_{11} și T_{12} . Se menționează că "excursia" vârf la vârf a tensiunii alternative de ieșire trebuie astfel aleasă încât tranzistoarele finale să nu lucreze în zona de blocare sau în zona de saturare. În caz contrar apar distorsiuni grave în timpul livrării puterii nominale de către amplificator. Practica a arătat faptul că trebuie "să ne luăm" o rezervă de tensiune, astfel încât excursia în tensiune a celor două tranzistoare finale T_{11} și T_{12} să se situeze în zona lor activă de lucru. Luând inițial o rezervă de tensiune de circa 4V, obținem:



$$V_{cc} = \sqrt{8P_N \cdot Z_{INC}} + 4 = \sqrt{8 \cdot 50 \cdot 4} + 4 = 44V$$

Curentul maxim din emitoarele tranzistoarelor T_{11} și T_{12} , I_{ET11} și I_{ET12} prezintă valoarea:

$$I_{ET11} = I_{ET12} = \frac{V_{cc} - V_{R21} - V_{R22} - 2V_o}{2Z_{INC}} = \\ = \frac{44 - 1 - 1 - 2}{2 \cdot 4} = 5A$$

unde

V_{R21} = căderea de tensiune pe rezistența R_{21}

V_{R22} = căderea de tensiune pe rezistența R_{22}

Am ales inițial $V_{R21} = V_{R22} \approx 1V$

V_o = tensiunea de saturare a tranzistoarelor T_{11} și T_{12} , aleasă de cca 1V.

În funcție de tipurile tranzistoarelor complementare T_{11} și T_{12} , se consultă catalogul și se găsesc acolo valorile exacte, urmând să se introducă în formula de calcul a curentului $I_{ET11} = I_{ET12}$ valoarea exactă a lui V_o .

Valorile rezistențelor R_{21} și R_{22} rezultă imediat

$$R_{21} = R_{22} = \frac{V_{R21}}{I_{ET11}} = \frac{V_{R22}}{I_{ET12}} = \frac{1}{5} = 0,2\Omega$$

Puterea maximă disipată de cele două rezistențe R_{21} și R_{22} , și anume $P_{DR21} = P_{DR22}$ se calculează:

$$P_{DR21} = P_{DR22} = R_{21} I_{ET12}^2 = 0,2 \cdot 5^2 = 5W.$$

Pentru stabilitatea termică a celor două rezistențe (își modifică puțin valoarea o dată cu încălzirea) alegem $R_{21} = R_{22} = 0,2\Omega/7W$.

Pentru alegerea tranzistoarelor T_{21} și T_{22} trebuie să mai ținem cont obligatoriu și de puterea disipată de acestea (se încălzesc), deci:

$$P_{DT21} = P_{DT22} = \frac{V_{cc} I_{RETMAX}}{8} = \frac{44 \cdot 5}{8} = 27,5W$$

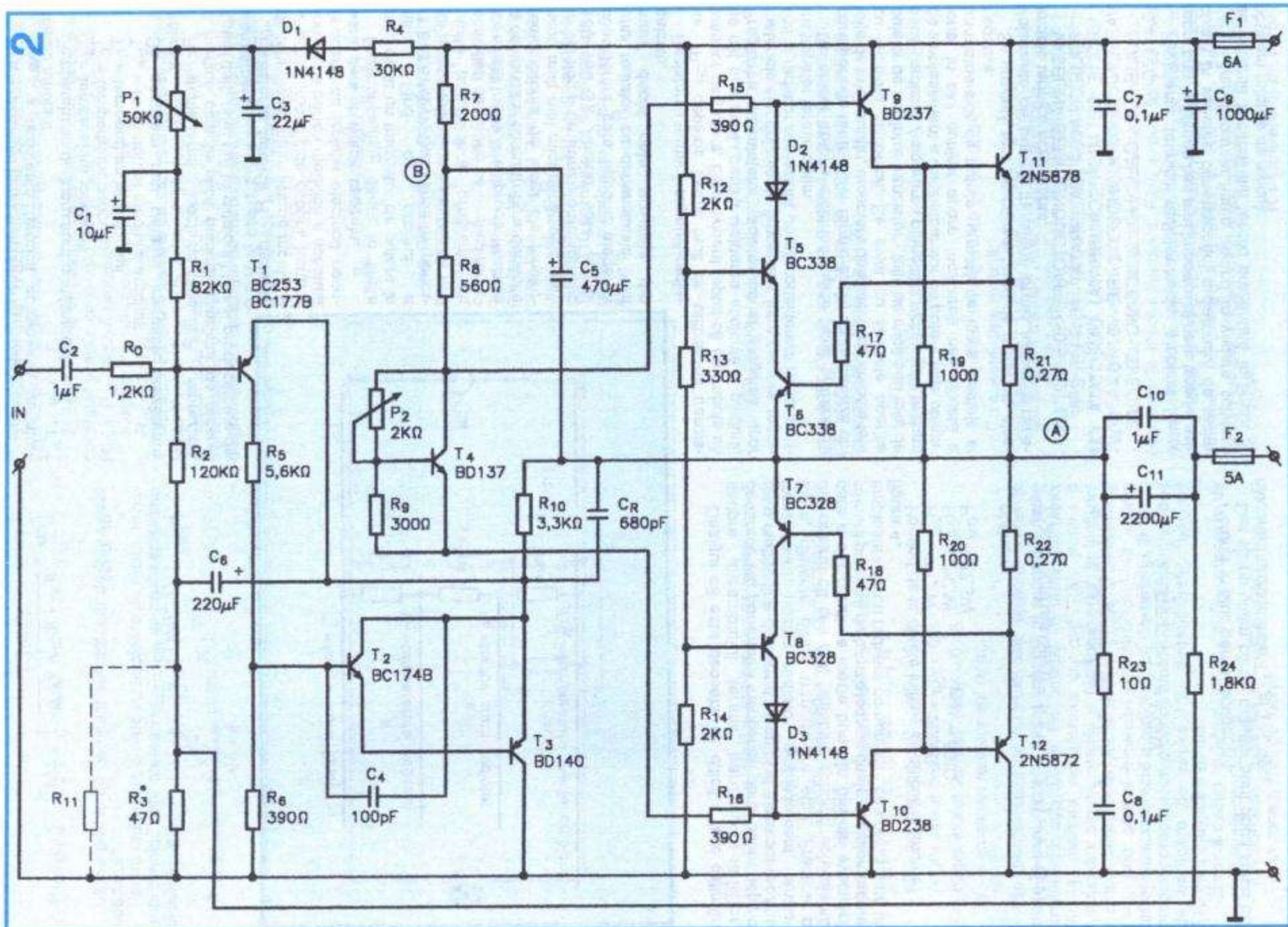
Evident, calculele s-au făcut pentru situația cea mai defavorabilă de lucru a celor două tranzistoare T_{21} și T_{22} .

Alegerea tranzistoarelor T_{21} , T_{22} ține cont de cei trei parametri principali, și anume V_{CC} , I_{CM} și P_{DT} . Consultând catalogul de tranzistoare, se poate imediat vedea că putem alege un dublet de tip $T_{11} = 2N3055$ (2N3442) și $T_{12} = BDX18$ sau asemănător. Pentru sarcini cu impedanță de ieșire $Z_E = 8\Omega$, se poate alege varianta $T_{11} = 2N5878$ și $T_{12} = 2N5872$, care suportă tensiuni colector - emitor mai mari (la varianta $Z_{INC} = 8\Omega$, $V_{CC} = 60\div 70V$). Un alt considerent extrem de important este ca factorul de amplificare în curent h_{21E} al celor două tranzistoare T_{11} și T_{12} să fie IDENTIC LA CURENȚI MARI ($I = 2\div 3A$). Sortarea lor este obligatorie pentru asigurarea unui procentaj de distorsiuni minim al amplificatorului audio (la $I = 3A$).

O altă problemă, extrem de importantă pentru etajul final, o reprezintă eliminarea căldurii datorate încălzirii celor două tranzistoare finale. Pentru acest lucru tranzistoarele finale vor fi prevăzute cu un radiator, realizat în majoritatea cazurilor din aluminiu, sau mai precis un profil de aluminiu cu aripioare, pentru a avea o eficacitate maximă (suprafață cât mai mare la un volum minim). Dar cât este de mare radiatorul? Pentru acest lucru a fost elaborată o schemă echivalentă care privesc transferul energiei termice de la tranzistoare la radiator și ulterior mediului ambient, prezentată în figura 3. În acest sistem există practic următoarele elemente:

P_{DM} = puterea disipată maximă

R_{JC} = rezistența termică echivalentă juncțiune-capsulă



R_{CR} = rezistență termică echivalentă capsulă-radiator

R_{RMA} = rezistență termică echivalentă radiator-mediu ambient

Temperaturile de lucru sunt următoarele:

T_J = temperatura jonctiunii

T_C = temperatura capsulei

T_R = temperatura radiatorului

T_{MA} = temperatura mediului ambient

Să analizăm mai detaliat mărimele prezentate anterior.

Rezistența termică jonctiune-capsulă R_{JC} reprezintă o mărime caracteristică oricărui tranzistor de putere, specificată (sau nu) în catalogul firmei producătoare de tranzistoare.

Rezistența termică R_{JC} depinde de tehnologia intrinsecă de montaj a structurii monolitice proprii tranzistorului pe partea metalică a acestuia (evident, cu izolație electrică necesară) care constituie capsula.

Rezistența R_{JC} diferă în limite mici de la un tranzistor de putere la altul, fiind de ordinul a $(1,8 \div 2,5)^\circ\text{C/W}$. Dacă însă în montajul practic există un complex de mai multe tranzistoare, problema se complică deoarece pe același radiator există încălziri reciproce. Practica a demonstrat că nu trebuie depășite temperaturile de lucru ale jonctiunilor, mult mai mici decât cele date în catalogul de tranzistoare (practic $130 \div 150^\circ\text{C}$). Aceasta este primul considerent care impune alegerea unui radiator cu dimensiunile "mai mari" decât cele rezultate din calcule.

Rezistența termică capsulă-radiator R_{CR} depinde foarte mult de utilizatorul tranzistoarelor de putere. Este evident faptul că ea trebuie să fie cât mai mică, pentru disipaarea eficientă a căldurii. Pregătirea suprafetelor radiatorului și alegerea unor materiale electroizolante amplasate între capsula metalică și radiator reprezintă un alt considerent major pentru transfer termic optim.

De obicei izolația electrică foarte bună și totodată care permite un transfer termic optim se realizează din foile de mică subțire, umectate obligatoriu pe ambele fețe cu vaselină siliconică. Se evită cu strictețe apariția bulelor de aer între tranzistor - folie de mică sau folie de mică - radiator. Asigurarea planeității radiatorului în zona de amplasament a tranzistoarelor de putere este obligatorie. În caz contrar apare încălzirea nejustificată a tranzistoarelor de putere, urmată de toate efectele ei negative.

Se prezintă mai jos câteva tipuri de materiale electroizolante, dar bune la transferul termic, alături de rezistențele termice echivalente:

VASELINĂ SEMICONDUCTOARE - $(0,5 \div 1,2)^\circ\text{C/W}$

FOLIE DE MICĂ (CALIBRATĂ) - $(1,1 \div 1,5)^\circ\text{C/W}$

FOLIE DE MICĂ (CALIBRATĂ) UMECTATĂ CU

VASELINĂ TERMOCOMDUCTOARE - $(0,3 \div 0,45)^\circ\text{C/W}$

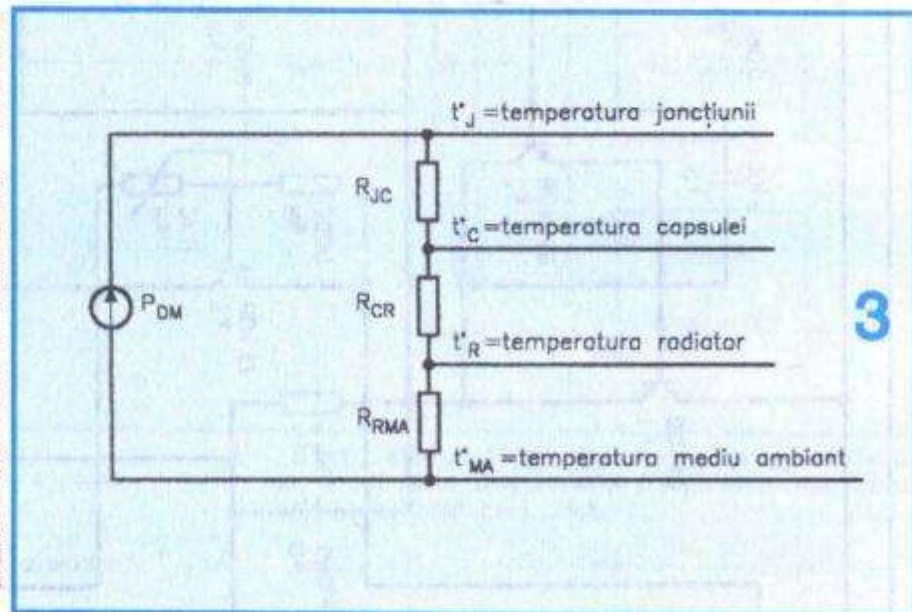
FOLIE DE CAUCIUC SILICONIC SPECIAL - $(0,4 \div 1)^\circ\text{C/W}$

Rezistența termică radiator-mediu ambient R_{RMA} reprezintă mărimea cea mai importantă care trebuie calculată în vederea dimensionării radiatorului de răcire pentru tranzistoarele finale. Având în vedere schema echivalentă a circuitului termic prezentată în figura 3, obținem relațiile de calcul:

$$P_{DM} = \frac{T_J^0 - T_{MA}^0}{R_{JC} + R_{CR} + R_{RMA}}$$

de unde

$$R_{RMA} = \frac{(T_J^0 - T_{MA}^0)}{P_{DM}} - (R_{JC} + R_{CR})$$



3

Desigur că este deosebit de dificil a face estimări asupra ansamblului termic tranzistoare-radiator, deoarece toți parametrii menționati până acum depend de o multitudine de factori electrici și mecanici (poziție tranzistoare, poziție radiator, amplasament tranzistoare, distanță dintre tranzistoare etc.). Practica a demonstrat că cea mai "valabilă" schemă echivalentă care a dat rezultate foarte bune în privința evacuării căldurii produse de tranzistoarele finale complementare amplasate pe un radiator comun este cea prezentată în figura 4.

Pornind de la datele inițiale de calcul, și anume:

$$R_{JC} \approx 2^\circ\text{C/W} \quad T_J = 200^\circ\text{C}$$

$$R_{CR} \approx 2^\circ\text{C/W} \quad T_{RMA} = 50^\circ\text{C}$$

$$P_{DM} = 27,5\text{W}$$

obținem

$$(R_{JC} + R_{CR})_{ANSAMBLU} = (2+1) || (2+1) = 1,5^\circ\text{C/W}$$

$$R_{RMA} = \frac{(T_J^0 - T_{MA}^0)}{P_{DM}} - (R_{JC} + R_{CR})_{ANS} = \\ = \left(\frac{200 - 50}{27,5} \right) - 1,5 \approx 4^\circ\text{C/W}$$

(rotunjit în plus pentru acoperire).

Dar să nu uităm că pe radiator sunt două surse de căldură, tranzistoarele T_{11} și T_{12} , deci

$$R_{\text{RADIATOR}} = \frac{R_{\text{RAA}}}{2} = \frac{4}{2} = 2^{\circ}\text{C/W}$$

Ultima problemă pe acest subiect: cât de mare este radiatorul?

Pentru radioatoare dotate cu aripiore de răcire, rezistența termică echivalentă R_{RADIATOR} se poate approxima folosind relația:

$$R_{\text{RADIATOR}} = 33 \frac{C_T^{1/4}}{\sqrt{\lambda + d}} + 650 \cdot \frac{2C_T}{S_T}$$

- realizarea unei reacții negative locale de curent, care să prevină din start ambalarea termică a dubletelor T_9, T_{11} și T_{10}, T_{12} .

Evitând o serie de calcule deosebit de complexe, s-a constatat practic că o valoare de cca $82+120 \Omega$ pentru R_{19} și R_{20} rezolvă problema.

Aleg pentru cele două rezistențe valorile:

$$R_{19} = 100 \Omega; R_{20} = 100 \Omega$$

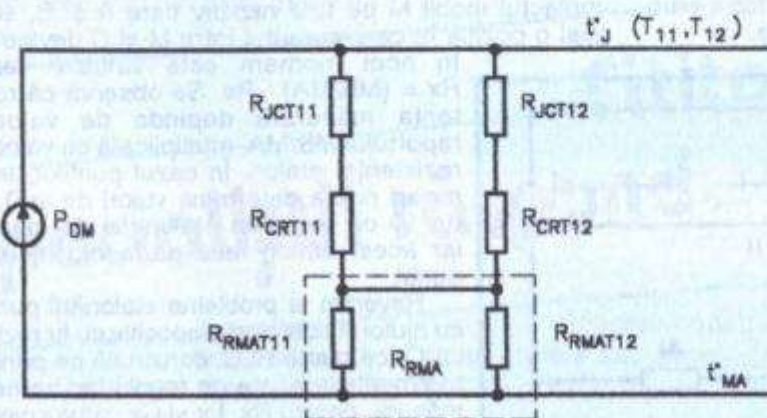
DE CE? Pentru o variație de curent a tranzistoarelor finale T_{11} și T_{12} între $0,5\text{A}$ și 5A (valoarea maximă) corespunde o variație de curent de cca 160mA pentru tranzistoarele prefinale T_9 și T_{10} și simultan (analizând diagramele din catalogul de tranzistoare) o variație între $0,7 \text{V}$ și cca $1,1 \text{V}$ pentru tensiunea bază-emitor a tranzistoarelor finale.

Deci rezistența dinamică R_D de intrare a tranzistoarelor de ieșire va fi

$$R_D = \frac{\Delta V_{BE}}{\Delta I_B} = \frac{1,1 - 0,7}{0,160} = 2,5 \Omega$$

Se observă că această valoare este nesemnificativă față de valorile rezistențelor R_{19} și R_{20} (100Ω). Rezultă că amplificarea în curent a celor două tranzistoare finale se păstrează, dar cu avantajele majore precizate anterior la alegerea valorilor lui R_{19} și R_{20} .

Alegerea tranzistoarelor prefinale T_9 și T_{10} pornește tot de la considerentele menționate până acum, și anume U_{CEmax} , I_{Cmax} , P_{Dmax} .



unde

S_T → suprafața totală a aripiorilor de răcire

λ → conductibilitatea termică a aluminiului
($\lambda = 220 \text{Wm}^{-1}\text{C}^{-1}$)

C_T → constanta termică de convecție/radiație
(m^2CW^{-1})

Se menționează următoarele valori uzuale:

- alb - poziție orizontală $\rightarrow C_T = 1$
 - alb - poziție verticală $\rightarrow C_T = 0,85$
 - negru eloxat orizontal $\rightarrow C_T = 0,5$
 - negru eloxat vertical $\rightarrow C_T = 0,45$
- d → grosimea radiatorului (mm)

Se menționează că formula este valabilă numai în cazul în care raportul dintre volumul și suprafața radiatorului este sub $0,6 \text{ m}$. Recomand, în urma calculelor făcute, mărirea radiatorului cu cca 10% pentru o funcționare sigură, stabilă și fără probleme de încălzire a amplificatorului. În funcție de tipul profilului de aluminiu ales, prin câteva încercări, constructorul va estima dimensiunea corectă a radiatorului. Recomand, în urma probelor practice, un profil de aluminiu cu un singur rând de aripiori de răcire, cu dimensiunile: lungime 210 mm ; înălțime 120 mm .

Dimensionarea rezistențelor R_{19} și R_{20} pornește de la următoarele considerante:

- funcționarea dubletelor de tranzistor T₉, T₁₁ și T₁₀, T₁₂ în zona activă de lucru;

$$\text{Pentru datele } U_{CEmax} \frac{V_{CC} \cdot I_{ET9}^0}{8} = \frac{44 \cdot 0,3}{8} = 1,6 \text{ W}$$

unde am calculat valoarea maximă a curentului de emitor, presupunând un factor de amplificare în curent al tranzistoarelor finale $h_{21E} \approx 20$.

$$I_{ET9} = \frac{I_{ET10}}{h_{21E}} = \frac{5}{20} = 0,25 \text{ A}$$

(majorând pentru siguranță $I_{ET9} = 0,3 \text{ A}$).

Cu aceste date rezultă:

$$U_{CEmax} = 44 \text{ V}; I_{CM} = 0,3 \text{ A}; P_{Dmax} = 1,6 \text{ W}$$

Se aleg din catalog tranzistoarele prefinale

$$T_9 = BD137 (\text{BD139}); T_{10} = BD138 (\text{BD140}).$$

Pentru puteri mai mari ale amplificatorului (de exemplu, $P = 80 \text{W}$), recomand grupul $T_9 = BD237$; $T_{10} = BD238$ sau altele similare ca parametri.

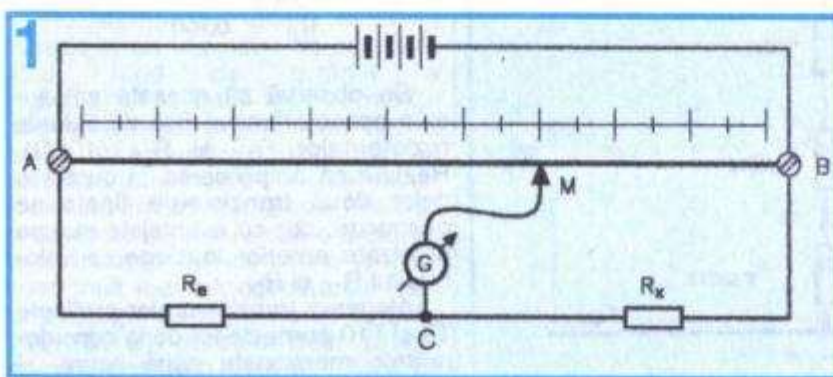
Să nu uităm însă că puterea disipată termică trebuie evacuată în mediul ambient. Fără a mai face calcule complexe (ca în cazul finalelor T₁₁ și T₁₂), practica a demonstrat că un profil U de aluminiu având lățimea și lungimea tranzistorului prefinal și înălțimea de cca 20 mm rezolvă eficient problema, disipând lejer o putere de cca 2W .

(Continuare în nr. viitor)

ETALONAREA PUNȚILOR de MĂSURĂ RLC

Ilie STOICA, Urziceni

Puntea pentru măsurarea rezistențelor, capacitaților și inductanțelor este un aparat de măsură foarte bun pentru constructorul amator. Utilizarea ei este simplă și precizia măsurătorilor este mai mult decât satisfăcătoare. De asemenea, construirea ei este relativ ușoară, cu cheltuieli minime. Singura problemă este găsirea valorilor pentru piesele folosite ca etalon, care trebuie să fie cât mai exacte, deci selecționate.



Dar cea mai delicată operație rămâne etalonarea. O posibilitate este utilizarea unei cutii cu rezistențe decadice, dar înseamnă să se apeleze la bunăvoiea unui laborator școlar sau de întreprindere, lucru de multe ori imposibil pentru unii constructori amatori. Pentru aceștia prezintă în cele ce urmează o metodă mai "demodată", dar mai accesibilă și suficient de precisă. Este vorba de metoda etalonării "cu fir rezistiv".

Pentru a înțelege despre ce este vorba, să ne amintim experiența lui Wheatstone (fig. 1): un fir rezistiv (nicelină, constatan etc.), cu lungimea de exact 1000 mm, este întins bine de-a lungul unei rigle gradate, între două suporturi (șuruburi) A și B. Se recomandă ca firul să fie mai subțire pentru a avea o rezistență totală de câteva sute de ohmi. Pe fir se poate fixa oriunde, cu ajutorul unui clește crocodil cu vârfuri ascuțite, un contact mobil M. În paralel, între A și B se mai introduc o rezistență etalon R_e cunoscută și o rezistență de măsurat

R_x , acestea interconectate în punctul C. Între C și M se află conectat un aparat de măsură de tip galvanometru (cu zeroul la mijlocul scalei).

Dacă se alimentează schema prin punctele A și B cu tensiune continuă de către o sursă, între punctele M și C se constată prezența unui curent electric. Mișcând contactul mobil M pe firul rezistiv între A și B, se va găsi o poziție în care curentul între M și C devine nul.

În acel moment este valabilă relația $R_x = (MB/MA) \cdot R_e$. Se observă că rezistența măsurată depinde de valoarea raportului MB/MA , multiplicată cu valoarea rezistenței etalon. În cazul punților, acest raport poate determina valori de la 0,1 la de 10 ori valoarea etalonului de măsură, iar acest etalon face parte din montajul punții.

Revenim la problema etalonării punților cu ajutorul aceluiași dispozitiv cu fir rezistiv.

Orice punte RLC, construită pe principiul Wheatstone, are de regulă trei borne de măsură, pentru R_x , L_x și C_x , și un comutator K pentru alegerea etalonului fiecărui domeniu de măsură (fig. 2).

Se confectionează dispozitivul cu fir rezistiv (cca 200 ohmi), după indicațiile de mai înainte, după care se conectează la bornele de măsură ale punții conform figurii 3. Comutatorul K al punții se trece pe poziția zero sau se scoate din circuit.

Se regleză contactul M astfel ca să avem $AM = xMB$, unde x să aibă valorile de la 0,1 la 10, în felul următor:

$$\text{Dacă } AB = 1000 \text{ mm, atunci } AM + MB = 1000.$$

$$\text{Înlocuim } AM = x \cdot MB \text{ și rezultă } MB(x+1) = 1000$$

$$\text{Deci } MB = 1000 / (x+1)$$

$$\text{Pentru } x = 0,1 \quad MB = 1000 / (0,1+1) = 909,09 \text{ mm}$$

$$\dots$$

$$\dots$$

$$\dots$$

$$\dots$$

$$x = 1 \quad MB = 1000 / (1+1) = 500 \text{ mm}$$

...

...

...

...

...

...

...

...

...

...

...

...

...

...

...

...

...

...

...

...

...

...

...

...

...

...

...

...

...

...

...

...

...

...

...

...

...

...

...

...

...

...

...

...

...

...

...

...

...

...

...

...

...

...

...

...

...

...

...

...

...

...

...

...

...

...

...

...

...

...

...

...

...

...

...

...

...

...

...

...

...

...

...

...

...

...

...

...

...

...

...

...

...

...

...

...

...

...

...

...

...

...

...

...

...

...

...

...

...

...

...

...

...

...

...

...

...

...

...

...

...

...

...

...

...

...

...

...

...

...

...

...

...

...

...

...

...

...

...

...

...

...

...

...

...

...

...

...

...

...

...

...

...

...

...

...

...

...

...

...

...

...

...

...

...

...

...

...

...

...

...

...

...

...

...

...

...

...

...

...

...

...

...

...

...

...

...

...

...

...

...

...

...

...

...

...

...

...

...

...

...

...

...

...

...

...

...

...

...

...

...

...

...

...

...

...

...

...

...

...

...

...

...

...

...

...

...

...

...

...

...

...

...

...

...

...

...

...

...

...

...

...

...

...

...

...

...

...

...

...

...

...

...

...

...

...

...

...

...

...

...

...

...

...

Domnule Ioan Radu Barbos,

Ne bucură interesul dv. pentru electronică și acustică, deci pentru revista TEHNİUM. Trebuie să remarc însă că prin specificul său, revista nu se situează la nivelul domeniului profesional, ea adresându-se îndeosebi tinerei generații, în scopul ridicării nivelului de cunoștințe, ceea ce se poate obține numai prin eforturi și din partea cititorului. Multe fenomene sau aspecte teoretice și practice au fost explicate de-a lungul timpului, din care motiv vă recunoști.

un rezonator Helmholtz acordat pe o frecvență apropiată de frecvența de rezonanță a woofерului, sau chiar mai joasă. Modul de calcul al incintei este același cu al incintei bass-reflex.

Incinta denumită bookshelf nu este altceva decât o incintă suficient de mică pentru a putea fi amplasată pe raftul unei biblioteci. Sunt echipate cu woofere de max. 8" și un tweeter. De obicei sunt incinte cu două căi, mai rar pe trei sau mai multe căi.

- neizolarea corespunzătoare a celor două montaje față de masă, față de radiator a CI etc.;

- conexiuni greșite la intrarea sau ieșirea montajelor, care au putut determina intrarea în autooscilație, urmată de distrugere.

Nu este neapărat necesară utilizarea unui stabilizator de tensiune! Ca preamplificator puteți procura tot un kit din comerț, dar atenție la tensiunea de alimentare a kitului preamplificator.

Cititorii întreabă -

specialiștii răspund

mand să studiați colecția revistei dinainte și de după 1989. Totodată va fi necesar să reveniți asupra unor aspecte teoretice din manualele de fizică de liceu. Fără un studiu făcut din pasiune nu putem garanta înțelegerea fenomenelor care stau la baza funcționării unui montaj sau altul. În plus, satisfacția va fi cu atât mai mare când veți arăta prietenilor un montaj care funcționează și veți putea să le explicați și modul de funcționare!

Tubul de bass, subwooferul de mașină este o incintă care reproduce predominant frecvențele joase și foarte joase. Are forma cilindrică, putând fi mai ușor amplasat în portbagajul mașinii. Nu este proiectat să funcționeze ca incintă acustică în cameră. Frecvențele medii și înalte sunt reproduse de difuzoare separate, montate de obicei în portierele mașinii. Constructiv este un tub cu pereți groși execuți din materiale inerte sonor (lemn, PAL, hârtie în straturi multiple, plastic etc.). La unul din capete se montează difuzorul numit woofer. Celălalt capăt este închis cu un capac în care se montează

Soluția constructivă: bass - reflex sau incintă închisă în 99% din cazuri.

Domnule Mădălin Oprescu,

Pentru că proiectul dv. a eşuat lamentabil, să examinăm care ar putea fi cauzele din datele furnizate în scrisoare.

Prima constatare: se pare că bagajul dv. de cunoștințe nu este prea bogat în domeniul electronicii. Un calcul sumar ne arată că pentru un amplificator stereo de 2 x 50 W, la care randamentul este, în clasă B, în funcție de schema adoptată, între 50-70%, necesită un transformator cu puterea de cel puțin 150 W. Deci acel cineva a construit corect transformatorul.

La prima probă, condensatoarele "au plesnit" pentru că au fost montate cu polaritatea greșită, sau puntea redresoare era defectă, sau există un scurtcircuit la ieșire!

La proba cu circuitele montate, spuneți că ați respectat toate sfaturile firmei, dar se pare că ceva a scăpat de sub control. Cauzele pot fi:

- conexiuni greșite pe alimentare;

Vă sfătuiesc să apelați la un prieten cu cunoștințe mai vaste în electronică pentru a nu risipa banii pe montaje care se distrug în fracțiuni de secundă.

Domnule Gabriel Olteanu,

Vă recomand să lăsați și posibilitatea de a fi contactat normal, prin telefon sau fax, mai ales dacă doriți un răspuns mai rapid, având în vedere apariția trimestrială a revistei. În plus, pentru un răspuns la obiect sunt necesare mai multe date pe care nu le am la dispoziție. Iată câteva întrebări:

- de ce aveți nevoie de o putere de 150 W?

- de ce trebuie să fie impedanța de 6 ohmi, în loc de valorile uzuale de 4 sau de 8 ohmi?

- în numerele din anul trecut și anul acesta sunt prezentate și soluții practice de incinte TQWT. De ce nu puteți aborda una din soluțiile prezentate? Din păcate nu vă pot lămuri fără un contact direct pentru stabilirea unor detaliu. Pentru a obține un rezultat corespunzător investiției, este imperios necesară lămurirea tuturor aspectelor tehnice.

Ing. Aurelian MATEESCU

DEPANAREA

**multimetru lui
digital DT830B**

Constantin SOLDAN, Iași

Încă de la început tîn să vă mulțumesc foarte mult că mi-ați publicat articolul în paginile revistei TEHNIUM. De asemenea, vă mulțumesc că mi-ați trimis și bani. În continuare aş vrea să vă propun încă un articol, privitor la depanarea instrumentului de măsurat DT830B, multimeteru digital (MD) care folosește circuitul integrat 7106.

În ultimii zece ani au apărut pe piața noastră o multitudine de aparate de măsurat digitale, de la prețuri modice la prețuri piperate. De aceea, propun depanarea multimeterului digital DT830B. Schema pe care o prezint este orientativă, pot surveni modificări de la o firmă la alta.

Pentru depanare se procedează în felul următor:

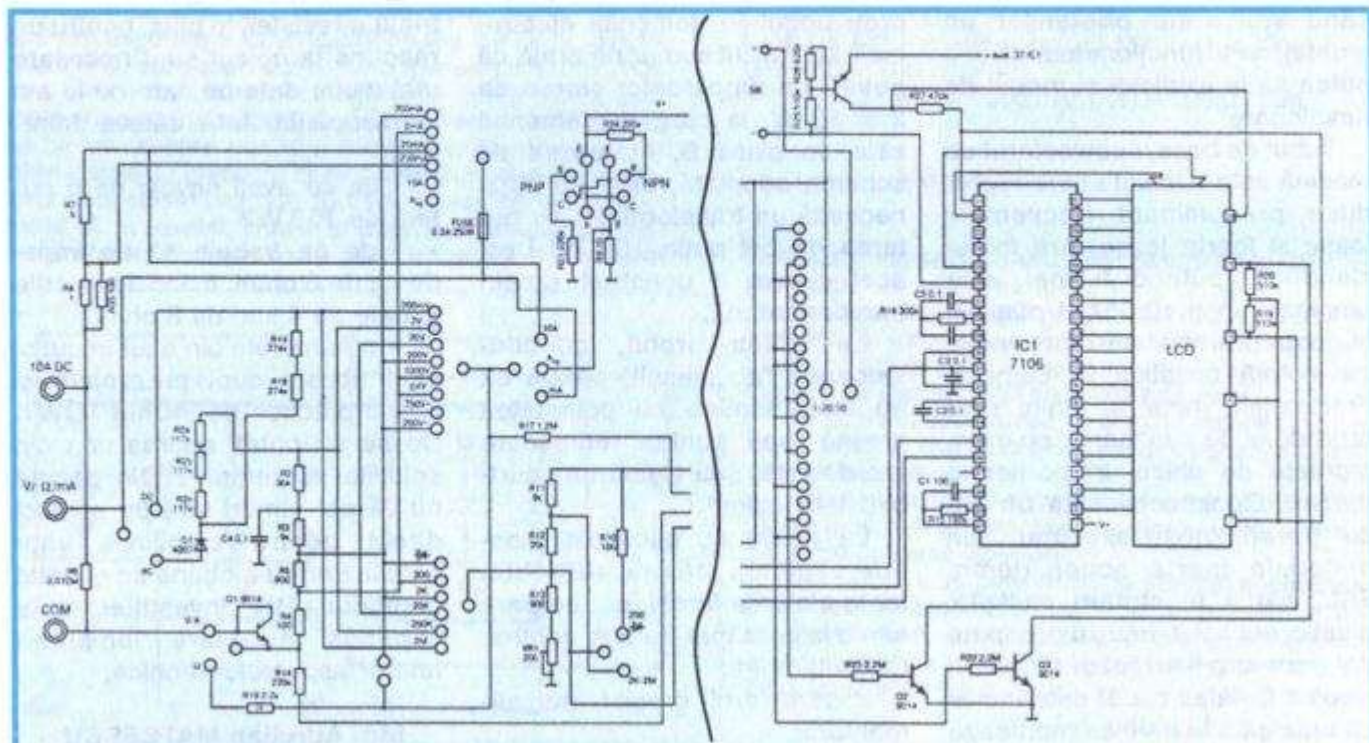
Se demontează capacul din plastic al aparatului, deșurubând cele două șuruburi. Se verifică vizual rezistențele de precizie și se observă cele arse. Se scoate sigu-

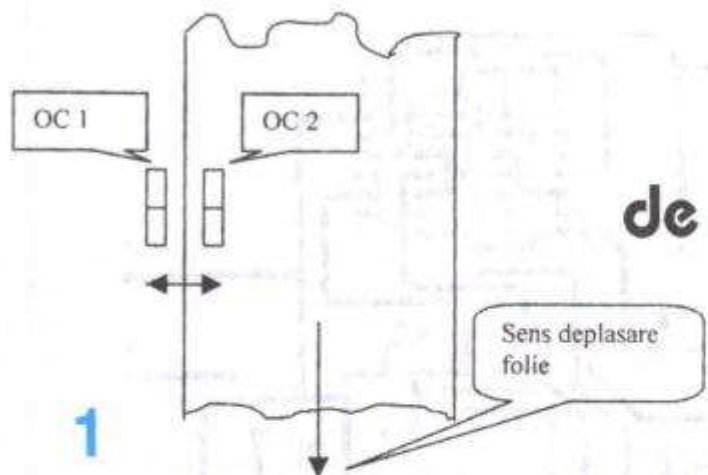
ranța de 0,2 A, se deșurubează cele trei holzsuruburi și se scoate placa de circuit imprimat. Se scoate și afișorul cu cristale lichide, cu atenție. Se măsoară rezistențele de precizie cu un multimeter digital. Se înlocuiesc cu altele de aceeași valoare, cu peliculă metalică, de 1%.

Se va scoate C.I. 7106 cu ajutorul unei pompe de absorbit cositorul. Unele aparate au C.I. sub formă unei insule prinse de o placă de circuit imprimat de dimensiunea unui C.I. normal. Se va monta un soclu pentru C.I. Treicerile metalice, dacă s-au distrus, se vor înlocui cu tablă de cupru desprinsă de pe o placă de circuit imprimat și roluită pe un burghiu \varnothing 0,8 mm. Dacă nu se pot lipi pinii soclului, se vor scoate piesele, respectiv rezistențele și condensatoarele, se vor lipi pinii, și apoi se vor monta din nou condensatoarele și rezistențele.

Se montează în soclu C.I.

7106, se montează și afișorul cu cristale lichide, se introduce placa de circuit imprimat în carcasa aparatului și se montează cele trei holzsuruburi. Se pune și siguranța de 0,2 A. Se măsoară între pinii 35 și 36 al C.I. 7106 o tensiune de 100 mV. Dacă nu se obține, se încearcă a se înlocui rezistență cu una mai mică (sub 27 k Ω). Sunt și unele variante de aparate cu C.I. sub formă de „insulă” și prevăzut cu pini pentru a se monta un soclu pentru C.I. sau chiar C.I. Se vor tăia cu un cuțităș cele 40 de trasee, se polizează (pilește) „insula” și se montează soclul. Se va monta o baterie de 9 V bună și se verifică funcționarea aparatului de măsurat cu ajutorul unor rezistențe de precizie și al unor surse de tensiune precise. C.I. se poate obține mai ieftin din talcioc sau bazar. Impedanța de intrare a multimeterului este de 1 M Ω .





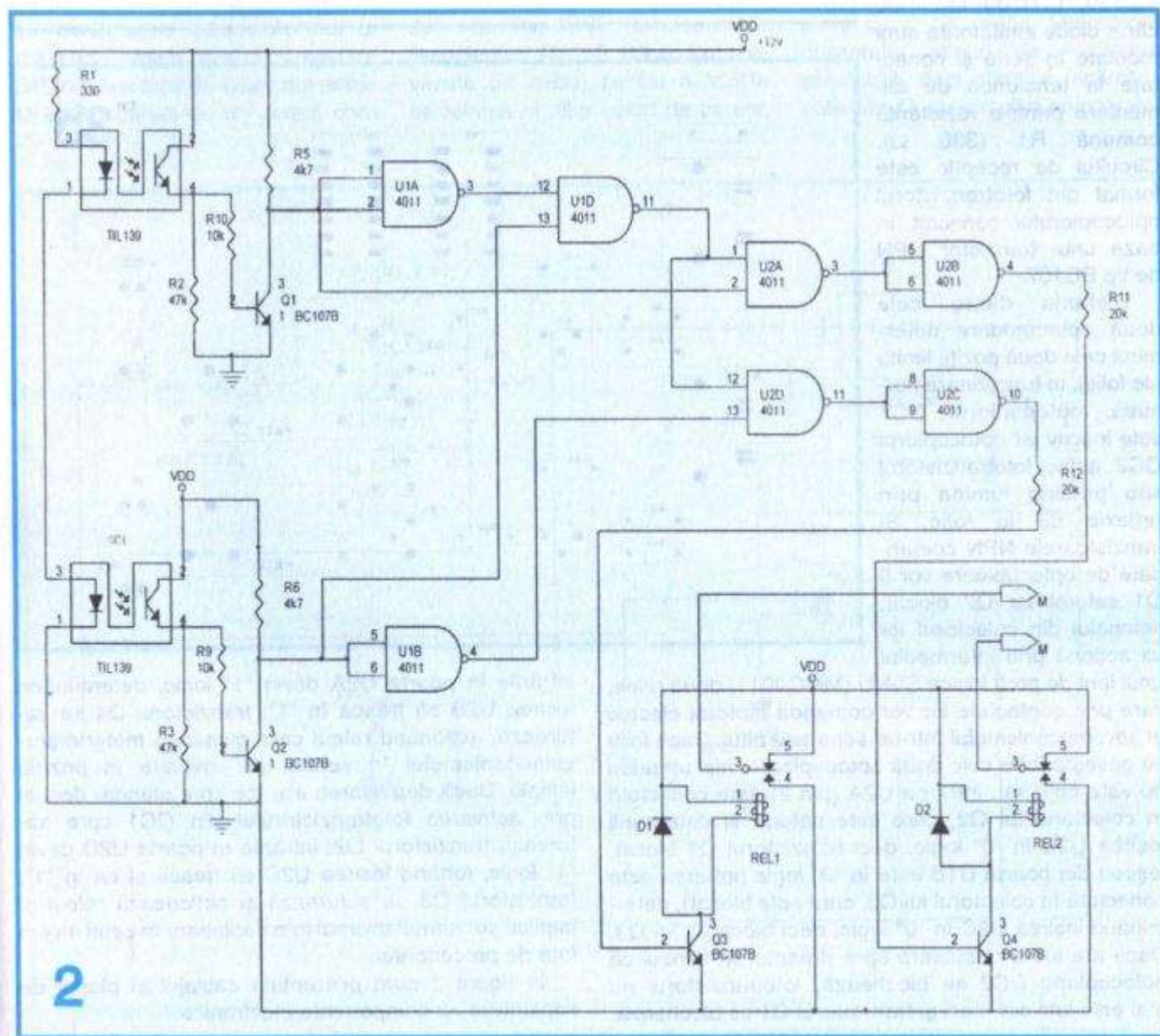
1 Posibilitățile de aplicare sunt numeroase, în general acolo unde comanda unui anumit organ de acționare sau de semnalizare poate fi obținută prin

SISTEM AUTOMAT de MENȚINERE A POZIȚIEI

Cornel ȘTEFĂNESCU

variația iluminării unui element fotosensibil. Sistemul îndeplinește funcția de menținere constantă a valorii uneia sau mai multor parametri ai unui proces tehnic.

Este suficientă apariția sau dispariția fasciculului luminos care cade asupra elementului fotosensibil pentru a comanda o acționare mecanică sau de altă natură. Montajul a fost utilizat la o mașină de ambalat, unde deplasarea foliei trebuie menținută între două



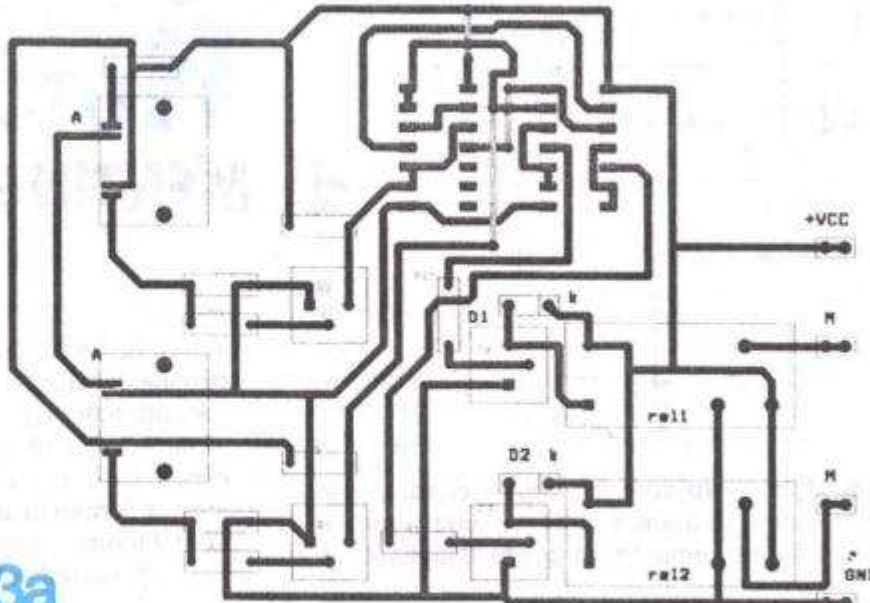
pozitii limită (fig. 1). Indiferent de aplicatie, sunt patru posibilitati de functionare:

- punerea în funcționare a circuitului comandat la apariția luminii;
- intreruperea funcționării circuitului comandat la apariția luminii;
- punerea în funcțiune a circuitului comandat la dispariția luminii;
- intreruperea funcționării circuitului comandat la dispariția luminii.

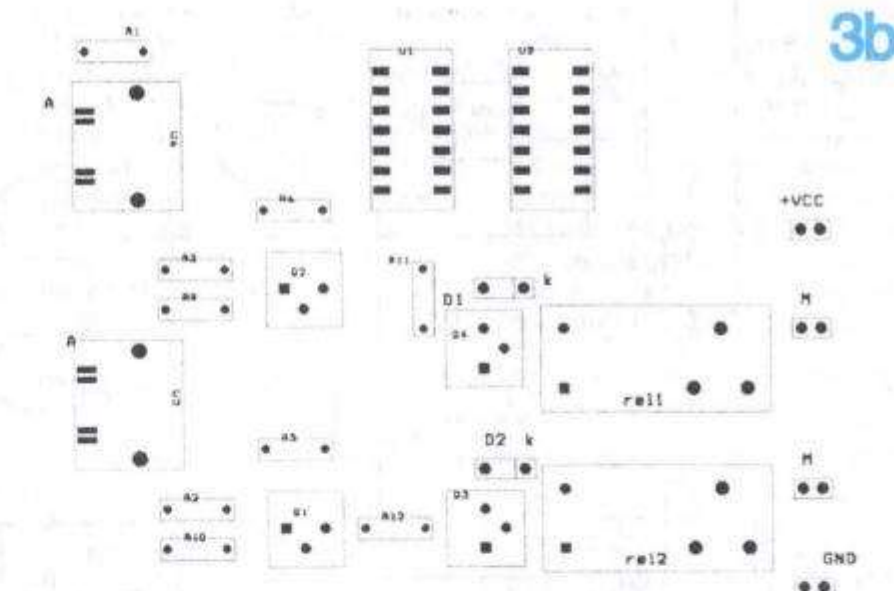
În schema electronică din figura 2 s-au utilizat două optocuploare de tip TIL139, LTH209 etc., ale căror diode emițătoare sunt montate în serie și conectate la tensiunea de alimentare printr-o rezistență comună R1 (330 Ω). Circuitul de recepție este format din fototranzistorul optocuplului conectat în baza unui tranzistor NPN de tip BC107.

Distanța dintre cele două optocuploare determină cele două poziții limite ale foliei. În funcționare normală, optocuplul OC1 este inactiv iar optocuplul OC2 activ, fototranzistorul său primind lumina prin reflexie de la folie. Si tranzistoarele NPN comandate de optocuploare vor fi Q1 saturat iar Q2 blocat, semnalul din colectorul lor va acționa prin intermediul unui lanț de porți logice řI-NU (MMC4011) două relee, care prin contactele lor vor comanda motorul electric al sevomecanismului într-un sens sau altul. Dacă folia se găsește între cele două optocuploare, nici un releu nu este acționat, intrarea U2A (pin 2) este conectată în colectorul lui Q2, care este saturat și determină ieșirea U2B în "0" logic, deci tranzistorul Q4 se satură, acționând releul care comandă motorul servomecanismului în sensul de revenire în poziția inițială. Dacă deplasarea are loc spre stânga, deci și prin activarea fototranzistorului din OC1 care satură tranzistorul Q2, intrările în poarta U2D devin "1" logic, fără ieșirea U2C să treacă și ea în "1", tranzistorul Q3 se satură și acționează releul și implicit servomecanismul la o deplasare în sens invers față de precedentul.

În figura 3 sunt prezentate cablajul și planul de implantare cu componente electronice.



3a



3b

*Acumulatoare***UTILIZARE – REGENERARE**

Cornel ȘTEFĂNESCU

Cele mai des utilizate acumulatoare sunt cele cu nichel-cadmiu (Ni-Cd), nichel și hidruri metalice (Ni-MH) sau cele cu litiu Li-Ion. Acumulatoarele Li-Ion au o mare densitate de energie, permit rate mari de descărcare, au autodescărcare mică, dar sunt foarte scumpe. Tensiunea nominală pe element este de 3,6 V.

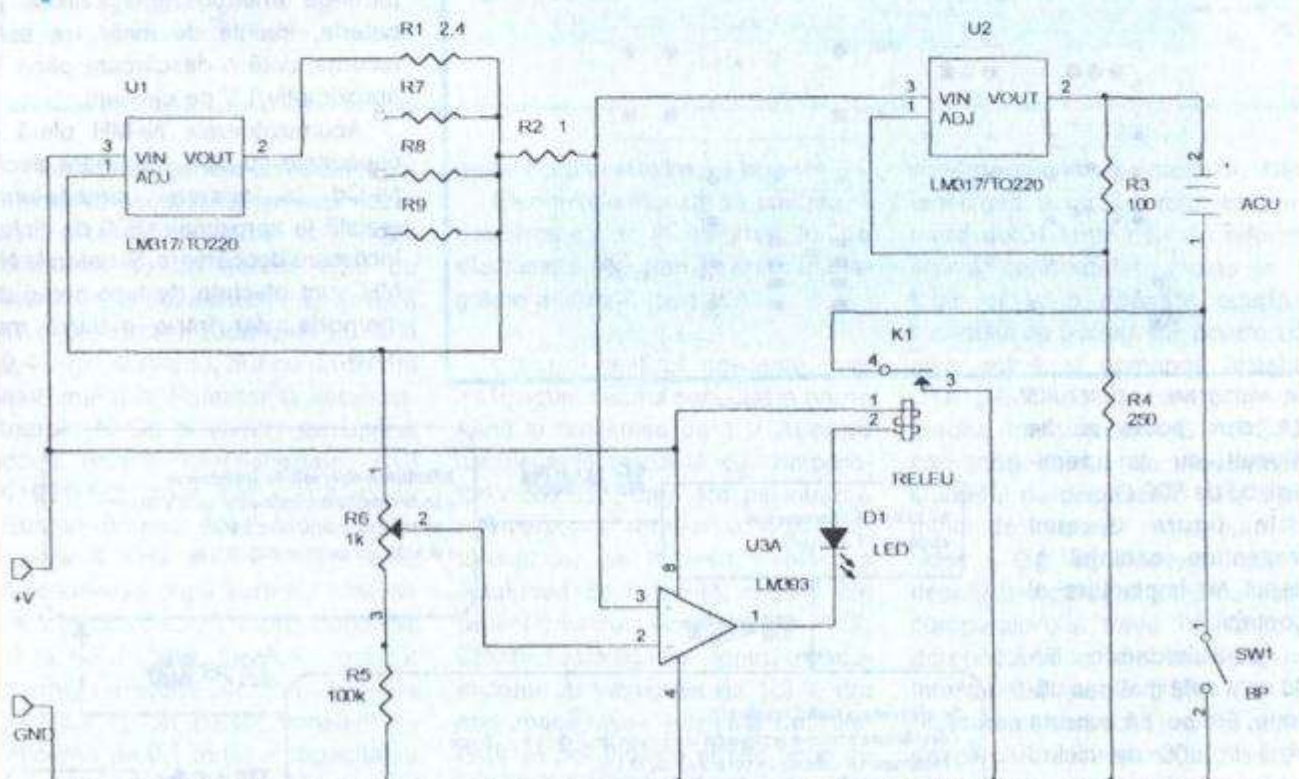
În figura 1 este prezentată o posibilă schemă electronică pentru încărcarea acestor acumulatoare. La conectarea acumulatorului și după apăsarea butonului cu revenire BP, în prima fază de încărcare aceasta este încărcat cu un curent con-

stant (vezi figura 2) determinat de U1 și R1, până ce tensiunea pe acumulator atinge valoarea de 4,2 V (pe element), după care urmează o încărcare cu tensiune constantă (U2); în această perioadă curentul prin acumulator este descrescător, iar la atingerea pragului minim încărcarea este opriță. Pragul minim este reglat la aproximativ 1/100C, unde C reprezintă capacitatea acumulatorului exprimată în mAh. Tipic este mai mic de 50 mA, depinzând de recomandările fabricantului. Rezistențele R7, R8, R9 au fost prevăzute pe cablaj pentru a facilita selectarea și altor valori de curent,

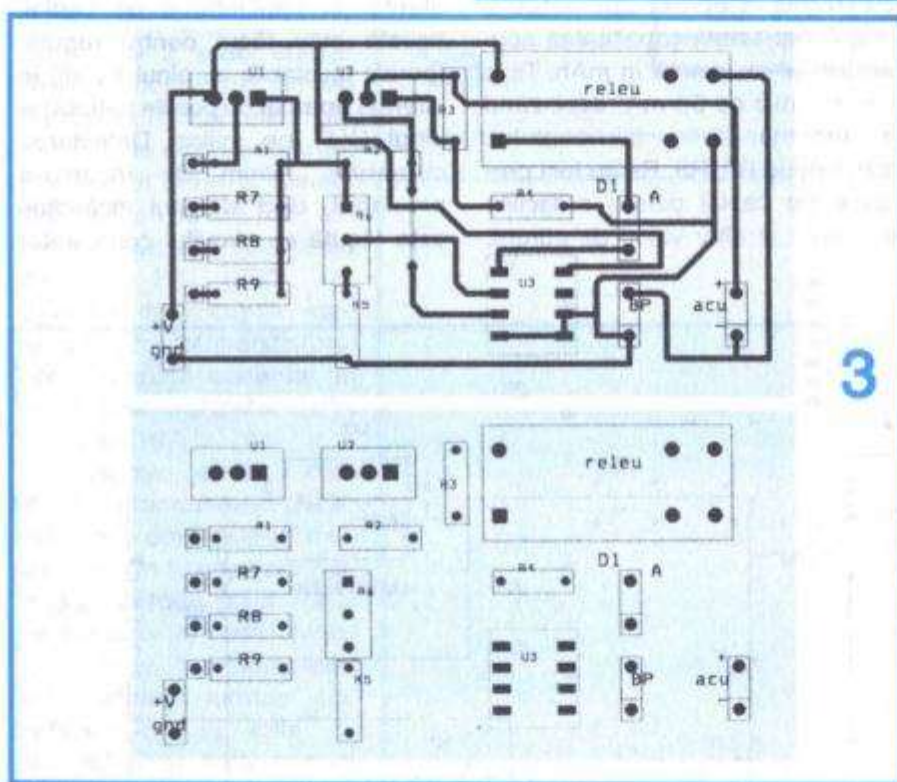
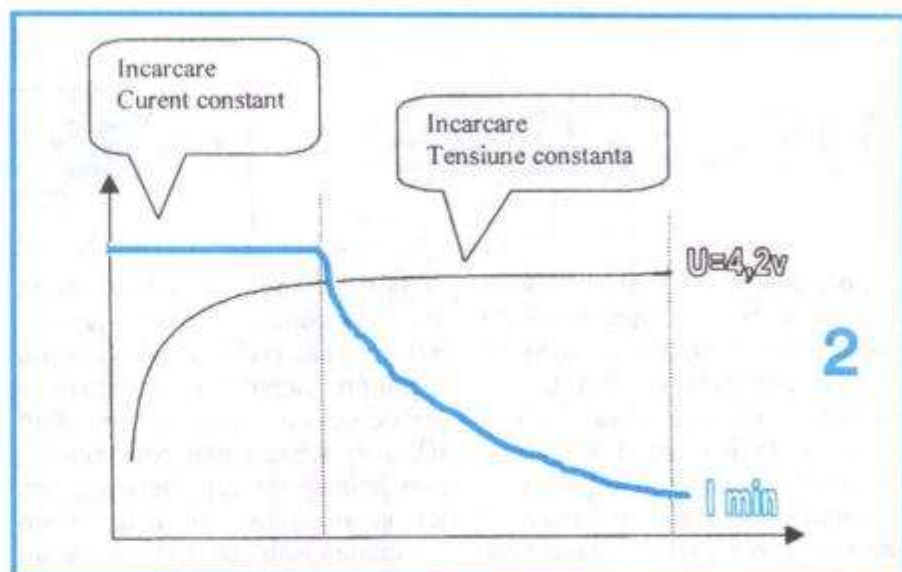
în funcție de necesități. Comutarea se realizează printr-un comutator scos pe panoul aparatului.

Valoarea curentului se determină cu formula $I = V_{ref} / R(7) \dots (9)$, unde V_{ref} este tensiunea regulatorului (1,25 V). Se pot utiliza și regulații cu tensiunea fixă (5 V), dar în acest caz puterea pe rezistență crește și atenție la implantarea pe cablaj, acesta este făcut pentru regulații ajustabile cu pinul 1 (adj) în laterală (marcat cu pastila pătrată) și pinul OUT pe mijloc. Detectarea curentului minim de încărcare prestabilit, deci sfârșitul încărcării, este făcută cu circuitul comparator

1



LM 393 și rezistențele aferente R2 = 1 Ω , R5 = 100 k Ω , R6 = potențiometru multiturnă = 1k Ω . Ieșirea comparatorului comandă un releu cu contacte normal deschise; bobina releeului este inserată cu o diodă LED D1, care luminează doar pe perioada de încărcare. Pentru reglaj se conectează o sarcină între punctul +acu și punctul gnd, prin care să circule curentul minim impus (de exemplu, 30 mA), se regleză R6 urmărind dioda LED: dacă era aprinsă, trebuie să o stingem, iar dacă este stinsă, mai întâi se aprinde și apoi se stinge. Tensiunea de ieșire +4,2 V depinde



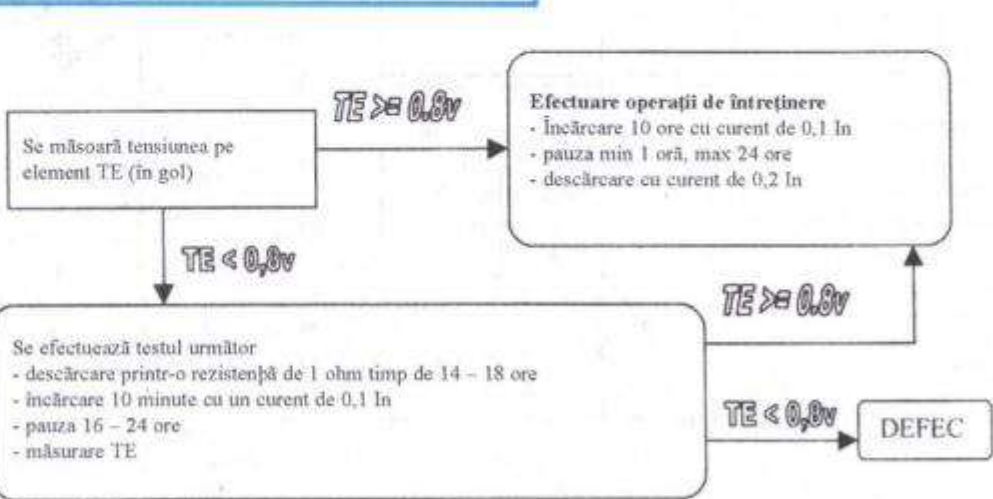
de valoarea rezistorului R4, care poate să fie înlocuit cu un semireglabil de 500 Ω .

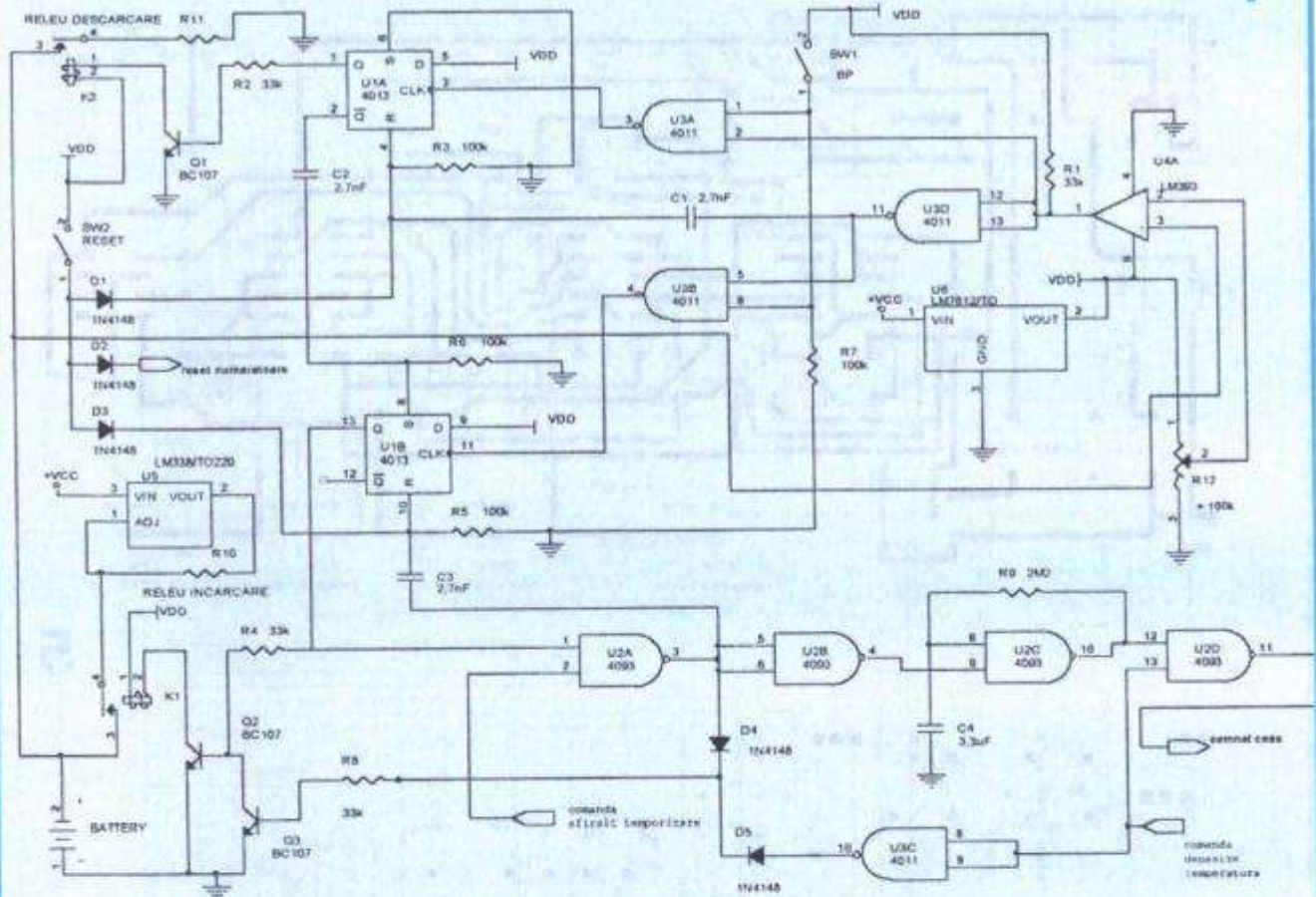
În figura 3 sunt prezentate cablajul și planul de implantare al montajului.

Acumulatoarele Ni-Cd sunt cele mai des utilizate. Ele pot să suporte până la 500 de cicluri încărcare/descărcare, dar sunt afectate adesea de fenomenul denumit impropriu de "memorie",

care determină scăderea progresivă a capacitatei aparente. Acest efect este de fapt o modificare în structura cristalină a electrozilor și apare cel mai adesea când acumulatorul este supraîncărcat timp îndelungat cu curent mic. Secretul pentru a reduce efectul de memorie constă în descărcarea completă a bateriei înainte de încărcare. Deoarece majoritatea aplicațiilor nu utilizează întreaga energie înmagazinată în baterie, înainte de încărcare este recomandată o descărcare până la aproximativ 1 V pe element.

Acumulatoarele Ni-MH oferă o capacitate cu 35% mai mare decât Ni-Cd la aceeași dimensiune, rezistă la aproximativ 600 de cicluri încărcare/descărcare. și baterile Ni-MH sunt afectate de fenomenul de memorie, dar într-o măsură mai mică.





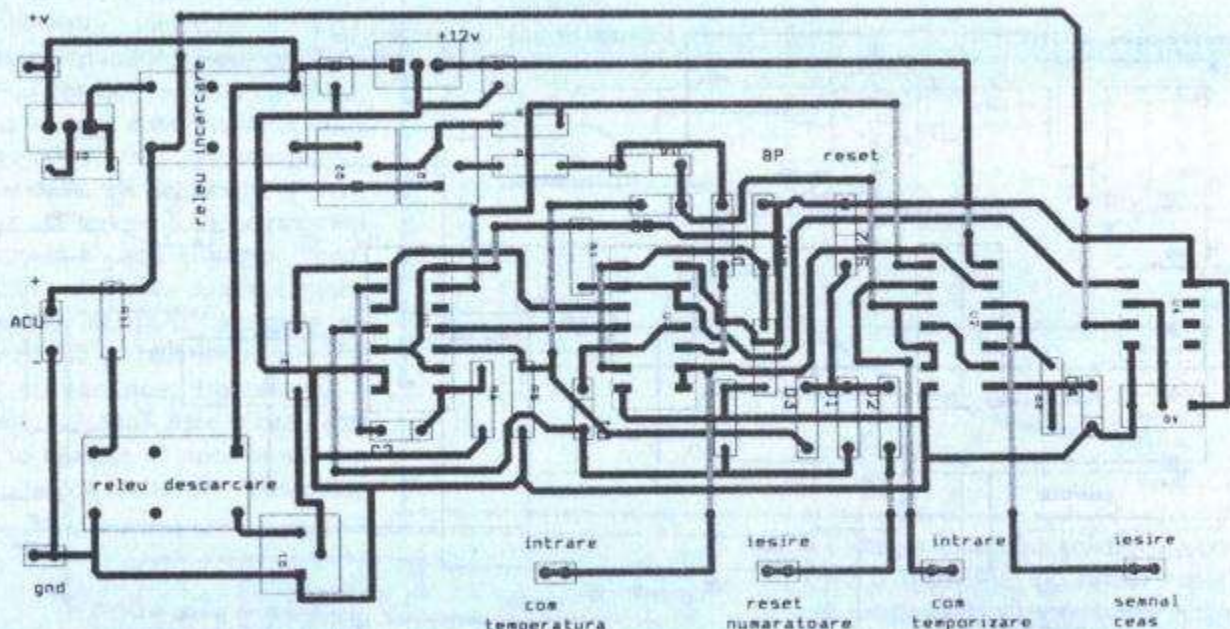
Pentru a regenera un acumulator afectat de acest fenomen este necesară o descărcare până la 1 V (pe element) cu un curent egal cu capacitatea acumulatorului, urmată de o descărcare secundară până la 0,4 V (pe element), dar cu un curent mult mai mic. Referitor la acumulatoroarele Ni-Cd și Ni-MH au apărut două norme internaționale, CEI 61951-1/2, care se aplică și în Europa din anul 2002. Montajul din figura 4 este un încărcător care funcționează după normele utilizate de fabricantul SAFT, foarte cunoscut și la noi în țară. Conform acestor norme, un acumulator trebuie să fie încărcat cu un curent constant cu valoarea de 0,1 In (In = capacitatea acumulatorului) timp de 16 ore, elementul fiind în prealabil descărcat cu un curent de 0,2 In până la tensiunea de 1 V, ținut în repaus mini-

mum 1 oră și maximul 4 ore.

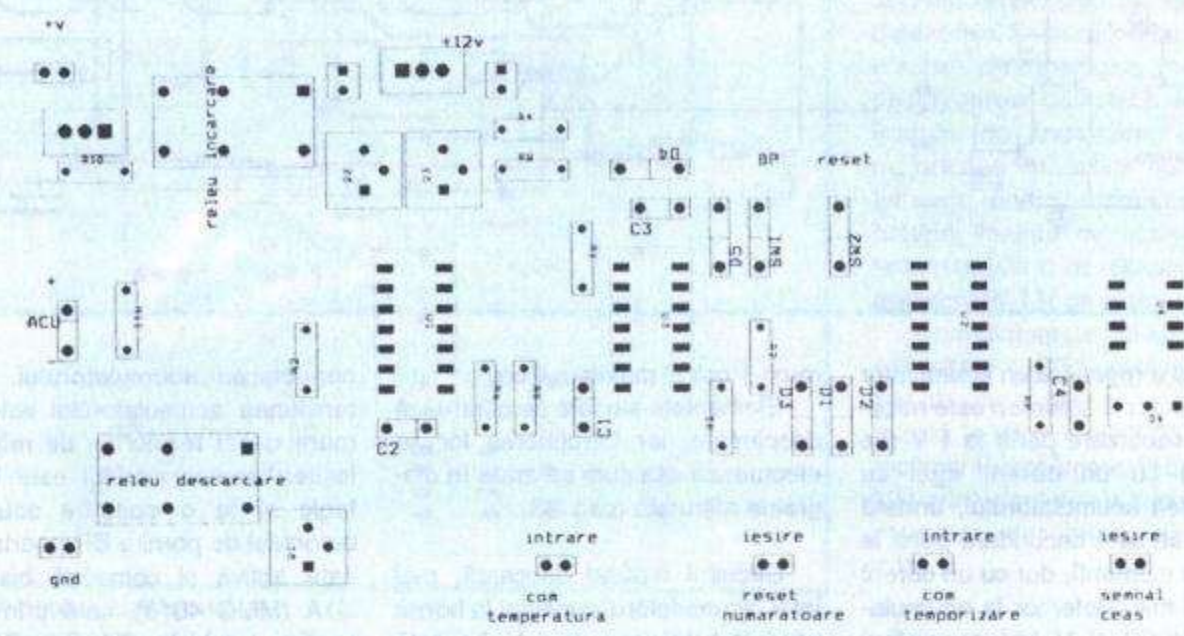
Elementele stocate se păstrează descărcate, iar întreținerea lor se efectuează aşa cum se arată în diagrama alăturată (pag. 33).

Circuitul realizat descarcă, mai întâi, acumulatorul conectat la borne până la tensiunea de 1 V. Această funcție este realizată cu comparatorul LM 393, care are pe intrarea neinvitătoare tensiunea acumulatorului, iar pe intrarea inversoare tensiunea de referință, reglată din potențiometrul semireglabil R12. Circuitul este descris pentru un acumulator cu tensiunea de 1,2 V, dar prin modificarea tensiunii de referință se pot încărca și alte tipuri cu tensiuni de 3,6V, 4,8V, 6V, 9V, 12V. După conectarea tensiunii de alimentare se recomandă apăsarea butonului de RESET și apoi

conectarea acumulatorului. Dacă tensiunea acumulatorului este mai mare decât tensiunea de referință, ieșirea comparatorului este în "1" logic și la o apăsare scurtă a butonului de pornire BP, poarta U3A este activă și comandă bistabilul U1A (MMC 4013), care prin intermediul tranzistorului Q1 (BC107) comandă **releul de descărcare**. Curentul de descărcare este determinat de valoarea rezistorului R11 (Ides = 0,2 In). Această stare de descărcare durează până ce ieșirea comparatorului trece în "0" logic, determinând în acel moment, prin intermediul porții U3D, C1, R3 resetarea bistabilului U1A și oprirea descărcării. ieșirea negată a bistabilului U1A, prin intermediul condensatorului C2 și rezistorului R6, determină setarea bistabilului U1B, care comandă **releul de încărcare**.



5

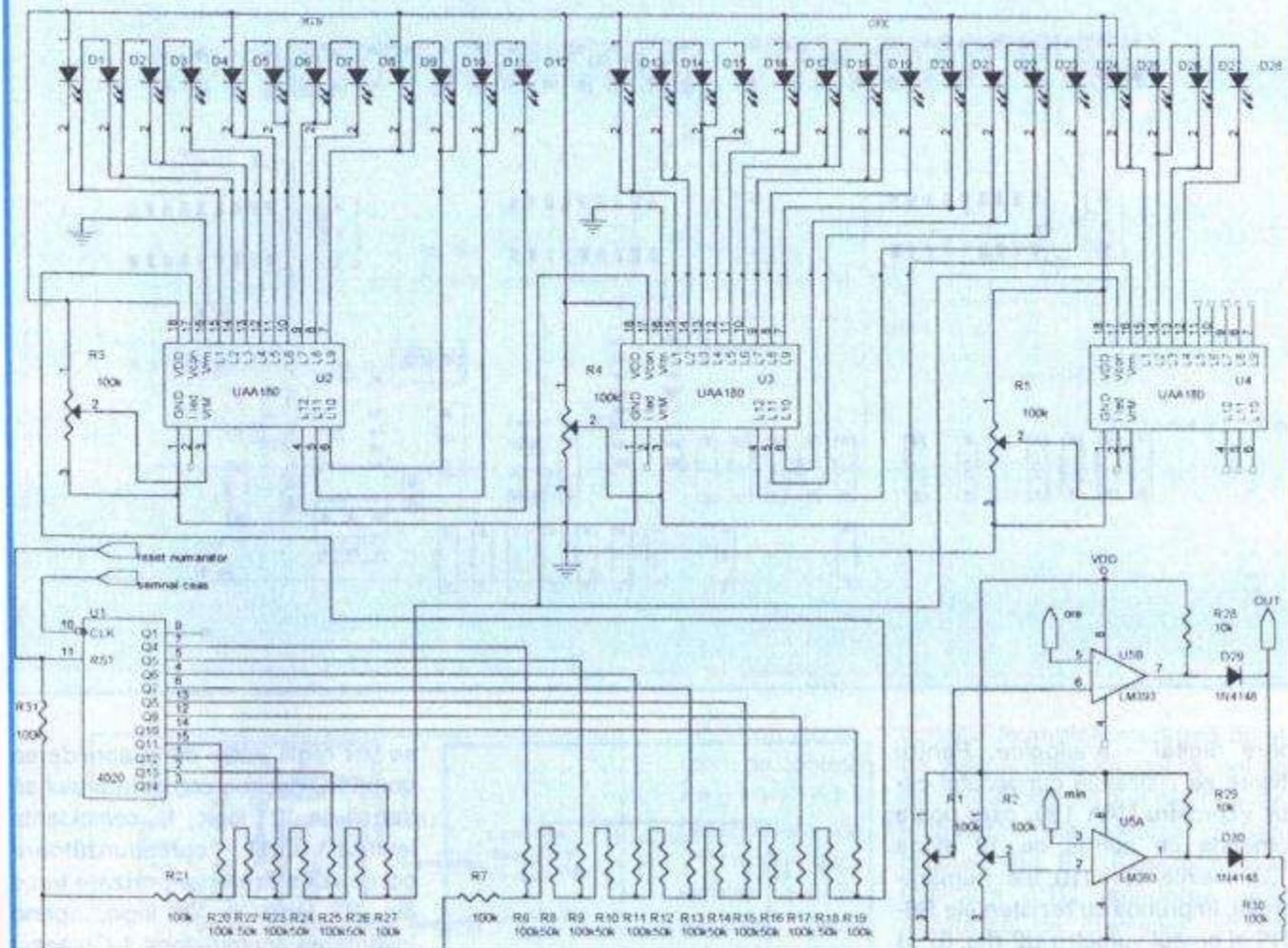


Durata încărcării este determinată de poziția comutatoarelor din temporizator. După scurgerea timpului programat de încărcare, ieșirea din poarta U2A trece în "1" logic și determină resetul bistabilului U1B (prin C3 și R5), blocând încărcarea acumulatorului, dar și a semnalului de ceas pentru temporizator. Curentul de încărcare este constant și cu valoarea determinată de cir-

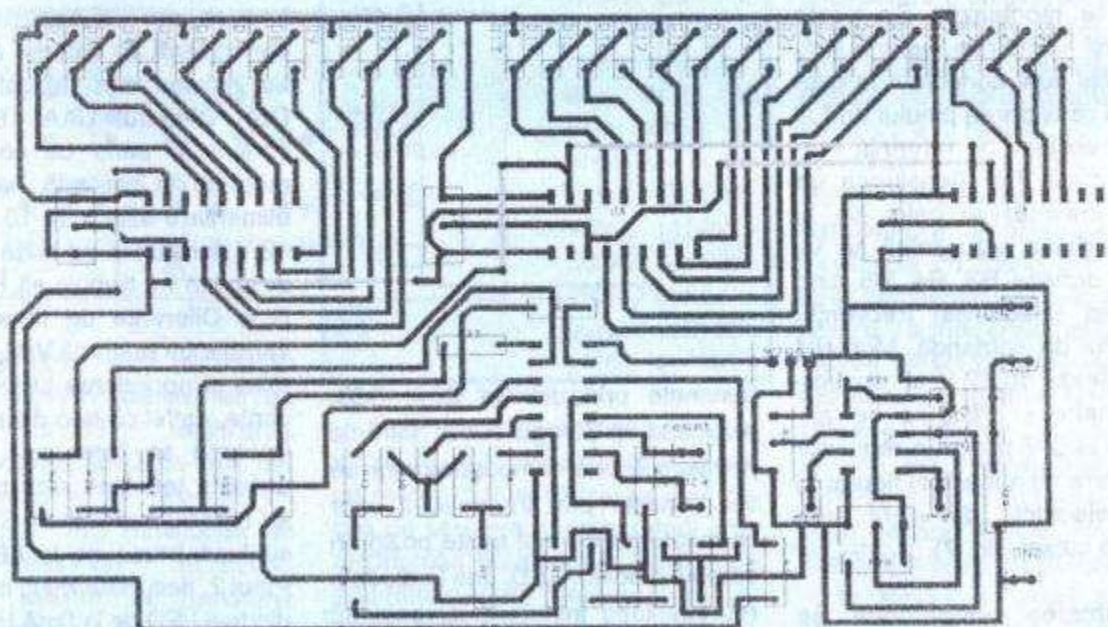
cuitul integrat U5 (LM 338) și rezistorul R10, $I_{lnc} = V_{ref} / R_{10}$. Trebuie să se țină cont de faptul că tot curentul de încărcare trece prin această rezistență, deci dacă se utilizează regula latoare de tensiune fixă, de exemplu 5V, la un curent de 1 A rezultă o putere de minimum 5 W pentru rezistență. Pentru diverse valori de curent, R10 se înlocuiește cu mai multe rezistoare conectate la un

comutator cu mai multe poziții. În figura 5 sunt prezentate cablajul și planul de implantare.

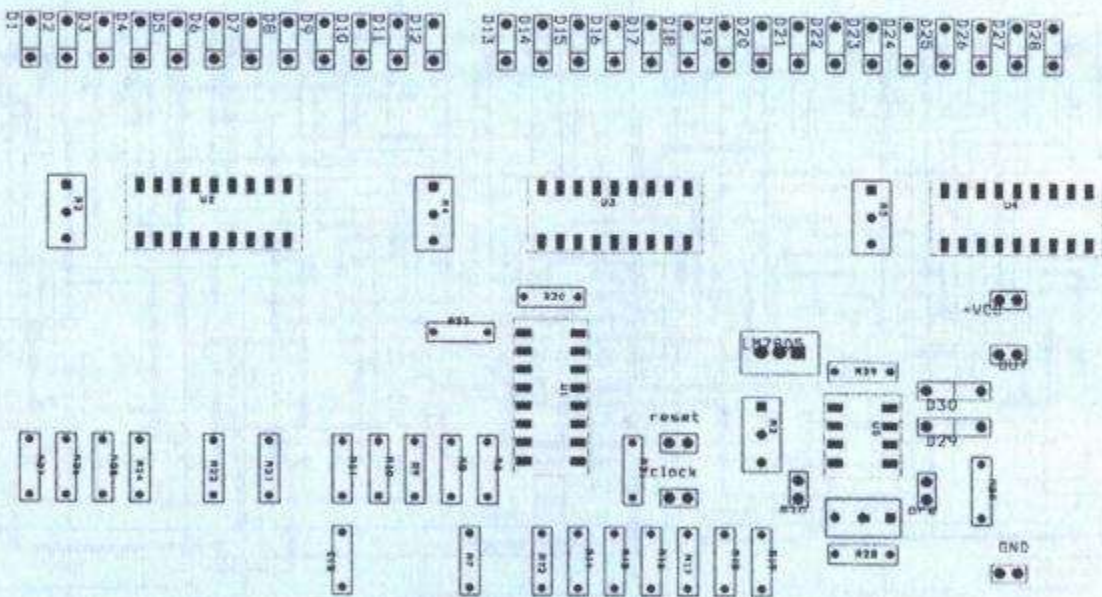
Temporizatorul are la bază un oscillator realizat cu o poartă $\overline{S_1}$ - \overline{NU} trigger Schmitt (U2C) din circuitul MMC 4093 (fig. 4) și un numărător binar asincron de 14 biți (fig. 6), care împreună cu două rețele rezitive R-2R formează două conver-



6



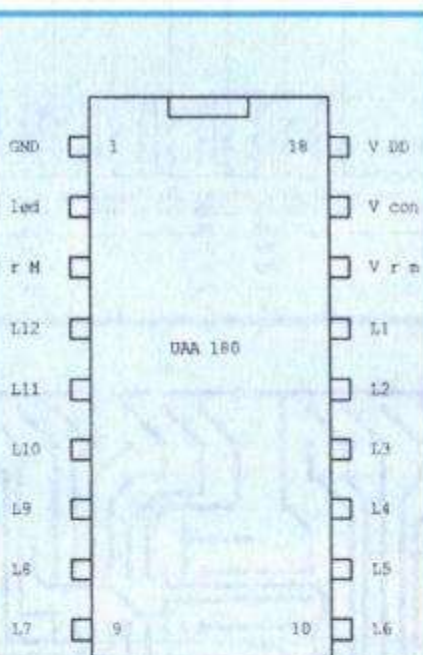
7



7

toare digital - analogice. Pentru afişare se utilizează cunoscutul circuit VU-metru UAA 180, care poate comanda un număr de 12 diode LED. Ieşirile Q4-Q10 ale numărătorului, împreună cu rezistențele R6-R19 și primul vumetru U2 (fig. 6) va indica o oră din 5 în 5 minute, iar ieşirile Q11-Q14, rezistențele R20-R27 și celelalte două vumetre vor indica 15 ore din oră în oră (dioda D28 nu se montează). Se poate observa că vumetrele pentru indicarea orelor sunt conectate în cascadă, prin conectarea pinului VrM al primului (tensiunii de referință maximă) la pinul Vrm (tensiunea de referință minimă) al celui de al doilea. Reglarea vizualizării se va realiza în ordinea R3, R4, R5, prin modificarea (creșterea) frecvenței oscillatorului de comandă. Montajul se alimentează cu 12 V, iar convertorul numeric - analogic se alimentează la 5 V prin un regulator LM7805 care nu a mai fost figurat în schema electrică, dar care este prezent pe cablaj (fig. 7).

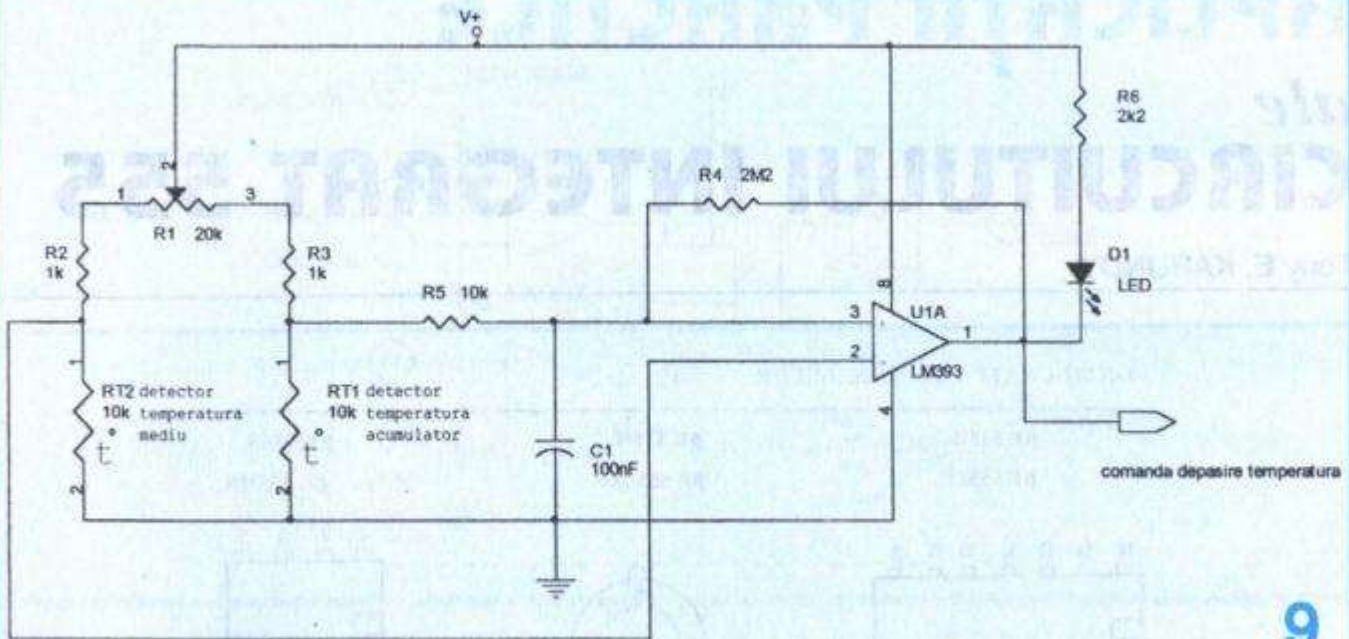
Programarea temporizării se realizează cu cele două comparațoare LM393; ieşirile acestora sunt



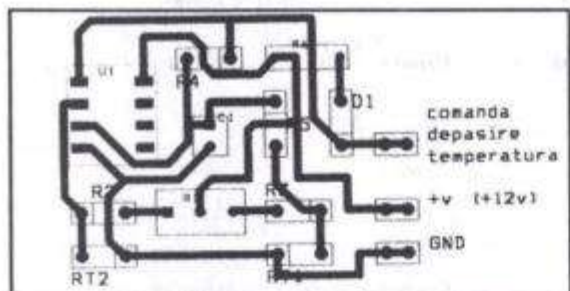
8

însumate prin diodele D29, D30, rezultând un řî logic cablat. Intrările neinvocate ale comparațoarelor se vor conecta prin intermediul unor comutatoare cu mai multe poziții în catodul diodelor LED, una la diodele reprezentând minutele, iar cealaltă la catozii reprezentând orele. Rezistențele semireglabile R1, R2

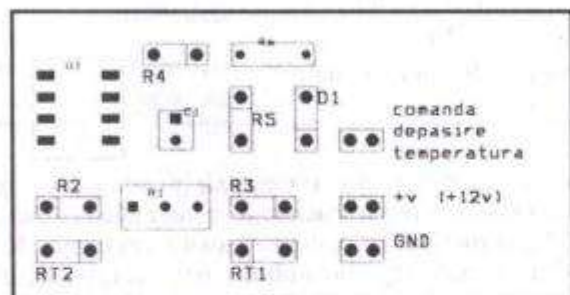
se vor regla astfel ca la aprinderea unui LED, ieșirea comparatorului să treacă în "0" logic, la coincidența ieșirea OUT corespunzătoare comenzi sfârșit temporizare trece din "1" logic în "0" logic, oprind încărcarea acumulatorului. Cu acest temporizator se poate programa un timp de minimum 5 minute și maximum 16 ore, cu pas de 5 minute (de exemplu, 12 ore și 15 minute - intrarea ore a comparatorului se conectează în catodul diodei D24, iar intrarea min în catodul diodei D3). Circuitul UAA 180 (fig. 8) conține o serie de comparație montate în cascadă, tensiunea de alimentare este între 10 V și maxim 18 V, tensiunea pe orice intrare față de masă nu trebuie să depășească 6 V. Diferența de tensiune dintre intrările de referință VrM, Vrm determină și aprinderea LED-urilor adiacente, astfel că la o diferență de 1V trecerea se face lent, iar cu cât această tensiune este mai mare = 4V (dar nu mai mult de 6V), trecerea se face brusc de la LED la LED. Pinul 2, Iled, determină curentul prin diodele LED de la 0mA la 10mA prin adăugarea unui divizor rezistiv; dacă este lăsat în aer (cazul nostru),



9



10



Curentul prin diode este maxim 10 mA. Pinul 16, V_{rm} (tensiunea de referință minimă) reprezintă potențialul minim, acela pe care circuitul îl consideră ca referință de bază. Pinul 3, V_{rM} (tensiunea de referință maximă) reprezintă potențialul maxim de tensiune raportat la cel de referință, dar nu mai mult de 6 V (față de masă). Pinul

riguroasă a acestora.

Pentru încărcările rapide, în timp scurt, cu un curent de valoare mare, se recomandă și utilizarea unui circuit de sesizare a temperaturii acumulatorului. Se stie că la majoritatea acumulatorilor, temperatura lor crește când sunt încărcate la maxim și o supraîncărcare în aceste

condiții determină scurtarea duratei de viață a acestora, dar se pot produce și accidente prin explozia lor și eliminarea electrolitului. Schema propusă (fig. 9) utilizează două termistoare NTC (scăderea valorii rezistenței cu creșterea temperaturii), cu valoarea de 10 kΩ la 25°C și un comparator LM393. Termistoarele sunt fixate pe două plăcuțe separate de aluminiu (5 cm x 5 cm), unul pentru mediul ambient, celălalt în contact căt mai bun cu acumulatorul. Legăturile cu temistorul se vor realiza cu cablu ecranat. Pentru vizualizare și reglare este necesară conectarea unei diode LED la ieșirea comparatorului. Senzorul de temperatură al acumulatorului se încălzește cu mâna, iar din rezistorul semireglabil R1 se va actiona pentru aprinderea diodei LED. Ieșirea detectorului de temperatură (comanda depășire temperatură) comandă oprirea temporizatorului, dar și a curentului de încărcare până la revenirea la temperatura normală, când se pornește automat temporizatorul și circuitul de încărcare.

În figura 10 sunt prezentate cablajul și planul de implementare cu componente.

APLICAȚII PRACTICE

ale

CIRCUITULUI INTEGRAT 555

Tony E. KARUNDY

CONFIGURAȚIA TERMINALELOR

BE 555E

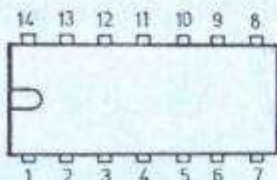
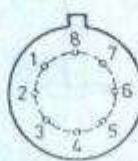
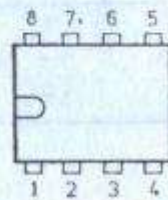
BE 555ME

BE 555H

BE 555 MH

BE 555N

BE 555MN

capsula TO 116
vedere de suscapsula TO 99
vedere de suscapsula MP 48
vedere de susTO 116 TO 99
MP 48

Denumirea în limba română

4	1	Masă
5	2	Prag jos (PJ)
6	3	Iesire (O)
7	4	Aducere la zero (ALO)
8	5	Control (C)
9	6	Prag sus (PS)
10	7	Deschidere (DESC)
11	8	Alimentare (V^+)

Denumirea în limba engleză

Ground (GND)
Trigger
Output
Reset
Control voltage
Threshold
Discharge
Vcc

Notă: Terminatele 1, 2, 3, 12, 13, 14 ale capsulei TO 116 sunt neconectate

1

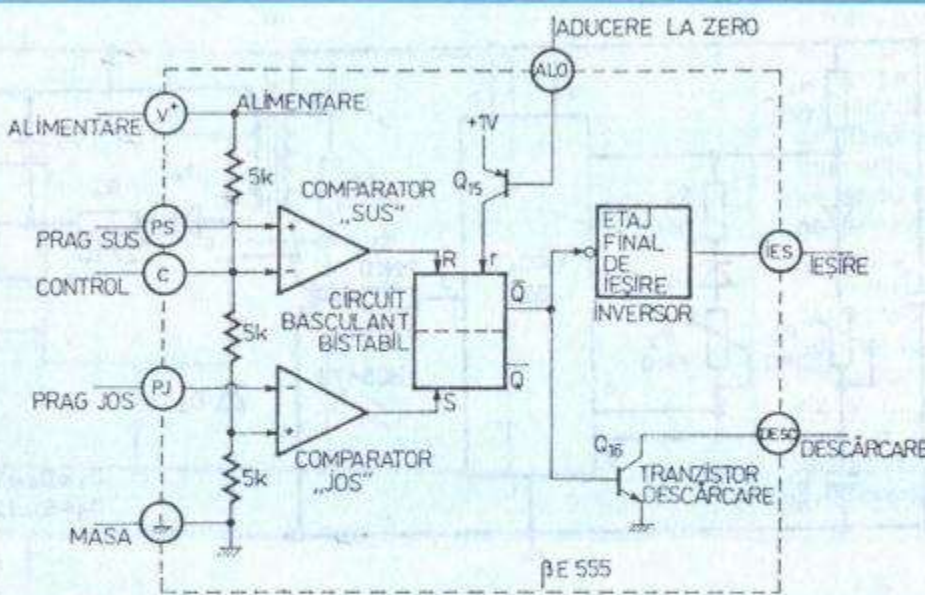
Circuitul integrat liniar 555 este foarte răspândit în lume, fiind fabricat de multe firme (BE555 - BĂNEASA S.A., LM 555 - National Semiconductor, NE555 - Signetics, MBLE, Philips, μA 555 - Fairchild, MC 1455 - Motorola, SN 72555 - Texas Instruments, TDB 0555 - Siemens etc.) și folosit în multe aplicații. Multe dintre aceste aplicații au fost publicate și în revista TEHNIUM de-a lungul anilor, dar destul de puține din moment ce cititorii revistei... mai vor!

Multele aplicatii la care CI-555 se pretează se datorează schemei lui interne, fericit concepută. Fizic, circuitul 555 se prezintă în 3 capsule diferite (figura 1). Recomandăm cititorilor noștri care vor dori să experimenteze vreo schemă cu 555 să planteze în montaj un soclu pentru TO 116, în care vor putea introduce, cu îndemânarea respectivă, atât CI în capsula MP 48, cât și în TO 99. Înainte de a trece mai departe, atragem

attenția constructorilor amatori să nu se lase amăgiți de vreun circuit integrat rusesc al căruia indicativ începe cu K 555, urmat de două litere rusești și un număr. Nu este vorba de 555 care ne trebuie, eventual, nouă, ci este vorba de o întreagă clasă de circuite de tip TTL cu putere redusă (LS - LOW Schottky).

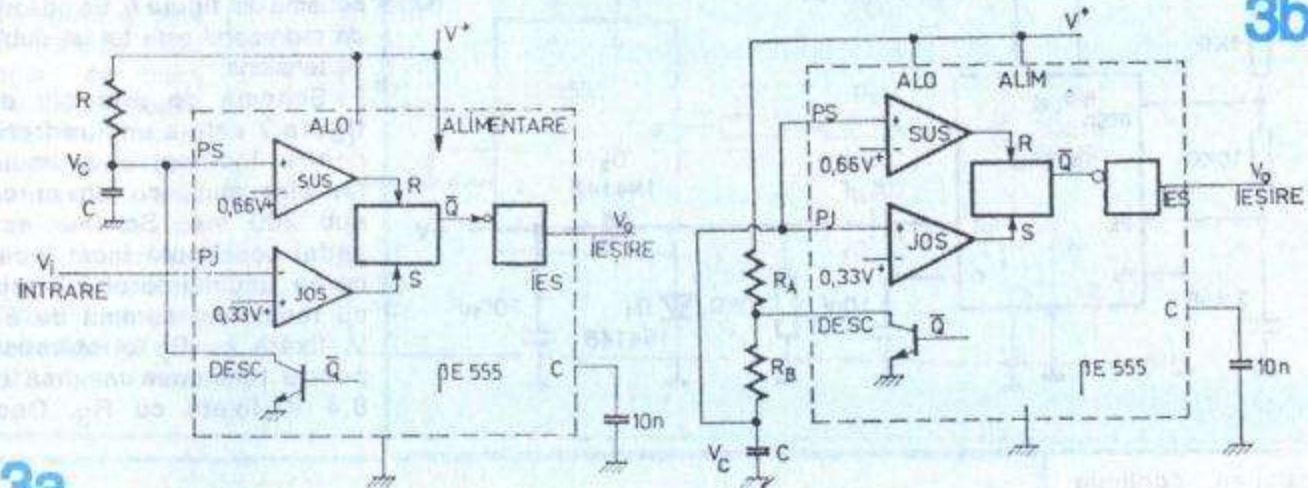
În figura 2 este prezentată schema bloc internă a CI-555, pe care nu o comentăm. În figura 3 a și b se dau cele două scheme de montaj de bază în aplicațiile cu CI-555: a - circuit monostabil și b - circuit astabil (multivibrator).

În schemele de principiu ale diverselor aplicații, CI-555 apare, deci, fie în funcția de monostabil (funcția de bază - "timer"), fie în funcția de multivibrator. Acestea sunt cele două funcții convenționale ale circuitului, deși există - mult mai puține - și aplicații neconvenționale (în numărul 4/2003 al revistei noastre, CI-555 este prezen-



2

3b



3a

4

tat într-o schemă de AAF). Vom trata, în cadrul unui serial de articole, aplicațiile CI-555 (fără a fi exhaustivi) în felul următor:

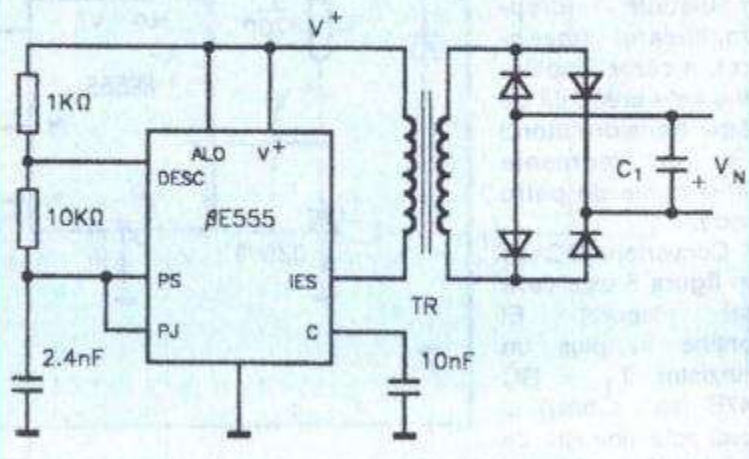
- aplicații cu CI-555 ca oscilator;
- aplicații cu CI-555 ca monostabil;
- aplicații complexe (mai multe CI-555 în schemă, sau în combinație cu tranzistoare sau alte circuite integrate).

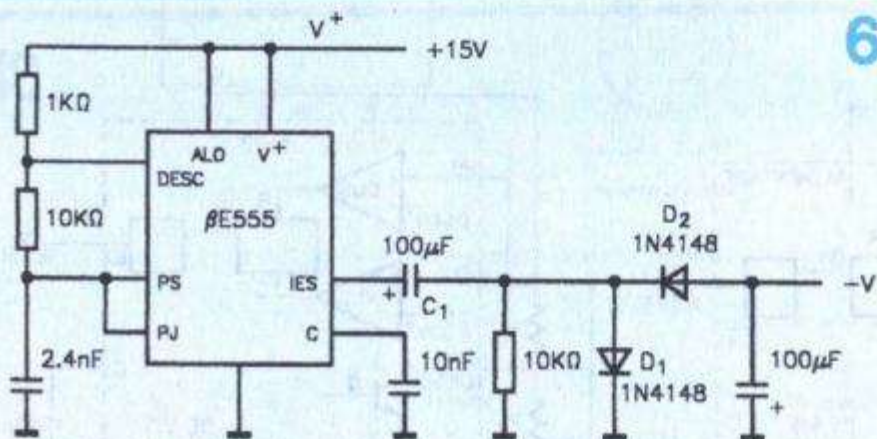
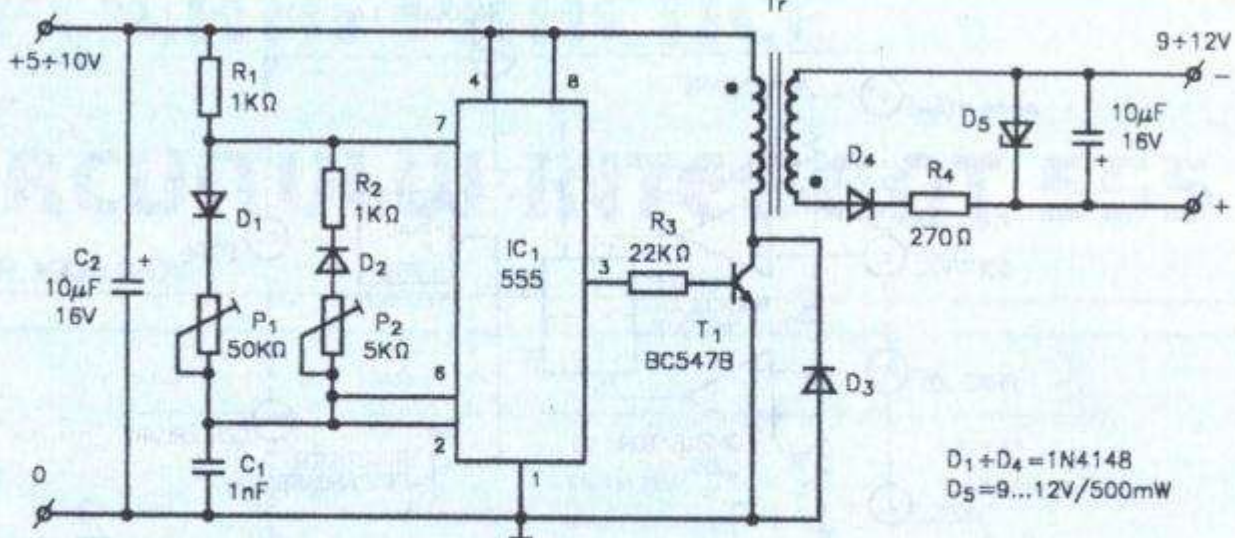
Domeniile de utilizare a aplicațiilor sunt variate: montaje hobby de divertisment, mici automatizări în gospodărie, electronică auto etc.

În schemele de principiu descrise, terminalele CI-555 sunt notate fie cu semnificația lor în limba română, în conformitate cu figura 2, fie cu cifre de la 1 la 8, în conformitate cu capsula DIL-8 ("Dual in Line" cu 8 contacte) a CI - NE 555 N.

Scheme de alimentare

În figura 4 se prezintă schema unui convertor de tensiune DC/DC, care transformă



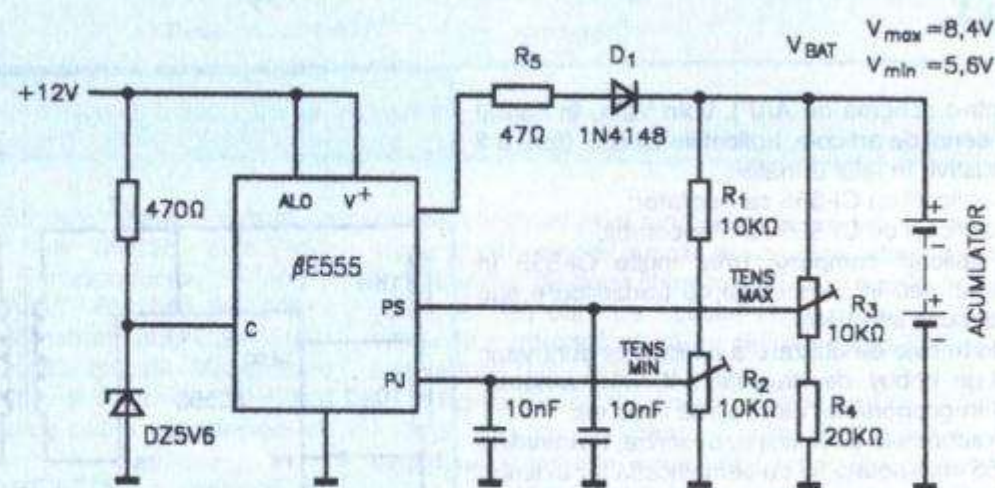


tensiunea continuă mică (V^+) într-o tensiune continuă la ieșire mare (V_M). Cl-555 este folosit ca multivibrator. Impulsurile dreptunghiulare (meandre), a căror amplitudine este crescută de către transformatorul TR, sunt redresate într-o punte de patru diode.

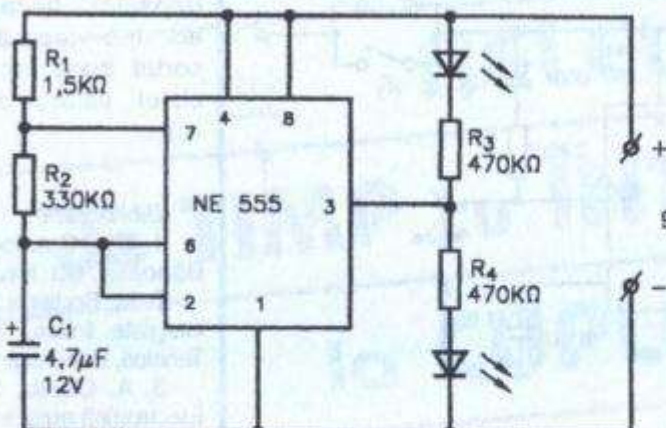
Converterul DC/DC din figura 5 este ceva mai elaborat. El conține în plus un tranzistor $T_1 = BC\ 547B$ (sau similar) și două potențioame de reglaj al nivelului tensiunii la ieșirea redresorului dublor. Pentru a crea o tensiune negativă (V^-) dintr-o tensi-

une pozitivă (V^+), se poate folosi schema din figura 6. Se observă că redresorul este tot un dublu de tensiune.

Schema de principiu din figura 7 este a unui redresor pentru încărcarea acumulatorelor mici, cu un curent sub 200 mA. Schema este astfel concepută încât încărcarea acumulatorului începe cu tensiunea minimă de 5,6 V, fixată cu R_2 și sfârșește pentru tensiunea maximă de 8,4 V, fixată cu R_3 . Dacă



vrem un curent mai mare de încărcare a acumulatorului se poate intercală un tranzistor repetor.

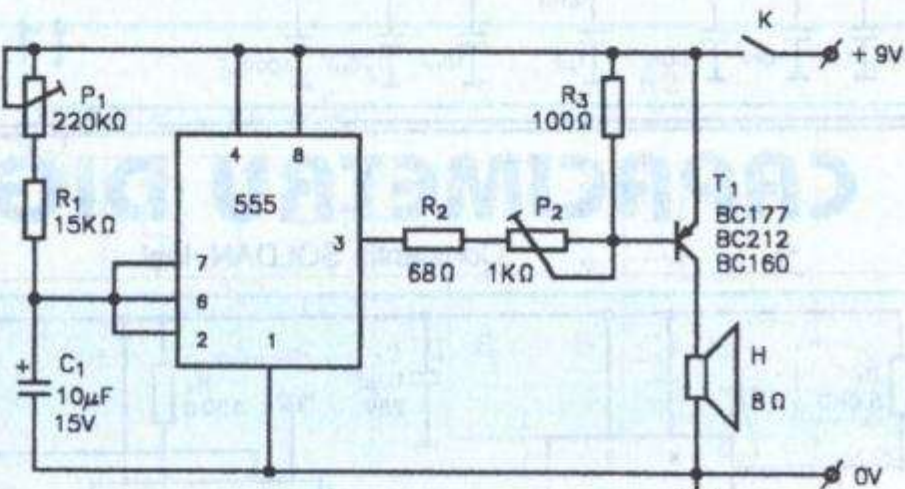


8

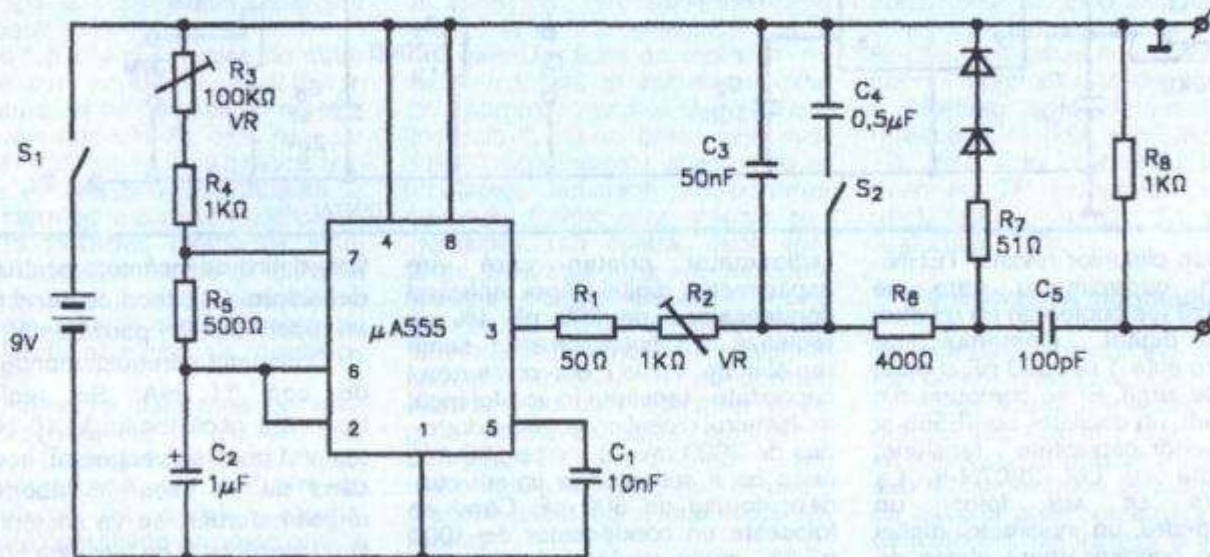
Generatoare de impulsuri de laborator

În figura 8 este datea schema unui "clipper" cu două diode LED (colorate diferit), care ar putea fi folosit pentru controlul tensiunii unei surse continue (de exemplu, acumulatorul unui autoturism).

Schema de principiu din figura 9 este a unui metronom



9

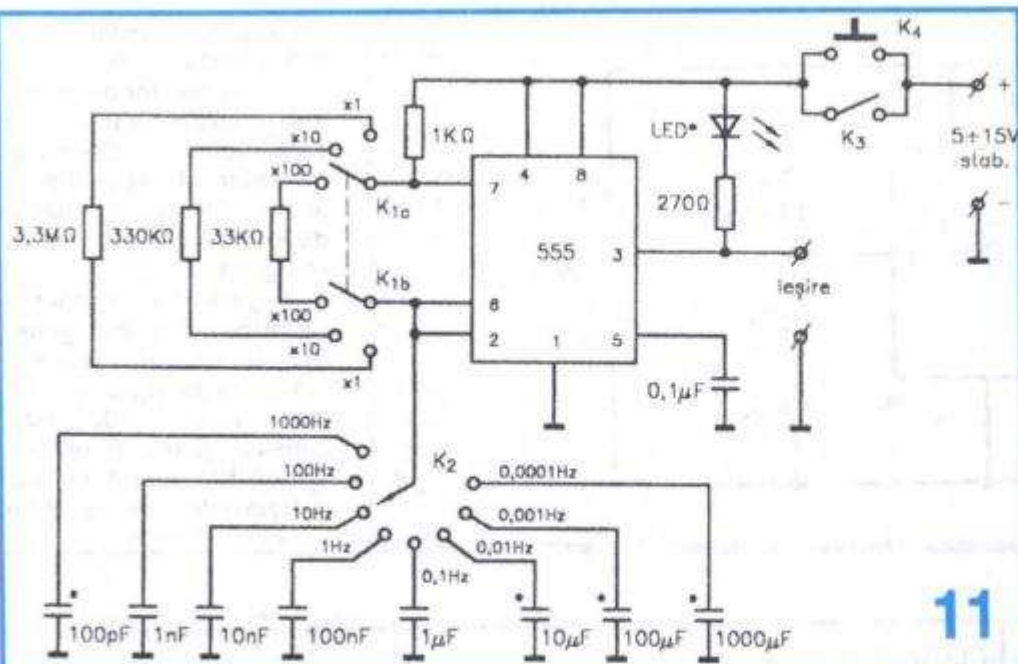


10

acustic. Ritmul redat are 40 la 210 "bătăi" pe minut.

Un generator de impulsiuni înguste negative, cu amplitudine de 400 mV și frecvență de repetiție în jur de 10 kHz, are schema de principiu reprezentată în figura 10.

Figura 11 este schema de principiu a unui generator de frecvențe joase și foarte joase ($f_{min} = 10^{-4}$ Hz și $f_{max} = 1000$ Hz), care ar putea fi util ca aparat de laborator. Cele 8 frecvențe fixe se obțin



11

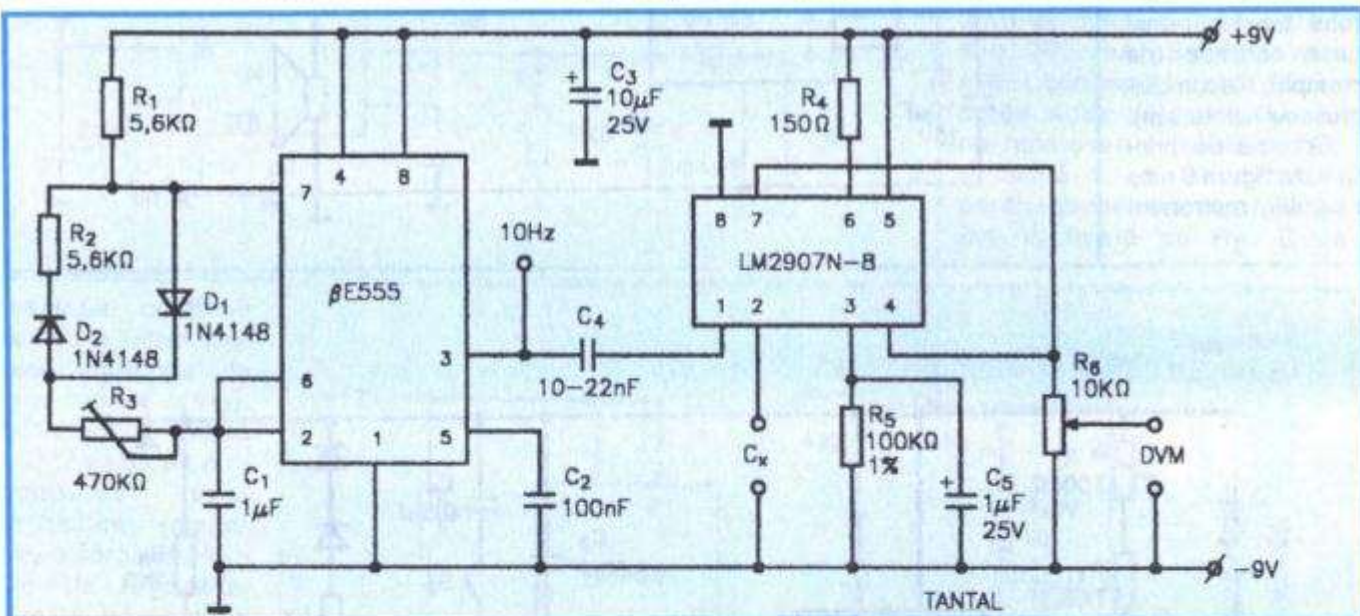
prin comutarea unui condensator, fiecare dintre acestea necesitând a fi sortat după criteriul preciziei valorii capacității sale.

Bibliografie

1. *** Catalog I.P.R.S. Bâneasa, C.I. liniare, 1988
2. M. Bodea s.a., Circuite integrate liniare, vol. 3, Ed. Tehnică, București 1984
3. A. Ciontu, St. Iancu, Electronică auto, ediția a 2-a, Ed. Teora, București, 2000
4. R.F. Graf, The Encyclopedia of Electronic Circuits, 1985
5. *** Contemporary Electronic Circuits Deskbook

CAPACIMETRU DIGITAL

Constantin SOLDAN, Iași



Propun cititorilor revistei TEHNİUM un capacimetru care se adaptează (se cuplează) cu un multimetru digital. Domeniul de măsurare este $1\text{nF} \pm 500\text{nF}$, o plajă destul de largă. El se compune din două părți: un oscilator cu β E555 și un convertor capacitate - tensiune, și anume cu LM 2907N-8. La etalonare se vor folosi un frecvențmetru, un multimetru digital și câteva condensatoare etalon de 1nF 1%, 500nF 1%. Dacă nu se posedă aşa ceva, se selectează condensatoare din zestrea vreunui

radioamator prieten care are capacimetru digital. Apoi aplicând condensatorul de 500nF 1% se reglează din potențometrul semi-reglabil de $10\text{k}\Omega$ din convertorul capacitate - tensiune în aşa fel încât multimetrul digital comutat pe domeniul de 2000mV să indice 500mV , ceea ce îi corespunde valorii condensatorului de 500nF . Când se folosește un condensator de 1000pF 1%, multimetrul trebuie să indice 1mV . Se poate verifica și cu alte valori de condensatoare. Prin folosirea celor două diode se realizează un

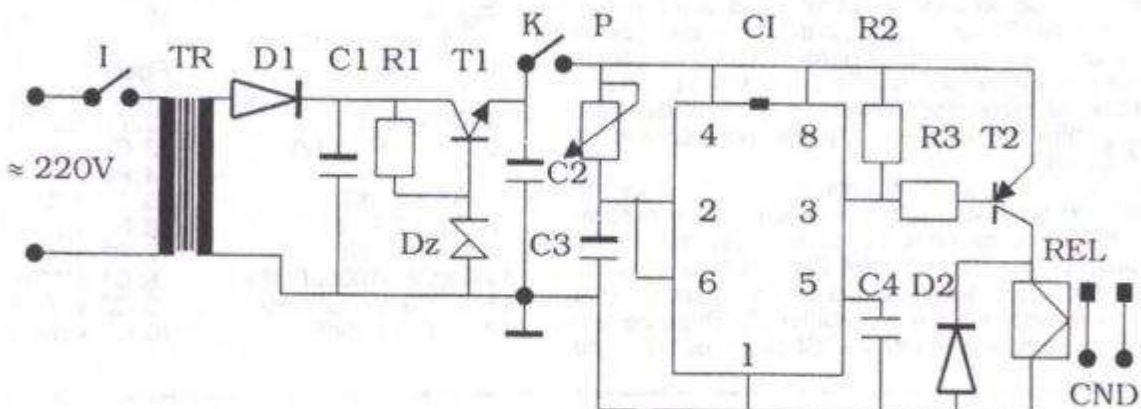
temp definit de incărcare pentru condensatorul C_1 , ceea ce conduce la un raport impuls / pauză de 50%.

Consumul întregului montaj este de cca 11mA . Se reglează frecvența oscillatorului la 10Hz cu ajutorul unui frecvențmetru. În cazul când se va folosi în laboratorul radioamatorului, se va alimenta de la un stabilizator de tensiune bine filtrat. Cablajul îl va face fiecare după dorință sa și după gabaritul pieselor pe care le deține.

RELEU

de TIMP cu ÎNTÂRZIERE la CUPLARE

Pagini realizate de prof. ing. Sorin PISCATI



1

Releul de timp cu întârziere la cuplare își găsește numeroase aplicații în practică. Dintre acestea vom da numai câteva exemple unde prezența unui astfel de releu cu întârziere la cuplare este neapărat necesară:

- la tuburile electronice de mare putere, care se folosesc și astăzi în aparatura de emisie sau în amplificatoarele audio HI-FI, este necesar ca mai întâi să se încalzească filamentele și numai după aceea să fie alimentate cu tensiunea anodică;

- în industrie, motoarele asincrone de putere medie și mare se pornesc inițial în stă. După câteva secunde, atunci când acestea au atins turata nominală, se comută pe triunghi;

- motoarele asincrone cu rotor bobinat necesită și ele scurtcircuitarea treptată (în trei-patru trepte) și temporizată a rezistențelor reostatului din circuitul rotoric. Această operațiune se poate realiza și manual, dar este indicată utilizarea releeelor de temporizare cu întârziere la cuplare;

- în domeniul motoarelor Diesel care sunt prevăzute cu bujii incandescente pentru uscarea porningilor la temperaturi scăzute, astfel de relee cu temporizare la cuplare sunt de asemenea necesare. Încălzirea (electrică) a bujilor incandescente din galerile acestor motoare nu poate fi lăsată la latitudinea celui care porneste motorul. Dacă acesta tine sub tensiune prea puțin timp bujile incandescente, acestea nu se încalzesc suficient și pornirea motorului termic este greoie sau imposibilă. Din contră, dacă sunt ținute prea mult timp sub tensiune, acestea se supraîncalzesc și în cele mai multe cazuri se defectează. Este cazul conducerilor auto, în special. Aceștia, în majoritatea cazurilor, nu sunt mecanici și au prea puțină pregătire tehnică în domeniul electrotehnic sau mecanic. De altfel, nici nu li se poate pretinde acest lucru, fiind simpli utilizatori.

Schema electrică a unui astfel de montaj este prezentată în figura 1. În principal, ea se compune dintr-un

circuit basculant monostabil, realizat cu circuitul integrat βE 555 și piezile pasive aferente.

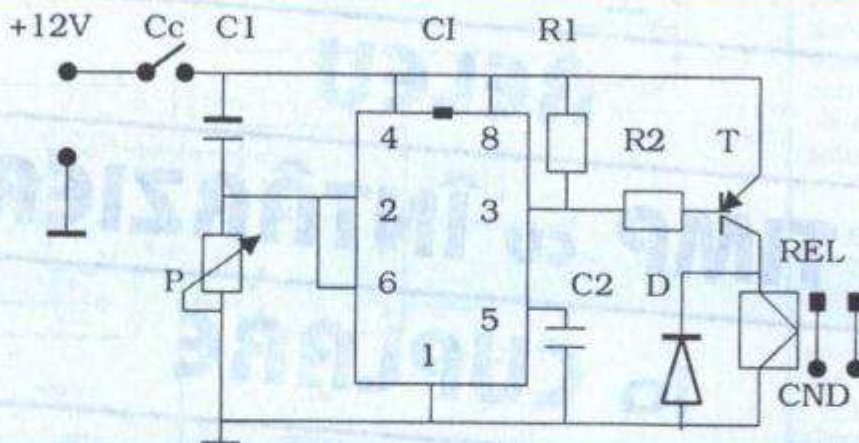
Circuitul basculant comandă circuitul final de putere realizat cu tranzistorul T2, în colectorul căruia este conectat releul electromagnetic REL (se vor utiliza numai contactele normal deschise CND—figura 1).

Montajul este alimentat de la rețeaua electrică monofazată de 220 Vc.a. prin intermediul transformatorului TR (cotorator de tensiune), redresorului D1; C1 și stabilizatorului T1; Dz.

Funcționarea montajului

Inchizând comutatorul K, etajul monostabil și cel final sunt puse sub tensiune. Ieșirea 3 a circuitului integrat βE 555 este în 1 logic, cu toate că pinii 4 și 8 ai integratului sunt puși sub tensiune. După timpul prescris, cu ajutorul potențiometrului P, condensatorul C se încarcă și ieșirea 3 a integratului βE 555 basculează în zero logic, deschizând tranzistorul T2, care antrenează releul final

2



REL. Releul final REL o dată acționat, închide contactele normal deschise CND.

În concluzie, de la închiderea contactului K și până la închiderea contactului CND trece un timp "t" care depinde de valoarea condensatorului C și a rezistenței potențiometrului P. Acest timp poate avea valori de la câteva fracțiuni de secundă și până la 10-15 minute, în funcție de aplicația respectivă. Pentru mărirea plajei timpului reglat se recomandă utilizarea unui condensator cu tantă pentru capacitatea C și a unui potențiometru P de bună calitate.

Montajul prezentat în figura 2 este tipic pentru motoarele cu aprindere prin compresie de pe autovehicule. La închiderea cheii de contact Cc, releul REL este activat și închide contactul CND, normal deschis. Acest contact pune sub tensiune bujile incandescente din galeria de aspirație a motorului termic. După perioada de timp prescrisă, contactul CND se desface, cu

toate că Cc rămâne închis. În felul acesta bujile incandescente sunt scoase de sub tensiune.

Lista de piese

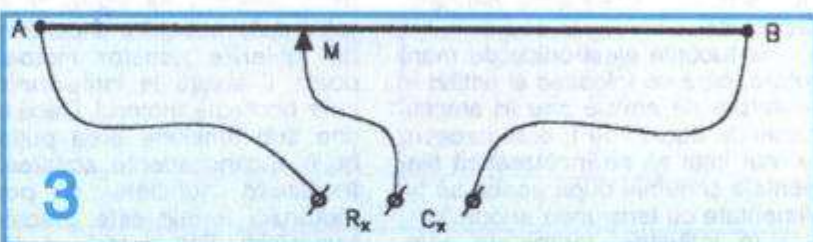
Figura 1	13. Dz → PL12Z
1. D1; D2 → 1N4007	Figura 2
2. T1 → BD137	1. D → 1N4007
3. T2 → BD136	2. T → BD136
4. CI → βE55	3. CI → βE555
5. REL → RI13/12V	4. REL → RI13/12V
6. P → 100kΩ	5. P → 100kΩ
7. R1 → 470Ω	6. R1 → 2,7kΩ
8. R2 → 2,7kΩ	7. R2 → 510Ω
9. R3 → 510Ω	8. C1 → 47μF/25V
10. C1; C2 → 1000μF/35V	9. C2 → 10nF
11. C3 → 47μF/25V	10. Cc → cheie contact
12. C4 → 10nF	

ETALONAREA PUNȚILOR de MĂSURĂ RLC

(Urmare din pag. 26)

Acste rezistențe, combinate câte două și conectate una la bornele Rx și cealaltă la bornele Cx, determină un raport de o anumită valoare care, la echilibrarea punții, semnifică o anumită diviziune (gradație) pe scala potențiometrului P.

De exemplu, cu numai patru rezistențe fixe având valorile de 1000, 2000, 8000 și 10000 de ohmi, se obțin rezultatele din tabelul alăturat.



Valoarea rezistenței (ohmi) la:		
Rx	Cx	Gradația
1000	10000	0,1
2000	10000	0,2
2000	8000	0,25
1000+2000	10000	0,3
1000+2000	8000	0,375
1000	2000	0,5
8000	10000	0,8
8000+1000	10000	0,9
10000	8000+2000	1

10000	8000+1000	1,11
10000	8000	1,25
10000+2000	8000	1,5
2000	1000	2
	8000	2,67
	2000	4
	2000	5
	2000	5,5
	1000	8
	1000	10

Se poate observa că utilizând rezistențe fixe, nu se mai obțin diviziuni egale la etalonare.

Reul de timp a cărui schemă electrică de principiu este prezentată în figura 1 comandă funcționarea motorului M și a rezistenței de încălzire R dintr-un uscător. Sunt multe situații (de exemplu, săli de operații, grupuri sanitare publice etc.) în care nu este indicată stergerea măinilor după spălare. În astfel de cazuri se utilizează aparatul electric comandat de temporizatoare similare celui prezentat în figura 1. Imediat după spălare se apasă butonul de pornire BP. Ca urmare, motorul electric M și rezistența R sunt puse sub tensiune. Curentul de aer generat de un ventilator antrenat de motorul M trece peste rezistența

care funcționează în regim de circuit blocant monostabil. Perioada de temporizare (funcționare a motorului M și a rezistenței termice R) se poate regla cu ajutorul potențiometrului SP. Semnalul de la ieșirea 3 a integratorului βE555 atacă prin rezistență R3 poarta triacului TR. Acesta se deschide și pună sub tensiunea rețelei motorul M și rezistența de încălzire a curentului de aer, R. Cu elementele passive indicate în figura 1, durata temporizării poate fi reglată între 3 și 45 secunde. Această perioadă de timp este optimă pentru uscarea măinilor. De menționat că apăsând butonul de pornire BP, motorul M nu

APLICAȚII PRACTICE

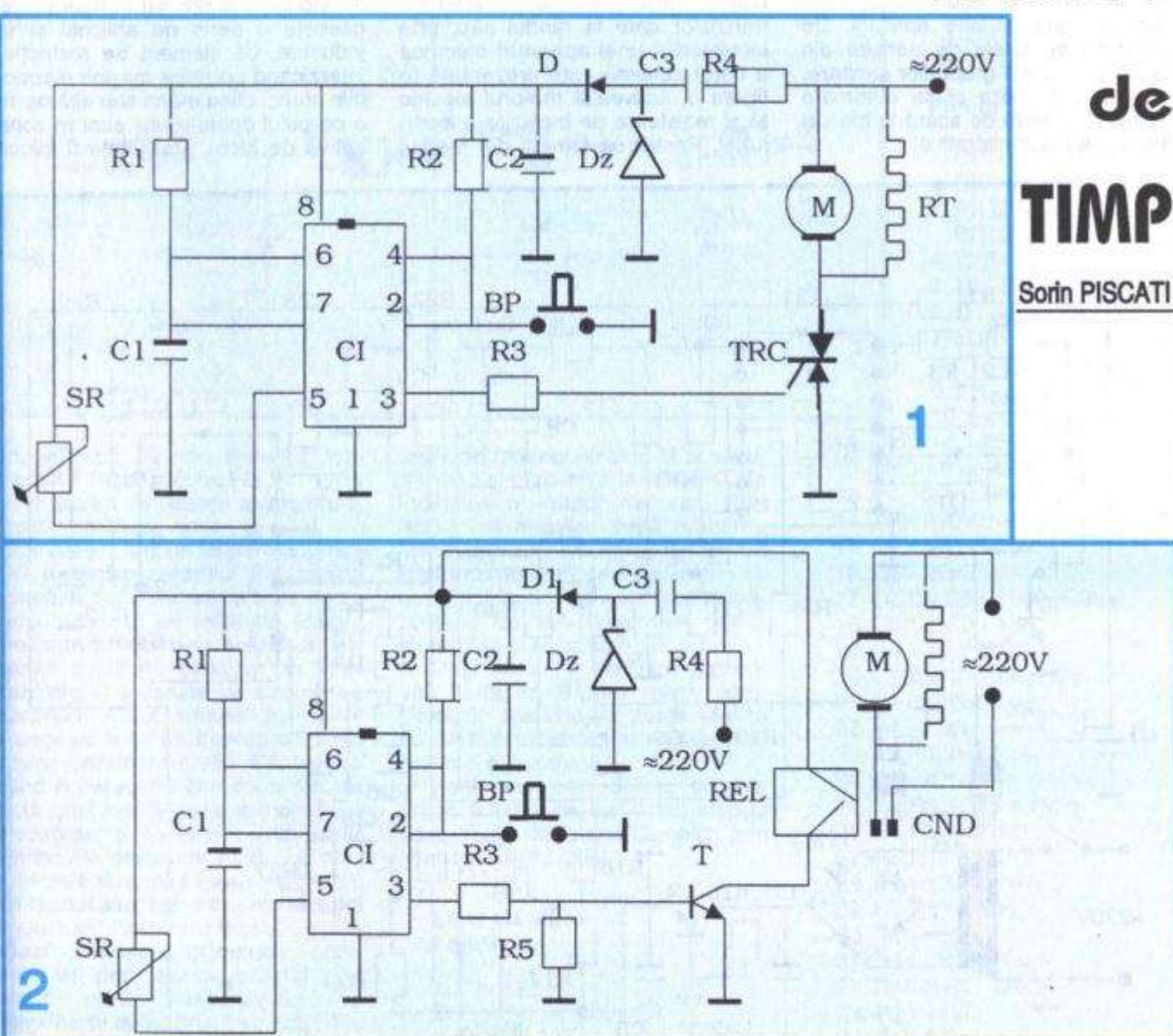
CU

RELEEE

de

TIMP

Sorin PISCATI



R care îl încălzește. Tinând măinile ude în acest curent de aer cald, în câteva minute excesul de umedeală dispără.

În principiu, releul de întârziere este constituit din integratorul βE555,

pornește. Acesta intră în funcționare numai după eliberarea butonului BP. S-a ales această soluție pentru ca temporizatorul să asigure aceeași durată de funcționare a motorului M, indiferent de timpul cât a fost apăsat

butonul BP.

O variantă a schemei electrice din figura 1 este dată în figura 2. La acest montaj, triacul TRC din figura 1 a fost înlocuit cu releul electromagnetic REL. Instalația de

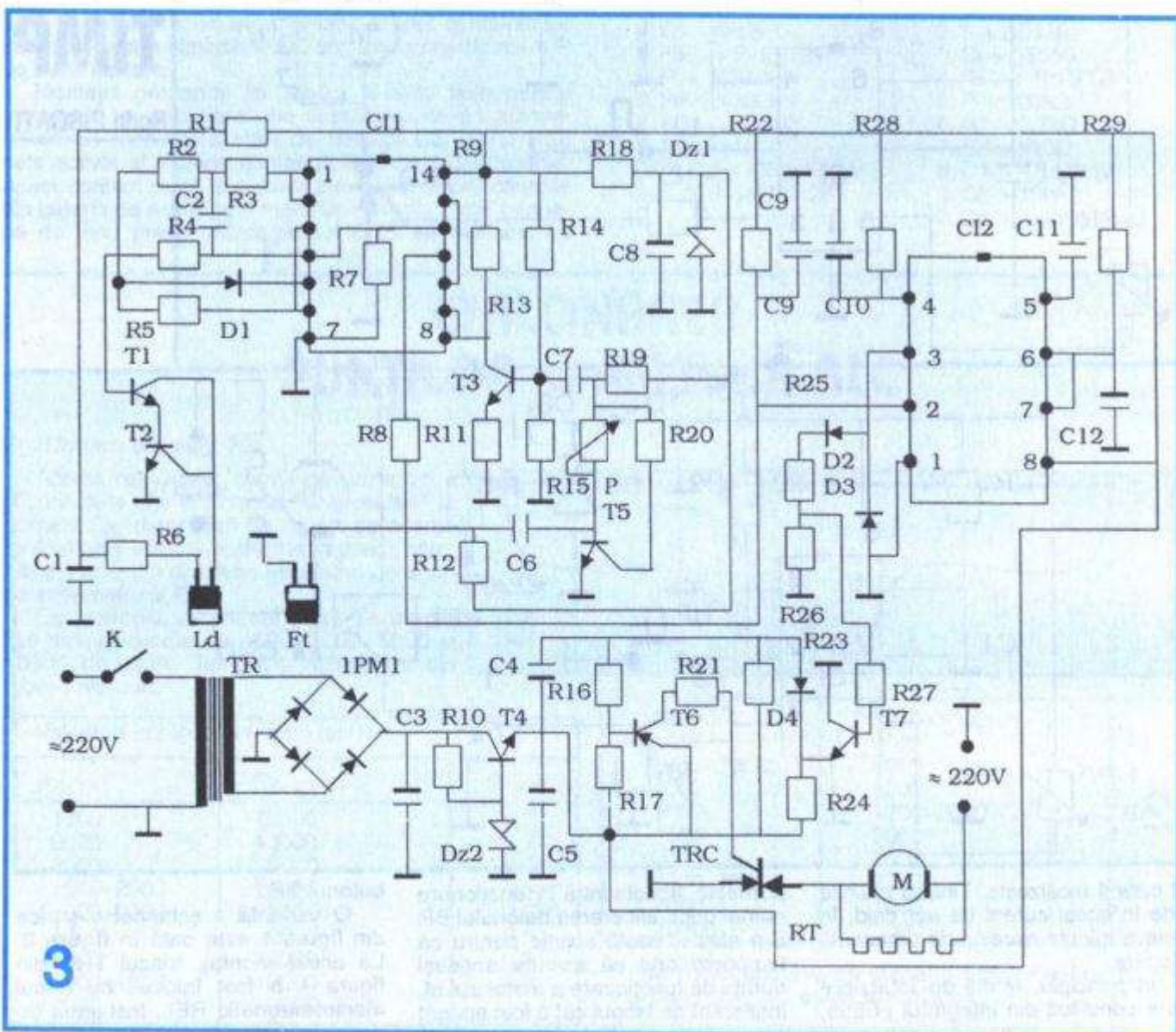
comandă prezentată în figura 2 are avantajul că poate comanda orice fel de motor electric cu colector, asincron sau sincron. Currentul de rupere al contactelor releului (CR) este funcție de puterile însumate ale motorului M și rezistenței termice R. Partea de comandă fiind aceeași ca și la cel precedent, durata funcționării motorului electric M poate fi reglată cu potențiometrul liniar P între 3 și 45 secunde. Dacă se dorește o durată de funcționare mai mare, fie că se regleză valoarea condensatorului C, fie că se apasă din nou butonul BP imediat după oprirea motorului electric M.

Montajele din figurile 1 și 2 își mai pot găsi și alte aplicații. De exemplu, la hotele de aerisire din bucătării sau ale grupurilor sanitare. Se mai pot utiliza și ca automate (temporizatoare) de scară la blocuri sau clădiri administrative.

Varianta din figura 3 se utilizează frecvent în grupurile operatorilor din spitale. După spălarea intensă a mâinilor și dezinfecțarea lor cu alcool sau alte substanțe specifice, medicii și personalul medical care efectuează intervenția chirurgicală nu trebuie să mai atingă butonul BP. Dacă mânăile în dreptul fantei pe unde este evacuat din aparat aerul cald, instalația trebuie să pornească automat motorul electric M și să acționeze în același timp rezistența termică R. Funcționarea aparaturii se bazează pe reflectarea de către mâini a razelor de lumină generate de către o diodă electroluminiscentă (LED). Razele reflectate cad pe un fototranzistor care la rândul său, prin intermediul unei aparaturi electrice a cărei schemă este prezentată în figura 3, activează motorul electric M și rezistența de încălzire a aerului R. Pentru ca lumina din mediul

ambient să nu influențeze funcționarea aparatului electric de comandă, razele de lumină emise de dioda electroluminiscentă și recepționate de fototranzistor sunt modulate în cod de impulsuri. Indiferent de intensitatea fluxului luminos ambient, instalația din figura 3 funcționează fără probleme până la o distanță maximă de 25-30 cm a mâinilor față de gura de evacuare a aerului cald. Înăpărând mâinile, fototranzistorul nu mai este iluminat (în impulsuri) și în consecință alimentarea cu energie a motorului electric M care antrenează ventilatorul și a rezistenței R se întrerupe.

Montajul prezentat în figura 3 își găsește o serie de aplicații și în industrie, ca element de restricție, interzicând pornirea mașinii respective atunci când mână sau altă parte a corpului operatorului sunt în zona activă de lucru. Mai poate fi folosit



ca luminator de masă la macarale, poduri rulante etc.

Descriere - funcționare

Instalația de comandă este alcătuită dintr-un oscilator în compunerea căruia intră două porți NAND din circuitul integrat CI1 de tip MMC 4011. Impulsurile electrice generate de acest oscilator sunt amplificate de etajul echipat cu tranzistoarele T1; T2 și trimise la dioda electroluminiscentă Ld (LED). Această diodă trebuie să fie de culoare albă. În paralel și la același nivel cu dioda electroluminiscentă

MMC 4011. Mixarea se produce în poarta P4 deoarece semnalul oscilatorului atacă intrarea 13 a acestei porți. Semnalele (impulsurile) rezultate la ieșirea 11 a porții P4 (figurile 3 și 4) ajung prin rezistența R8 la intrarea 2 a circuitului integrat βE555.

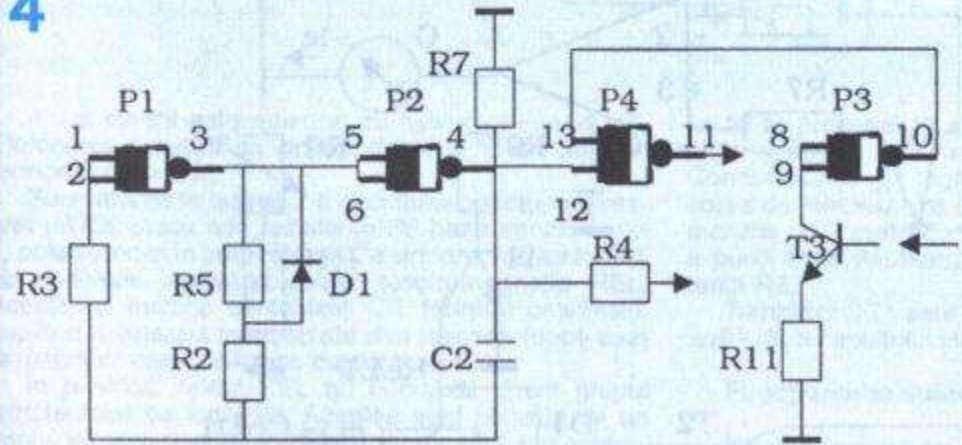
De la ieșirea 3 a integratului, impulsurile sunt preluate și redresate de grupul de diode D2; D3 (figura 3). Tensiunea pozitivă redresată ajunge în final pe poarta triacului TRC, prin divizorul R25, rezistența R27 și etajul echipat cu tranzistoarele T6 și T7. Ca urmare, triacul TRC se deschide și pune sub

10. R3 - 40÷60Ω
11. R - 47Ω/3W
12. SR - 10kΩ

Figura 2

1. CI - βE555
2. REL - RI13/12V
3. Dz - PL12Z
4. D - 1N4007
5. C1 - 5 - 10µF/16V
6. C2 - 1000µF/25V
7. C3 - 1µF/400V (nepolarizat)
8. R1 - 1MΩ
9. R2 - 22kΩ
10. R3 - 40÷60Ω
11. R4 - 47Ω/3W
12. R5 - 10kΩ
13. SR - 22kΩ
14. T - BD139

4



Ld, la circa 40 mm distanță este montat fototranzistorul Ft.

În starea de repaus a aparatului, fluxul luminos emis de Ld nu întâlneste în nici un fel partea sensibilă a fototranzistorului Ft. Lumina solară, a becurilor sau a altor surse lumenioase nu are influență asupra montajului, deoarece având un caracter continuu, produce în fototranzistor o tensiune de asemenea continuă. Acest semnal nu poate ajunge pe baza tranzistorului T3 din cauza condensatorului C6. Atunci când o persoană introduce mâinile în dreptul fantei active a montajului electronic, o parte din impulsurile lumenioase emise de dioda Ld sunt reflectate și atacă fototranzistorul Ft. La rândul său, sub influența acestor impulsuri, fototranzistorul generează semnale electrice care, trecând prin condensatorul C6, atacă baza tranzistorului T5. Amplificate de acesta, trec prin C7 și ajung pe baza tranzistorului T3. După o nouă amplificare, intră în pinii 8; 9 (legați în paralel) ai porții inversoare P3 (figura 4). Semnalul inversat ajunge în final pe pinul 13 al porții P4 și este mixat cu cel generat de oscilatorul P1; P2 din integrat

tensiune motorul electric M al ventilatorului și rezistența termică RT de încălzire a jetului de aer. Prin retragerea mâinilor, după zvântare, fluxul impulsurilor recepționate de fototranzistorul Ft se întrerupe și ca urmare triacul TRC se blochează, scoțând de sub tensiunea rețelei motorul M și rezistența RT.

Deși instalația electrică prezentată în figura 3 pare relativ complexă, în realitate se poate realiza cu destulă ușurință, iar reglajele nu pun nici o problemă.

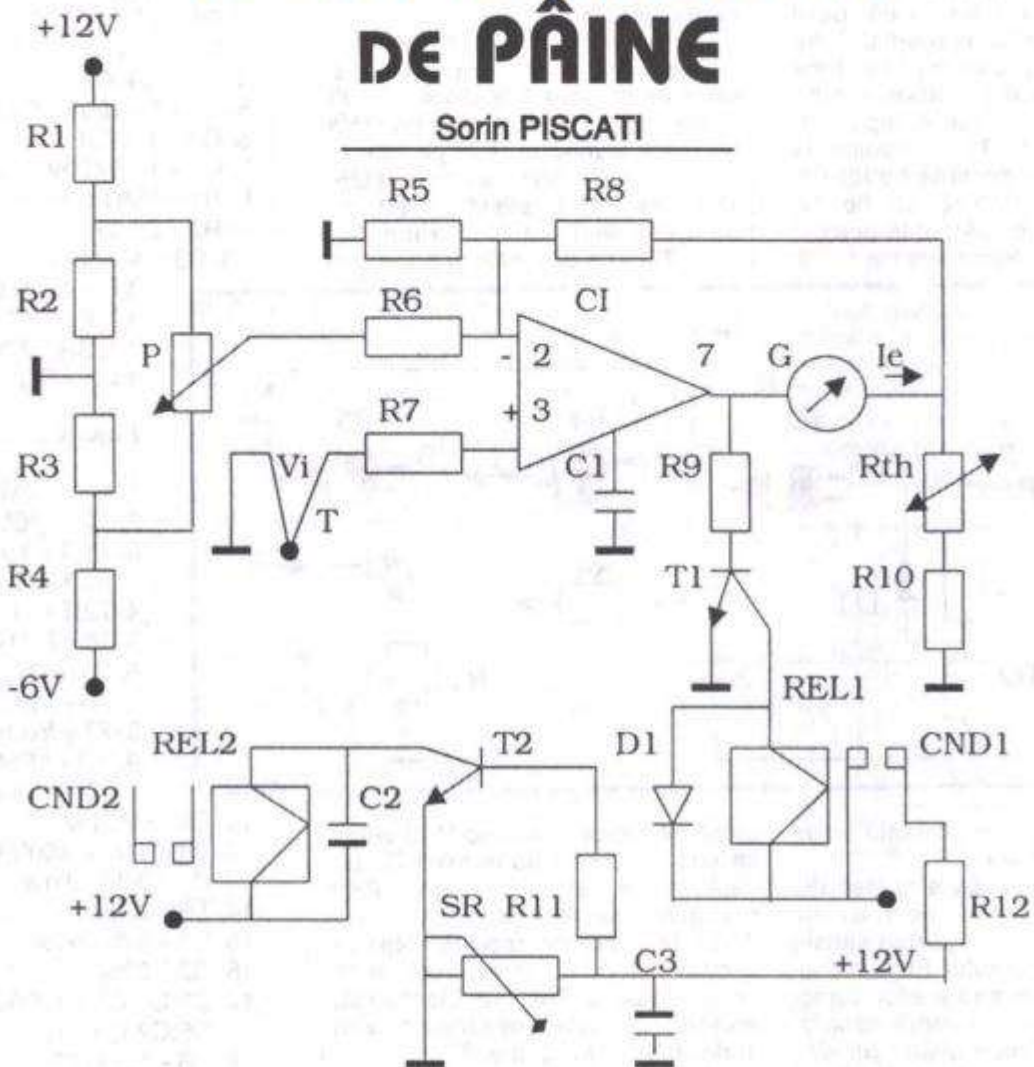
Pentru cel care doresc să realizeze o astfel de instalație, autorul se oferă să dea orice lămurire, prin intermediul redacției.

**Lista de piese
Figura 1**

1. CI - βE555
2. TRC - triac 400V/6A
3. Dz - PL12Z
4. D - 1N4007
5. C1 - 5 - 10µF/16V
6. C2 - 1000µF/25V
7. C3 - 1µF/400V (nepolarizat)
8. R1 - 1 MΩ
9. R2 - 22kΩ

10. R3 - 40÷60Ω
11. R - 47Ω/3W
12. SR - 10kΩ
13. SR - 22kΩ
14. T - BD139
15. C1 - 470µF/25V
16. C2 - 22nF
17. C3;C4;C5 - 1000µF/25V
18. C6;C7;C9 - 1nF
19. C8 - 10µF/25V
20. C10;C12 - 100µF/25V
21. C11 - 10nF
22. R1 - 10Ω
23. R2 - 1,2kΩ
24. R3 - 470Ω
25. R4;R8;R27 - 4,7kΩ
26. R5;R22 - 27kΩ
27. R6;R11 - 100Ω
28. R7;R12 - 100kΩ
29. R9;R13 - 47kΩ
30. R10 - 330Ω
31. R14 - 390kΩ
32. R15;R16 - 12kΩ
33. R26 - 1kΩ
34. R18;3,3kΩ
35. R19;R20;R24 - 24kΩ
36. R21 - 130Ω
37. R23 - 8,2kΩ
38. R25 - 180kΩ
39. R28 - 68kΩ
40. R29 - 33kΩ

ECHIPAMENT de AUTOMATIZARE A CUPTOARELOR DE PÂINE



Majoritatea brutăriilor și patiseriilor particulare utilizează cuptoare electrice pentru copt pâine și alte specialități de patiserie. Din cauza complicațiilor constructive și funktionale, a prețului de cost foarte ridicat, cuptoarele de pâine încălzite cu gaze se întâlnesc de regulă numai la fabricile mari de pâine.

Actualmente, în majoritatea cazurilor, controlul temperaturii cupitorului electric se realizează cu termokontakte bimetalice. Acestea nu sunt precise, au o durată scurtă de viață și se defectează frecvent. Defectarea în sine și înlocuirea lor nu contează prea mult în ultimă instanță. Ceea ce contează este costul mare al sărjei de pâine sau produse de patiserie compromise.

Aparatura prezentată în figura 1 este ieftină, putând fi ușor realizată. O dată introdusă în exploatare, funcționează ani întregi fără nici o întreținere sau reglaj. Funcționarea este precisă, abaterea de la temperatura prescrisă nedepășind 2-3°C. Această abalere este nesemnificativă în condițiile date.

După cum se vede în figura 1, elementul de bază

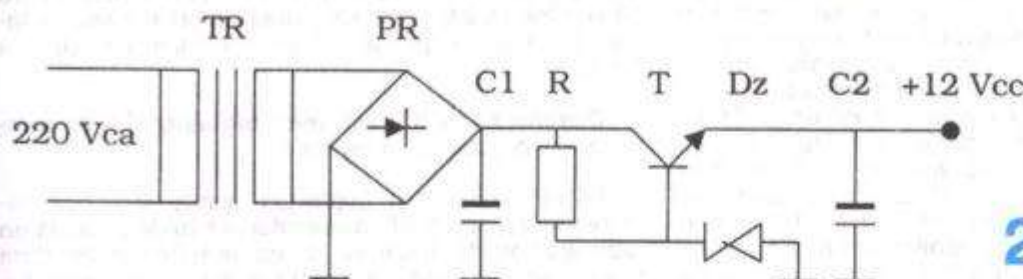
este circuitul integrat operațional μ A709 (poate fi înlocuit cu BA741, care funcționează însă cu $\pm 15V$).

Montajul prezentat în figura 1 poate controla temperatură între 200°C și 450°C . Ca senzor se utilizează un termocuplu notat în figură cu Vi . Acest termocuplu se compune din două conductoare: unul din cupru și celălalt din constantan. Cele două conductoare sunt sudate unul de altul la unul din capete. Diferența de potențial generată de acest termocuplu este de $0,04 \text{ mV}/^{\circ}\text{C}$. Grosimea firelor va fi de $0,8\text{-}1,2 \text{ mm}$. Ambele trebuie să aibă același diametru. Unul din celelalte capete ale termocuplului rămase libere se leagă la masa montajului, iar celălalt la intrarea neinversoare a circuitului integrat. Nu contează care dintre cele două capete ale termocuplului se leagă la masă și care la intrarea 3 a integratului μA709 . Important este ca legăturile să fie cât mai scurte și bine realizate, având în vedere că tensiunea electromotoare generată de termocuplu este scăzută.

Pentru a micsora cat mai mult caderea de tensiune.

conductoarele vor avea diametrul de minimum 2 mm. Se va utiliza numai sărmă din cupru izolată cu teflon sau alt material izolant (electric), rezistent la temperatură. În funcție de diferența de potențial V_i dintre masa montajului și intrarea 3 a circuitului integrat, curentul la ieșirea 7 a acestuia se determină cu relația:

$$I_c = \frac{V_i}{R_{V1} + R_5} \cdot \frac{R_1 + R_2}{R_1}$$



Acest curent este măsurat cu milliampermetrul mA. Etalonarea acestuia se va face direct în $^{\circ}\text{C}$ utilizând un termometru martor.

Señalul de la ieșirea 7 a circuitului operational integrat μA709 atacă prin rezistența R_6 baza tranzistorului T , polarizând-o în sens direct. Ca urmare, tranzistorul T se deschide, activând releul electromagnetic REL. Aceasta își închide contactele CR (normal deschise), cuplând la rețeaua monofazată sau trifazată (după caz) rezistențele care încălzesc cupitorul electric.

In practică, releul REL nu comandă direct grupul rezistențelor de încălzire. Acestea sunt activate de un contactor cu comandă manuală, de tip AC3 sau echivalent. Releul REL, prin contactul său CR, pune sub tensiune bobina contactorului de tip AC3.

Pentru cuptoare (sau alte aplicații, cum ar fi de exemplu aparatele electrice de vulcanizare), care trebuie să lucreze la

temperaturi cuprinse între 150 și 250°C , se recomandă utilizarea instalației electrice prezentate în figura 3. Dioda D2 utilizată în montaj ca senzor de temperatură va fi de tipul BA170. Dintre toate tipurile de diode care au fost incercate, aceasta s-a comportat cel mai bine pentru intervalul de temperatură cuprins între 150 și 250°C . Releele (REL2) electromagnetice finale vor fi de tipul RI-13, contactele acestora suportând ani de zile curenții de sarcină, coroborat și cu faptul că

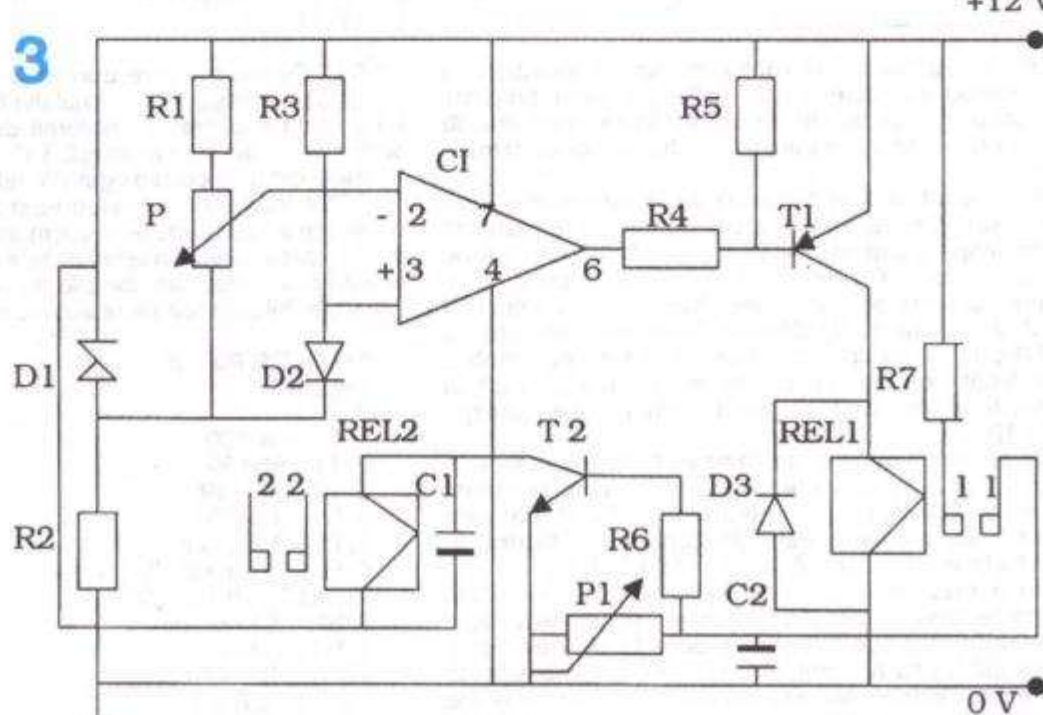
montajul prezentat în figura 3 nu permite vibrația contactelor releului final la comanda de închidere și respectiv deschidere a contactului normal deschis CND. Circuitul de comandă prezentat în figura 3 se compune în principal dintr-un comparador realizat cu circuitul integrat, amplificator operațional, βA741. Între intrările - și + (2 și 3) ale integratului se conectează puncta formată din rezistențele R_2 , R_3 , R_4 și dioda D2. Această diodă îndeplinește rolul de senzor de temperatură. Ea se amplasează în incinta încălzită a cupitorului, într-un orificiu practicat în acest scop. Dioda trebuie să preia temperatura de la partea activă a cupitorului, adică de la suprafața acestuia care intră în contact cu materialul de prelucrat. Cei doi pini ai diodei D2 se izolează atent cu tub siliconic.

La fel se procedează și cu conductoarele electrice care intră în cupor, plus încă 20-30 cm în afara acestuia. Conductoarele de legătură (fir lăsat) dintre dioda sesizoare de temperatură D2 și montaj pot avea o lungime maximă de 3 metri. Tensiunea la bornele de alimentare a punții este stabilizată prin dioda Zenner D1 și rezistența R_2 .

Tranzistorul T1 este închis sau deschis de potențialul ieșirii (6) a circuitului integrat βA741.

Funcționarea aparaturii

Dacă temperatura scade sub valoarea prescrisă, ieșirea 6 a circuitului integrat cade în zero și, prin intermediul rezistenței R_5 , deschide tranzistorul T1. Releul REL din colectorul acestuia intră în funcțiune și închide



contactul normal deschis 11. Din acest moment, condensatorul electrolytic C2 începe să se încarce prin rezistența R7. La un moment dat și tranzistorul T2 se deschide, acționând releul REL2. Acesta închide contactul normal deschis 22, punând rezistența de încălzire sub tensiunea rețelei. Tensiunea în punctul S continuă să crească până ajunge aproape de 12V. Ca urmare a punerii sub tensiune a rezistenței de încălzire, temperatura începe să crească și modifică rezistența internă a diodei D2. La un moment dat, când temperatura cupitorului atinge valoarea prescrisă, variația rezistenței interne a diodeli D2 determină o diferență de potențial la pinul 3 (intrarea neinversoare a operaționalului) al integratului care forțează ieșirea 6 a acestuia să basculeze în 1 logic (cca 12 V). Ca urmare, tranzistorul T1 se blochează și provoacă desfacerea contactului normal deschis 11. Tranzistorul T2 mai rămâne deschis (menținând astfel contactul 22 deschis) încă 2-3 secunde, până la descărcarea condensatorului C2 prin rezistența P1, joncțiunea bază-emitor a tranzistorului T2 și mai ales prin semireglabilul legat în paralel, P1. Cu

prezentat în figura 4. Montajul respectiv reglează temperatura în incintă, cu precizia de mai sus, în intervalul 20-80°C.

De regulă, produsele de patiserie sunt menținute la temperatura de 40-50°C cu precizia de $\pm 1^\circ\text{C}$.

Senzorul regulatorului de temperatură din figura 4 este constituit din două termistoare inseriate de către 500Ω la 25°C. Aceste termistoare se lipesc cu răsină adezivă (de exemplu, poxipol) de peretele incintei, având grijă ca terminalele acestuia și firele de legătură să fie bine izolate între ele și fără de orice masă metallică. Firele de legătură pot avea lungimi de până la 1,5 m.

Descrierea și funcționarea regulatorului de temperatură prezentat în figura 4

Când temperatura cupitorului crește și atinge valoarea limită prescrisă, automatul comandă decuplarea rezistențelor de încălzire și ca urmare temperatura scade până în momentul când ajunge la valoarea minimă admisibilă. În acel moment, rezistențele de încălzire a cupitorului sunt din nou puse sub tensiune și din nou temperatura începe să crească. Se atinge iar limita superioară și ciclul se repetă.

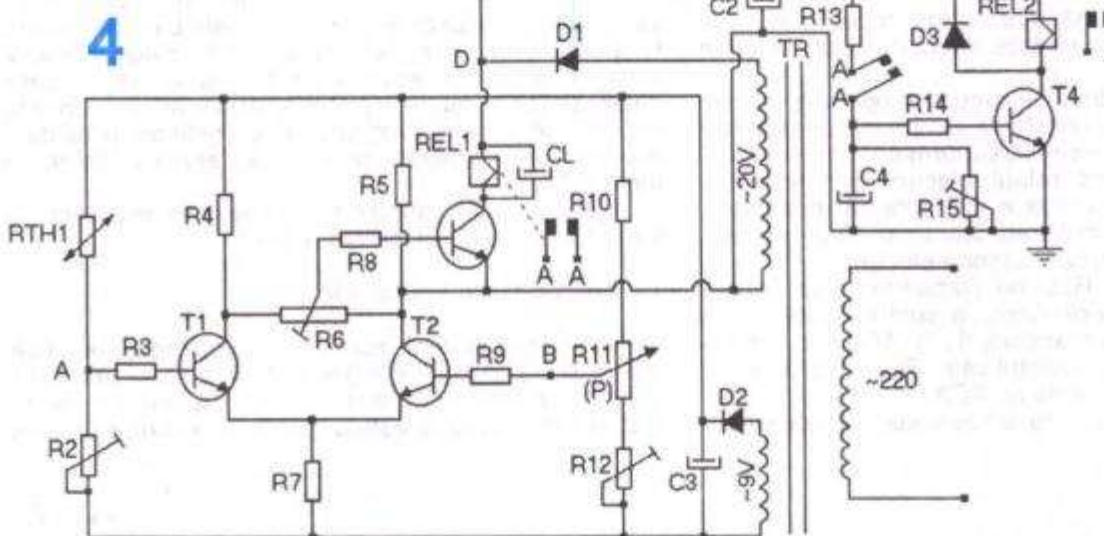
Eu am reglat montajul astfel încât temperatura medie în incintă să fie de 45°C. Am ales un releu regulator de temperatură și senzorul (TH) al acestuia astfel încât histeresisul să fie de

$\pm 0,5^\circ\text{C}$. Pentru cei care doresc un histeresis mai mare ($\pm 2,5^\circ\text{C}$), se propune montajul din figura 5. În acest caz, cu un singur termistor, abaterea de la temperatura prescrisă va fi de maximum $\pm 2,5^\circ\text{C}$. Atât la montajul din figura 4, cât și la cel din figura 5, releul REL este de tipul RI 13/24 Vc.c. Acestui releu i-am slăbit (în limite rezonabile) arcul de readucere a armăturii mobile astfel încât anclansarea și declansarea acestuia să se facă ferm. Cu acest tip de releu, ani de zile nu vor apărea probleme. Se poate folosi orice alt releu asemănător.

LISTA DE PIESE

Figura 1

1. CI - $\mu\text{A } 709$
2. T1 - BD139
3. T2 - BD 139
4. D1 - 1N4003
5. P - 10 kΩ (lin)
6. REL1 - Reed/12V-1A
7. REL2 - RI 13/12V
8. SR - 100 kΩ (lin)
9. R1 - 12kΩ
10. R2;R3 - 470Ω
11. R4 - 5,6 kΩ
12. R5 - 510Ω



acesta din urmă se reglează și durata întârzierii la deschiderea contactelor 22. Astfel se evită procesul tranzistorului în care contactele 22 se închid succesiv de câteva ori la fiecare comandă a automatului de temperatură.

În lipsa releului de temporizare la deschidere, realizat în jurul tranzistorului T2, contactele 22 se perleză într-un timp de câteva luni, la o exploatare intensivă de 10-12 ore pe zi. Cu releul de întârziere, aceleși contacte rezistă ani de zile. Releul REL 2 va fi de tipul RI 13/12 Vc.c. sau RI 13/24Vc.c. Dacă se utilizează RI 13/24Vc.c., se va slăbi arcul spiral al armăturii mobile astfel încât închiderea și deschiderea contactelor 22 să se facă ferm pentru o tensiune de alimentare a montajului de 12 V.

Releele regulate de temperatură prezентate în figurile 1 și 3 se alimentează de la rețeaua de curent alternativ (220 Vc.a.) prin intermediul unui etaj a cărui schema de principiu este prezentată în figura 2. Puterea transformatorului TR va fi de 10-12 W.

După preparare, produsele de patiserie trebuie să mențină "calde" până la vânzare. Încălzirea raftului (incintei) în care acestea sunt expuse la vânzare poate fi realizată tot cu ajutorul unor rezistențe alimentate de la rețeaua electrică. Menținerea temperaturii optime (cu o abatere de $\pm 0,5^\circ\text{C}$) se poate realiza cu montajul

13. R6 - 47kΩ
14. R7 - 390Ω
15. R8 - 1kΩ
16. R9 - 10kΩ
17. R10 - 100Ω
18. R11 - 10kΩ
19. R12 - 330Ω
20. Rth - 50Ω
21. C1 - 0,1µF/100V
22. C2 - 470µF/63V
23. C3 - 47µF/33V

Figura 2

1. TR - transformator 220/11V (P=10-15W)
2. PR - 1PM1
3. C1 = C2 = 1000µF
4. Dz - PL 13 Z
5. T - BD 139 (cu radiator termic)
6. R - 120Ω

Figura 3

1. CI - βA 741
2. T1 - BC 177 sau BC 251
3. T2 - BD 139
4. D1 - PL 5V6Z
5. D2 - BA 170
6. D3 - 1N 4003
7. P - 10kΩ (lin)
8. P1 - 100 kΩ (lin)
9. REL1 - Reed/12V-1A
10. REL2 - RI 13/12V
11. R1; R3 - 4,7kΩ
12. R2 -

1,2kΩ
13. R4; R5 -
1,5 kΩ
14. R6 - 10kΩ
15. R7 - 330Ω
16. C1 -
470µF/25V
17. C2 -
47µF/25V

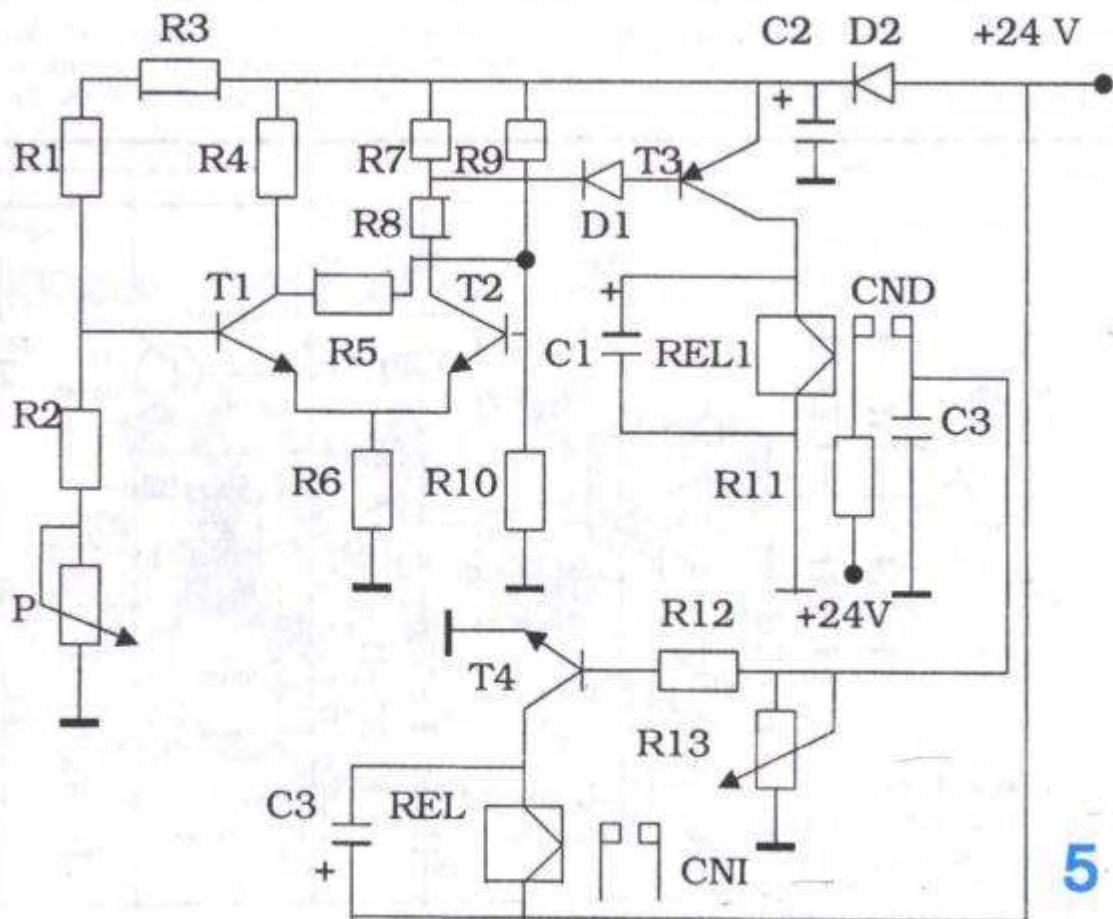
Figura 4

1. T1; T2 → BC 173 C; BC 109C sau echiv.
2. T3 → BC 171B; BC 107B sau echiv.
3. T4 → 2N 1613; 2N 1711; BD 139 etc.
4. D1; D2; D3 → 1N 4001 - 1N 4007
5. RTH1 → 510Ω/25°C
6. R2; R6; R12 → 2,5 kΩ (semireglabili liniari)
7. C1; C2; C3 → 470-1000 µF/40V
8. C4 → 470 µF/40V

9. R3; R9 → 120 Ω
10. R4; R5 → 510 Ω
11. R7; R16 → 1 kΩ
12. R8 → 220-330 Ω
13. R10 → 20-27 Ω
14. R11 → 510 Ω (potențiometru liniar)
15. R13 → 330-390 Ω
16. R14 → 10-15 kΩ
17. R15 → 100 kΩ (semireglabil liniar)

Figura 5

- R1 → 510 Ω
R2 → 1 kΩ
R3 → 1 kΩ
R4 → 4,7 kΩ
R5 → 47 kΩ
R6 → 2,2 kΩ
R7 → 1 kΩ
R8 → 3,5 kΩ
R9 → 5,6 kΩ
R10 → 5,6 kΩ
R11 → 220Ω
R12 → 10 kΩ
R13 → 100 kΩ
D1; D2 → 1N4004
T1; T2 → BC 171B
T3 → BD 140
C1; C3 → 470 µF
C2 → 1000 µF
REL → RI-13
REL1 → Reed 24V
CND → contact normal deschis
CNI → contact normal închis



Doriți un amplificator de audiofrecvență pe care să-l puteți alimenta de la un grup de baterii de 9 V ($\pm 4,5$ V) și al cărui curent de mers în gol să fie de numai 1-2 mA? De cele mai multe ori amatorii, din dorința asigurării unor parametri maximali amplificatoarelor construite de ei, împart cu multă generozitate voltaj, amperi și wați, însă căteodată singura sursă

de energie disponibilă o constituie doar câteva baterii a căror viață avem interesul să o prelungim cât mai mult. Să vedem cum poate fi micșorat curentul de repaus al unui amplificator și ce se poate face pentru ca și în timpul lucrului, energia electrică să fie folosită cât mai eficient.

Schela pe care o propun nu este nouă, ea provine din adaptarea

unei scheme care stă la baza unor amplificatoare de înaltă performanță (fig. 1). Știind că cea mai mare parte a curentului de repaus al montajului este solicitată de tranzistoarele finale (A1 și A2 nu cer mai mult de 1 mA), ne întrebăm ce se va întâmpla dacă din P3 și P4 vom fixa tensiunea emitor-bază la circa 0,4 V, tranzistoarele fiind practic închise? Montajul va funcționa bine, însă

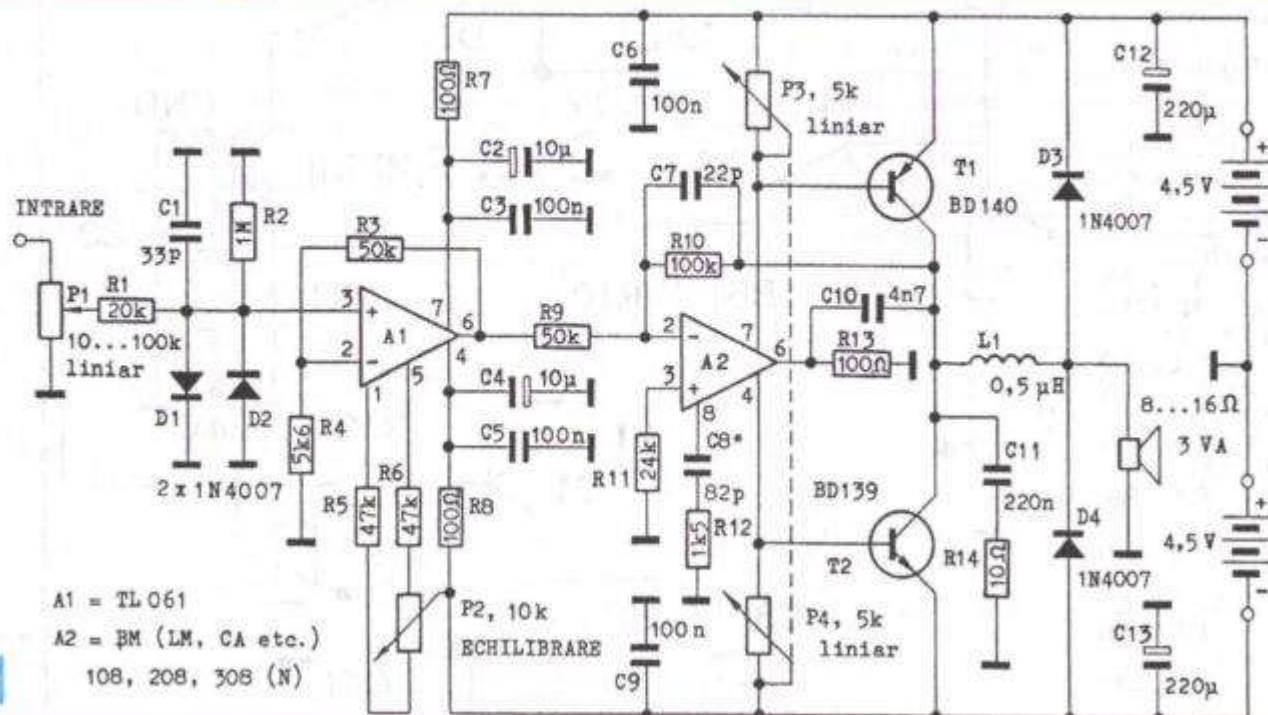
UN AMPLIFICATOR ECONOMIC

Marian LĂCĂTUŞ, Buzău

Deși despre amplificatoare de audiofrecvență s-a scris foarte mult, totuși vă trimitem și eu un material (cam lung, recunosc) referitor la un amplificator special conceput pentru a avea un curent de mers în gol cât mai mic, ceea ce contribuie la prelungirea vietii bateriilor de la care se alimentează.

Diagramele au fost trasate folosindu-mă de aparatul și mijloacele destul de modeste de care dispun, așa că nu am pretenția că sunt extraordinar de exacte. Cu toate acestea, ele reflectă destul de bine realitatea și, cel puțin ca date orientative, se poate avea încredere în ele.

Ultima parte a materialului este destinată circuitului Boucherot, pe care l-am descris așa cum mi-ar fi plăcut și mie să-l găsesc descris pe undeva (toate calculele, graficele și interpretarea rezultatelor au fost făcute doar pe baza cunoștințelor mele de electronică și electrotehnică). M-am gândit că poate există amatori dormici să cunoască mai în profunzime unele dintre complexele fenomene ale electronicii cu care se confruntă.



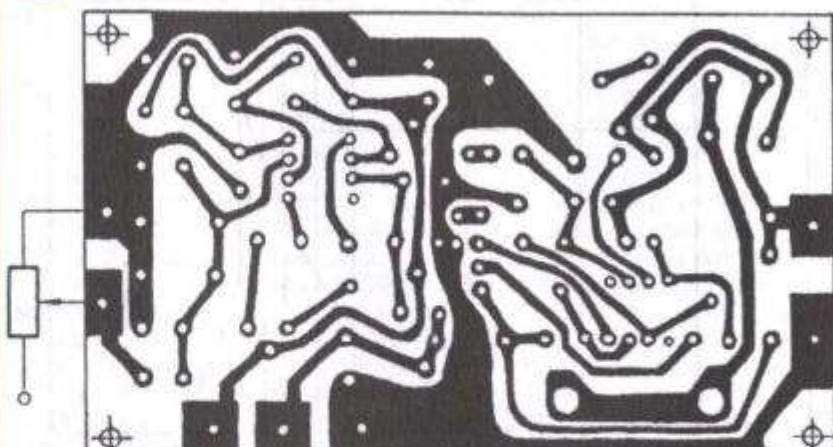
numai pentru tensiuni continue sau pentru frecvențe foarte joase, în acest domeniu A2 dispunând de o amplificare în buclă deschisă imensă. Pentru frecvențe mari din domeniul audio, amplificarea în buclă deschisă poate scădea drastic, iar dacă semnalele de la intrare sunt prea mici, amplificatorul, oricăr s-ar "sili", nu va putea nici să deschidă tranzistoarele finale, necum să mai și injecteze curenți importanți în bazele lor, semnalele respective rămânând neamplificate. Așa apar cunoscutele distorsiuni de raccordare, foarte supărătoare, pentru a căror înălțurare se cere asigurarea unor curenți statici de colector de 10-20 mA.

Pentru a realiza un amplificator cu distorsiuni practic inexistabile, menținând totuși tranzistoarele finale aproximativ închise în timpul mersului în gol, este necesară aplicarea simultană a trei măsuri, și anume:

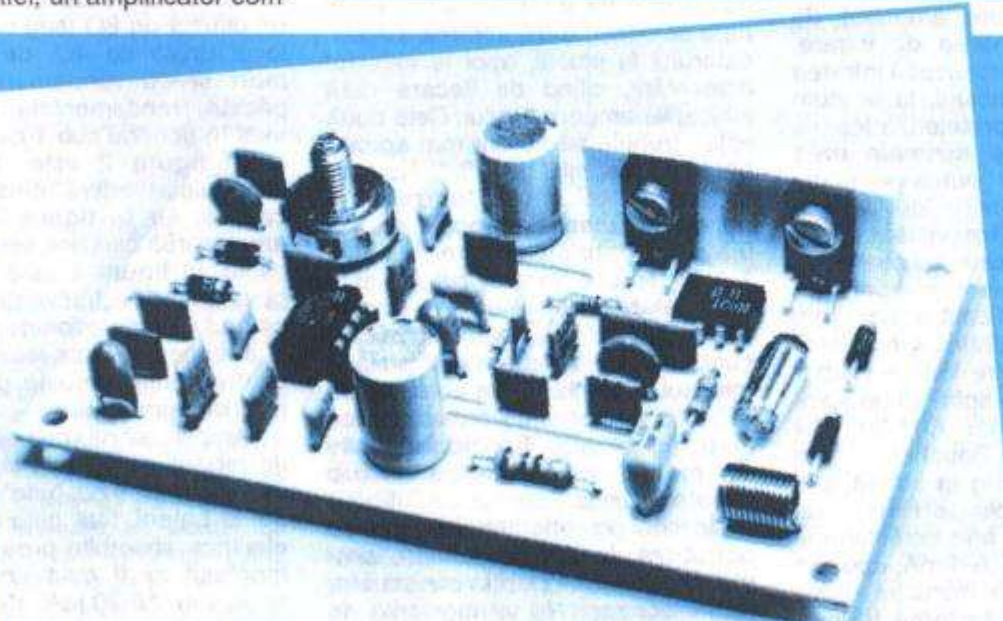
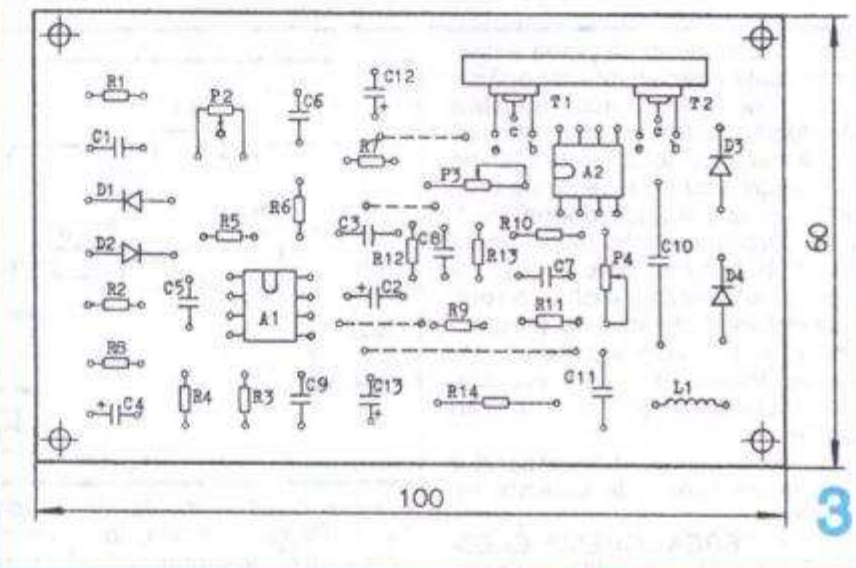
1. Amplificare cât mai mică a etajului final. Zona "moartă" a semnalelor de intrare va rămâne aceeași, dar ea va fi mai puțin amplificată și nu va deranja prea mult. Evident, va fi nevoie de alt etaj care să amplifice semnalele. În cazul de față amplificarea etajului final este de două ori, o amplificare unitară nefind recomandată.

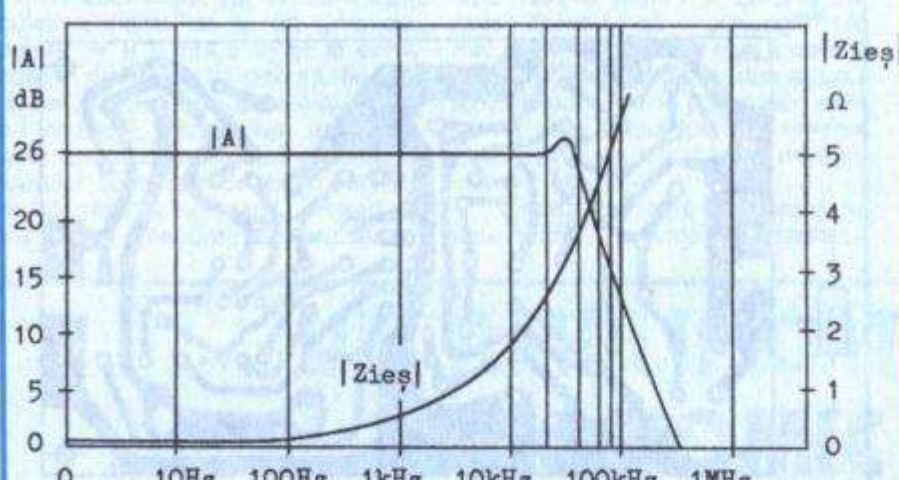
2. Folosirea în etajul final a unor amplificatoare rapide, cu răspuns bun în frecvență. Vom renunța la amplificatoare de uz general, compensate intern, în favoarea unei necompensate, urmând să î se facă o compensare externă corespunzătoare. De altfel, un amplificator com-

2



- + ⊥



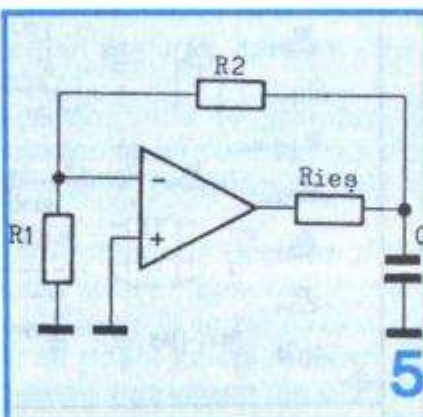


4

pensat intern tot nu va putea asigura stabilitatea circuitului (vor apărea oscilații), deoarece reacția negativă este foarte puternică (se știe că reacția negativă totală este situația cea mai grea cu care se poate confrunta un amplificator operational), iar în circuitul buclei sunt acum incluse și tranzistoarele finale, ce introduc noi defazaje (poli și zerouri suplimentare în funcția de transfer) pentru care condensatorul de corecție integrat nu este pregătit, fiind necesare și compensări externe.

3. Polarizarea tranzistoarelor finale la un curent de colector de 0,5-1 mA.

DESCRIEREA SCHEMEI ELECTRICE. A1 este un amplificator neinvorsor obișnuit care amplifică de vreo 10 ori semnalele de intrare. Diodele D1 și D2 protejează intrarea lui A1 de supratensiuni, la fel cum diodele D3 și D4 protejează ieșirea amplificatorului de semnale prea puternice care ar putea veni din exterior. Compensarea lui A2 este de tipul avans - întârziere de fază, și anume o compensare cu avans de fază prin C7 și câte o compensare cu întârziere modificată a fazei prin C8 și C10. Inductanța L1 este fără miez și are 12 spire din conductor $\phi 0,5$ mm, bobinate spiră lângă spiră pe un dorn $\phi 5$ mm. C11 și R14 formează circuitul Boucherot, care va fi descris pe larg la sfârșit. Din potențiometrul dublu se fixează un curent de repaus prin colectoarele tranzistoarelor de 0,5-1 mA, apoi din P2 se echilibrează montajul, după care se trece la... sortarea tranzistoarelor. Metoda presupune verificarea complementarității tranzis-



5

toarelor chiar în montaj, în condiții limită. Pentru aceasta, la ieșire se conectează un ampermetru în serie cu un rezistor de $8\text{-}10 \Omega/3\text{W}$, după care se conectează intrarea amplificatorului la plusul, apoi la minusul alimentării, cînd de fiecare dată indicațiile ampermetrului. Cele două valori trebuie să fie cât mai apropiate și nu mai mici de 0,3 A. Nu este nici un pericol pentru tranzistoare, deoarece curentul nu poate depăși 0,5 A, iar tranzistoarele rezistă și la 1 A. De regulă, tranzistorul pnp este mai "slab", ceea ce se poate cunoaște printr-o valoare mai mică a curentului când intrarea este pusă la minusul alimentării. Am observat că BD 140 dă rezultate bune, așa că l-am indicat aici. Tranzistoarele se vor monta fără izolație pe un mic radiator comun.

În locul potențiometrului dublu se pot utiliza două potențiometre simple, urmărind ca poziția cursorilor să fie aceeași. Nu vă îngrijorați de usoara lipsă de egalitate a valorilor stabilite, deoarece A2 va corecta

imediat miciile asimetrii ale etajului, deschizând în mod egal tranzistoarele. În final vom înlocui potențiometrele cu rezistoare fixe.

Valoarea optimă a lui C8 se va stabili prin tatonări, o valoare prea mică ducând la apariția oscilațiilor, iar una prea mare la apariția distorsiunilor prin micșorarea vitezei de răspuns a amplificatorului. Restul pieselor nu au valori critice.

Amplificatorul funcționează și pentru tensiuni continue, amplificarea totală fiind de 20 (26 dB). Reacția extraordinar de bună a alimentării va face ca la un dezechilibru al surselor de alimentare chiar de 1 V, la ieșire să nu apară mai mult de 1 mV. Tot cît atât poate apărea la ieșire datorită derivei termice, atunci când temperatura mediului variază cu 10°C . Ne putem întreba în ce măsură scăderea temperaturii nu va duce și la anularea micului curent de repaus al tranzistoarelor, care astfel se vor bloca și ne vor distrugă toată munca. Desigur că așa s-ar întâmpla dacă proprietatea lui A2 de a-și mări curentul de alimentare cu scăderea temperaturii nu ar compensa de minune acest fenomen, măringând tensiunea bază-emitor și deschizând din nou tranzistoarele.

Putem folosi un difuzor de 4Ω , ca și unul de 8Ω . Teoria arată clar că în acest din urmă caz, pentru același nivel sonor, puterea dissipată pe tranzistoarele finale este mai mică. Asadar, chiar dacă va trebui să "dăm mai tare", putem realiza o mică economie de energie folosind un difuzor de 8Ω (sau chiar 16Ω) în locul unuia de 4Ω , de dimensiuni mari și cu randament bun (din păcate, randamentele difuzoarelor sunt în general sub 10%).

În figura 2 este dat desenul cablajului, vedere dinspre partea cablată, iar în figura 3 este dată amplasarea pieselor, vedere dinspre piese. În figura 4 este dat graficul răspunsului în frecvență al amplificatorului (în coordinate logaritmice) și al impedanței de ieșire în funcție de frecvență, ambele pentru semnale de intrare mici.

Amplificatorul meu are un curent de repaus de 1,6 mA și mă încântă prin faptul că îl pot "uia" mergând în gol la baterii, fără grija unei energii electrice absorbite prea mari. Dacă montajul ar fi avut un curent de repaus de 15-20 mA, atunci puterea electrică necesară mersului în gol ar fi fost suficientă pentru a aprinde vreo 20 de LED-uri de 5 mA, ceea-

ce pentru baterii nu ar mai fi fost o sarcină de neglijat.

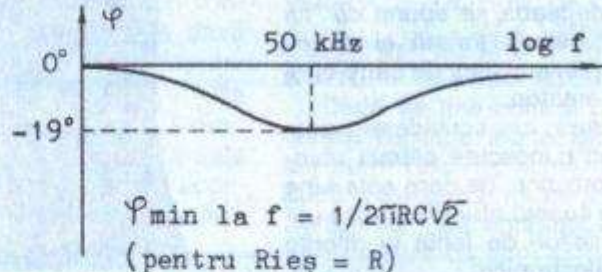
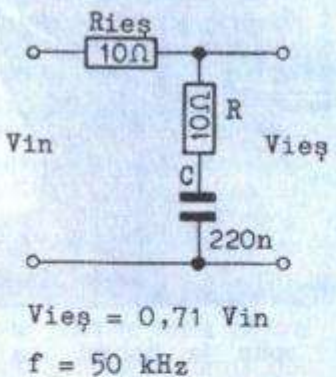
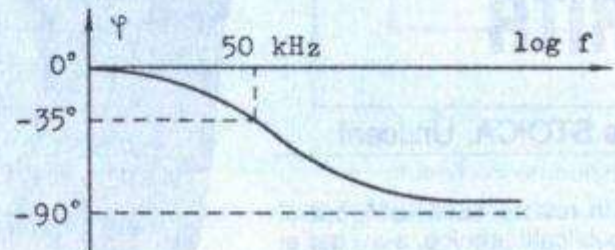
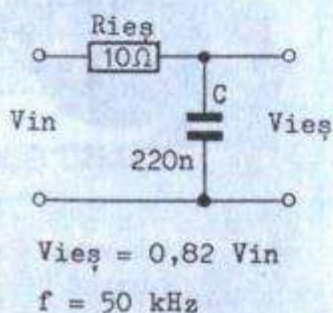
CIRCUITUL BOUCHEROT

Câteva cuvinte despre circuitul Boucherot (R14, C11, fig. 1), care de multe ori este "expeditat" cu simplă mențiune că este destinat prevenirii aparției oscilațiilor. Dar de ce apar aceste oscilații? Din capul locului trebuie spus că un amplificator bine compensat nu are voie să genereze oscilații nici chiar în absența circuitului Boucherot, atunci când ieșirea este în gol sau este conectată la o sarcină pur rezistivă. Dacă la ieșire avem o sarcină capacativă, este posibil ca amplifica-

buclă deschisă a amplificatorului pentru această frecvență este mai mare decât atenuarea produsă de filtrul RiesC și de divizorul R1-R2, vor apărea oscilații, de obicei în afara domeniului audio. Pentru suprimarea oscilațiilor, putem mări atenuarea semnalului prin mărirea valorii lui C (se presupune că nu avem voie să intervenim asupra lui R1 și R2). Oscilațiile vor înceta, deoarece defazajul introdus de condensator nu poate să treacă de -90° , în schimb atenuarea putem introduce câtă dorim (se vede că oscilațiile apar doar pentru anumite valori ale lui C). Există însă o metodă mai bună: montarea la ieșire a unui condensator de valoare nu prea mare în serie cu un rezistor de valoare mică, acesta fiind chiar circuitul Boucherot

unor calcule efectuate de mine pentru situații particulare destul de apropiate de cele reale. Se observă că circuitul Boucherot, care lucrează cel mai eficient când $R = Ries$, introduce un defazaj absolut mult mai mic decât cel introdus de un simplu condensator și, pentru o anumită bandă de frecvențe, o atenuare ceva mai mare a tensiunii V_{in} , ceea ce poate părea surprinzător. Dacă nu credeți că aşa stau lucrurile, verificați pentru 50 Hz și 5...20 Vef circuitul din figura 6b, luând $R = Ries = 1 \text{ k}\Omega$ și $C = 2,2 \mu\text{F}$. Măsurăți tensiunea V_{ies} , apoi scurcircuitați rezistorul R : tensiunea va crește puțin. Dacă $R = Ries = 10 \text{ k}\Omega$, tensiunea va scădea la scurcircuitarea lui R .

Proiectat judicios, circuitul Boucherot va "imuniza" montajul



torul să intre în oscilație. Aceasta se întâmplă deoarece impedanța de ieșire majoritar rezistivă a unui amplificator real (Ries, fig. 5) nu este destul de mică pentru a putea fi neglijată, iar filtrul trece-jos care se formează la ieșire va introduce un defazaj de tensiune ce poate lua orice valoare de la zero până aproape de -90° și care se va adăuga defazajului introdus de amplificator. În momentul în care defazajul de la intrarea inversoare va atinge -180° , iar amplificarea în gol și în

(în cazul precedent valoarea practică a lui C ar putea fi chiar de către μF , ceea ce ar însemna o reactanță prea mică pentru o parte a domeniului audio). Lucrurile se schimbă destul de mult, defazajul introdus de circuitul Boucherot nu va mai fi de către -90° când frecvența este de către infinit, ci către zero, iar pentru o anumită frecvență defazajul va prezenta un minim care, în funcție de elementele circuitului, poate lua orice valoare în intervalul (0, -90°). În figura 6 este prezentat rezultatul

pentru un condensator de orice valoare conectat la ieșire, astădat putem folosi fără teamă chiar și un tweeter piezo a cărui capacitate poate fi de ordinul zecilor de nF.

O bobină conectată la ieșire introduce un defazaj pozitiv și nu ne va crea necazuri. Dar, nu putem fi siguri că bobina unui difuzor, în mișcarea ei într-un câmp magnetic, nu va introduce defazaje de toate felurile, astădat circuitul Boucherot poate fi util și în acest caz.

PRACTICA REALIZĂRII BOBINELEOR CU MIEZ de FERITĂ

Ilie STOICA, Urziceni

Atât în revista TEHNIUM, cât și în alte publicații tehnice, s-au dat și se dă indicații despre realizarea bobinelor cu miez de ferită. De cele mai multe ori, se insistă pe o serie de considerații teoretice, binevenite de altfel, dar mai puțin se pune accentul pe realizarea practică. Dar tocmai această practică, despre care nu degeaba se spune că "ne omoară", trebuie tratată și ea cu puțin interes, mai ales de către constructorii amatori.

De aceea, am considerat necesar să fac cunoscute câteva recomandări practice, de care este bine să se țină seama atunci când se utilizează miezuri de ferită la diferite montaje electronice.

Ferita este un produs industrial care face parte din categoria materialelor ceramice. Ca urmare, ea nu poate suporta să fie supusă la lovitură, șocuri, încovoieri, deci eforturi mecanice mari, pentru că se sparge foarte ușor. Un miez de ferită spart nu mai valorează nimic. Pentru că nu se mai poate recondiționa, este bun de aruncat. Deci, trebuie acordată atenție la manipularea acestor miezuri. Ferita, ca material, se poate prelucra mecanic (tăieri, debătări, rectificări), dar numai cu mașini-unelte care au discuri sau pietre abrazive diamantate.

În general, după forma circuitului magnetic pe care îl determină,

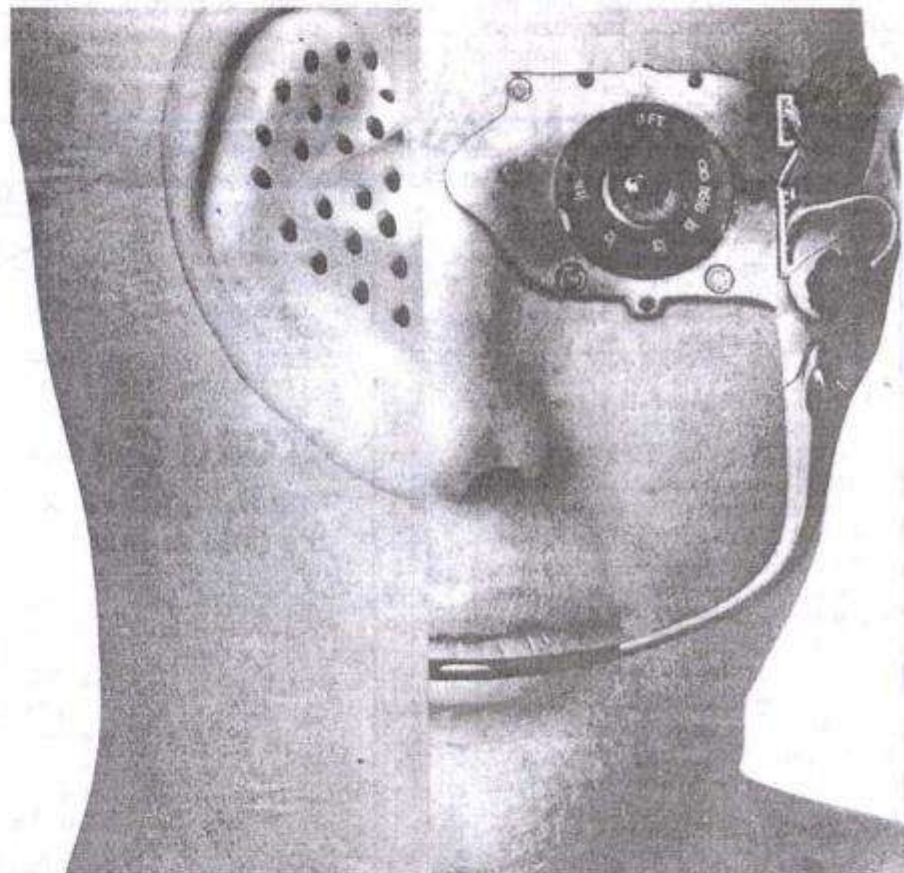
miezurile de ferită sunt de două categorii:

- deschise, care au formă de bară cilindrică, tubulară sau alt profil;
- închise, care au formă întreagă de inel (tor), sau diferite forme secționate de miezuri "pereche". Acestea au forme de U+I, E+E, U+U, oale și.a.

O condiție importantă pe care trebuie să o îndeplinească un miez de ferită pentru ca să asigure performanțe maxime la locul de utilizare este să aibă o structură internă cât mai omogenă, fără nici

fără goluri.

Rolul miezului de ferită este ca, în ansamblu cu bobina la care este atașat, să determine o inductanță de o anumită valoare calculată. De multe ori nu se întâmplă așa. În aceste cazuri, foarte important este modul în care se face asamblarea respectivă. Aceasta trebuie să permită și posibilitatea de corecție a abaterii de la valoarea stabilită prin calcul, dar care să evite, pe cât posibil, modificarea numărului de



un fel de discontinuități, adică fără fisuri, stratificări sau ciobituri.

De asemenea, la miezurile pereche se recomandă să nu prezinte vicii de formă sau de aspect, diferite de la o piesă la cealaltă, din cauza unor zone strâmbă sau dimensiuni diferite (vezi figura). În acest fel, circuitul magnetic respectiv va prezenta discontinuități mari, care afectează negativ calitatea acestuia.

Zona de separație dintre piese trebuie să fie fără abateri de la planeitate sau de la paralelismul cu planul de separație, pentru ca suprafața de contact să fie totală,

spire la bobină. La miezurile deschise problema se rezolvă mai simplu, prin schimbarea poziției miezului față de bobină în anumite limite. La miezurile închise, problema este mai dificilă dar nu de nerăsolvat. La miezurile pereche se poate ușor constata următorul fenomen: se procedează, de exemplu, la măsurarea inductanței unui ansamblu format dintr-o bobină cu miez tip oală. În prima fază se măsoară când miezul stă liber și stabil în poziția care îl asigură buna funcționare. Se va obține o valoare

de inductanță. Dacă după aceea se va acționa asupra miezului pereche printr-o strângere sau apăsare, în sensul apropierea celor două piese, una față de celalătă, dar păstrând poziția de bună funcționare, se va constata că valoarea inductanței se schimbă în mod sensibil. Această schimbare este proporțională cu

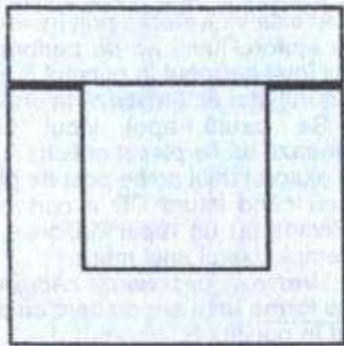
uscare rapidă poate să nu rezolve problema, în sensul că rigidizarea în final poate să fie și într-o poziție defavorabilă care să determine o valoare de inductanță nedorită.

Pe de altă parte, trebuie avut în vedere și faptul că ansamblul trebuie să prezinte și un grad de soliditate care să garanteze buna funcționare în cazul unor influențe

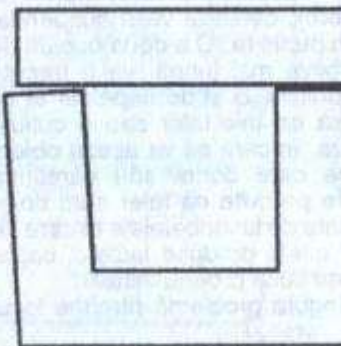
torului de material $K = \frac{n}{\sqrt{L}}$

unde: n = nr. de spire
 L = inductanță, în H

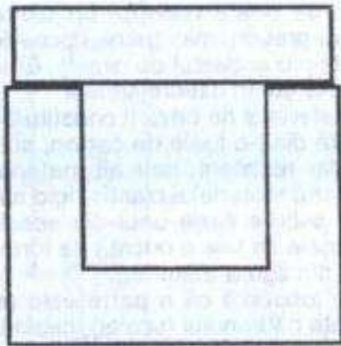
Pentru aceasta, se confectionează de probă o bobină de o formă apropiată de aceea a bobinei definitive, dar cu un număr n de



a - miez corect



b - miez necorespunzător



c - miez necorespunzător

efortul de strângere, desigur până la un efort maxim suportat de oală ca să nu se spargă.

Îată cum se poate corecta, într-o oarecare măsură, valoarea inductanței și la miezurile pereche, atunci când avem abateri de la ceea ce ne-am propus. Pentru aceasta, trebuie imaginate și confectionate subansambluri din materiale care nu au proprietăți magnetice și care să permită acest reglaj. Acestea pot fi cojile sau flanșe, prevăzute cu suruburi de strângere. Simpla rigidizare a miezului cu vopsea cu

exterioare. Acestea pot fi mecanice (șocuri, vibrații) sau climatice (căldură, frig, umiditate). În aceste cazuri, rigidizarea cu vopsea este mai predispusă să cedeze.

În cazul feritelor moi, o problemă la fel de importantă pentru un constructor amator este să știe dacă miezul de ferită de care dispune corespunde domeniului de frecvență unde va funcționa. Având de făcut montaje unicat, ferita este procurată ocazional. Cea mai accesibilă metodă este calcularea fac-

spire mai redus (20...50) și care trebuie cunoscut.

Se măsoară inductanța acestei bobine cu miezul respectiv, după care se calculează factorul K. În funcție de rezultat, se obțin următoarele concluzii:

Valori K	Domeniu de frecvență f
$K < 1$	$\Delta f < 1$ MHz
$K = 2...10$	$\Delta f = 1...20$ MHz
$K > 10$	$\Delta f > 20$ MHz

Dacă se ține cont și de aceste cîteva aspecte tehnologice, multe din surprizele neplăcute care apar după realizarea montajelor electronice vor fi cu siguranță evitate.

Îmi ofer scuzele mele pentru problemele apărute în urma publicării articolelor "Sistem surround de mare performanță", dar motivul pentru care revista "Conex-Club" nr. 1/1999 (număr pe care de altfel nici nu îl posed) nu apare în lista bibliografică este următorul: schema de principiu, cablajul circuitului și echiparea au fost luate de pe un site privat care nu își rezerva drepturi de autor și se adresa deci tuturor. Desigur, sursa

originală a materialelor erau proprietatea "Conex-Club", dar acest lucru nu era specificat.

Așadar, rog colectivele revistelor "Tehnium" și "Conex-Club" să-mi primească scuzele pentru problemele provocate și promisiunea că pe viitor voi verifica temeinic sursa schemelor ce le voi trimite spre publicare.

Vă mulțumesc,
 Radu Florin Gogianu

PRECIZARE

Un cânтар ușor de construit

Ilie STOICA, Urziceni

Cu puțină răbdare și îndemnare, se poate construi un cânтар pentru greutăți mici (până la cca 50 g), simplu și destul de precis. El va fi foarte util în diferite situații.

Materialul de bază îl constituie o bucată dintr-o foaie de carton, subțire dar rezistent, sau alt material, cum ar fi materialul plastic rigid sau tabla subțire. Dintr-unul din aceste materiale se taie o bucată de forma celei din figura alăturată.

Se observă că o parte este rezervată cadranelui (scalei), cealaltă parte constituind contragreutatea. Cu ajutorul unei bucati de ată suficient de subțire și rezistentă, care va fi trecută prin orificiul A și având

ambele capete înnojătate (formând un cerc), cânțarul va fi suspendat de un punct fix. O a doua bucată de ată, ceva mai lungă, va fi trecută prin orificiul B și de capetele ei se va fixa un mic taler sau o cutiuță ușoară, în care se va aseza obiectul pe care dorim să-l cânțărим. Foarte potrivite ca taler sunt componente de la ambalajele în care se vând unele produse lactate, capacul sau cutia propriu-zisă.

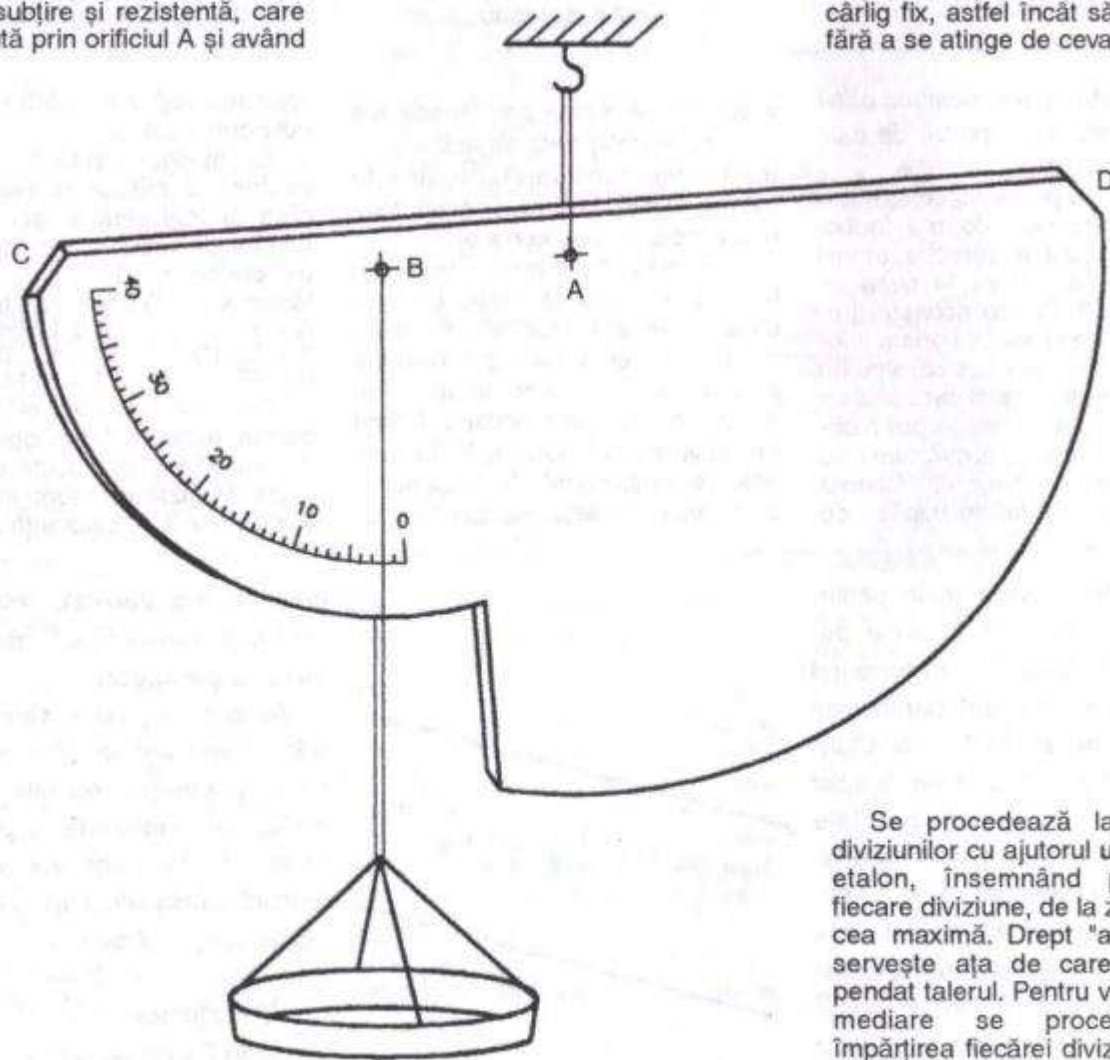
Singura problemă rămâne locul

de plasare a celor două orificii A și B. Acestea va fi stabilit prin încercări. Cu ajutorul unui ac se perforăză mai întâi cartonul în punctul B și cu ajutorul atei se atașează talerul.

Se caută apoi locul unde urmează să fie plasat orificiul A, tot cu ajutorul unui ac pe post de pivot, până când latura CD a cartonului coincide cu un reper orizontal, de exemplu blatul unei mese.

Urmează desenarea cadranelui sub formă unui arc de cerc cu centru în punctul B.

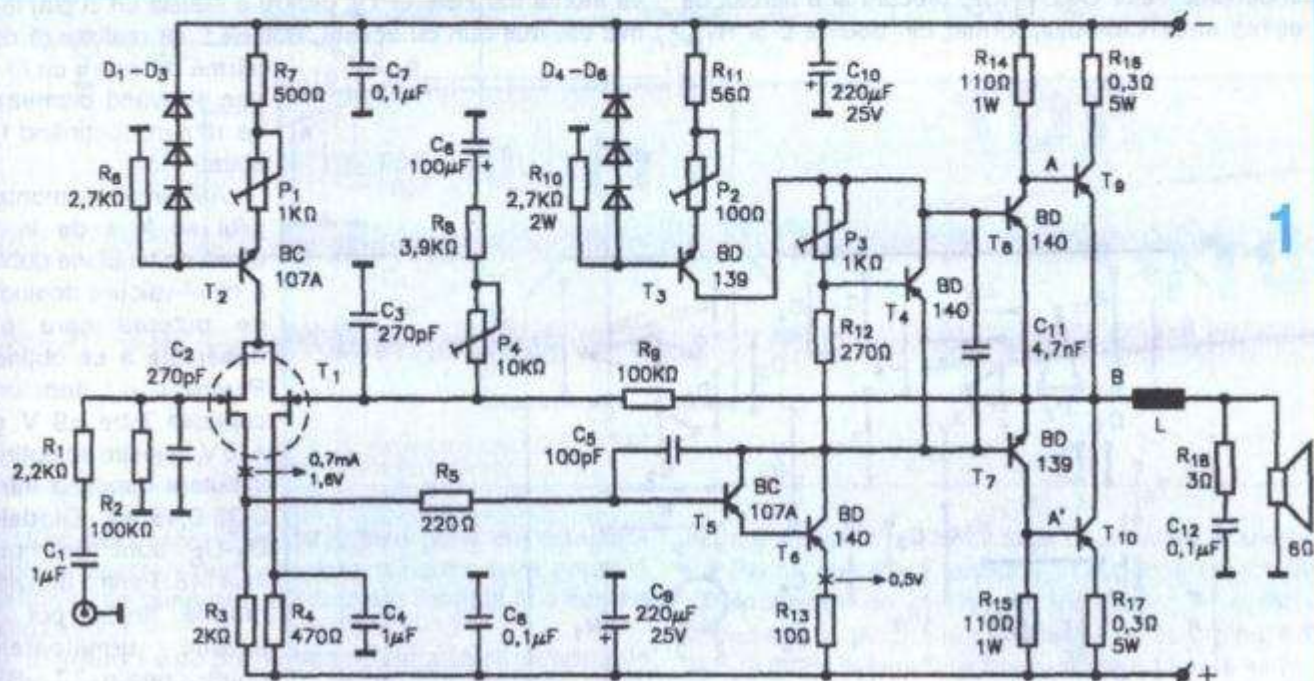
Se trece ată suport prin orificiul A și se suspendă cânțarul de un cărlig fix, astfel încât să stea liber, fără a se atinge de ceva.



Se procedează la stabilirea diviziunilor cu ajutorul unor greutăți etalon, însemnând pe cadran fiecare diviziune, de la zero până la cea maximă. Drept "ac indicator" servește ată de care este suspendat talerul. Pentru valorile intermedii se procedează la împărțirea fiecărei diviziuni în subdiviziuni egale.

AMPLIFICATOR AF

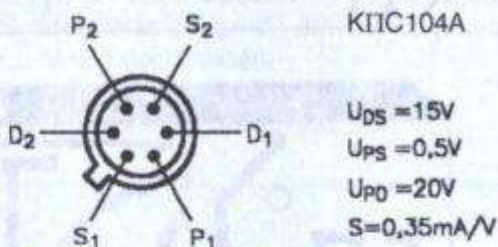
Pagini realizate de Romeo BOARIU, Botoșani



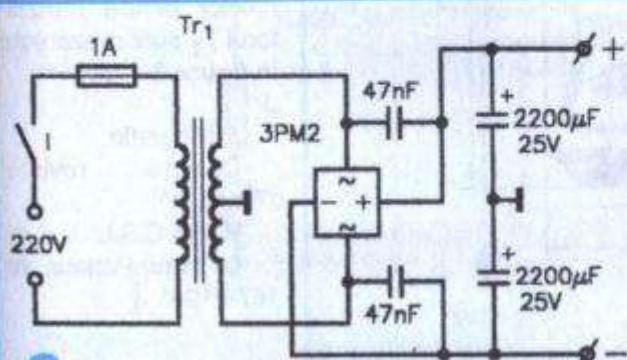
Montajul prezentat în figura 1 este inspirat după o schemă asemănătoare publicată în revista "Le Haut-Parleur" nr. 1674/1981. Privită la început ca o provocare, deși nu aveam la îndemână toate piesele necesare, în special tranzistorul cu efect de câmp dublu, am realizat-o în cele din urmă, fără însă a urmări prin aceasta o copiere fidelă a schemelui. Rezultatele sunt evident mai modeste decât cele prezentate în articolul sus amintit, în schimb există satisfacția realizării.

Revenind la schema din figura 1, partea de intrare a montajului este realizată cu un tranzistor cu efect de câmp "n" și structură dublă, de tipul KΠC104A (KPS104A), care asigură o echilibrare bună a întregului montaj, rezistență de intrare ridicată și în același timp zgromot de fond redus.

Tranzistoarele T₁, T₂ împreună cu piesele aferente



3



2

formează două generatoare de curent, care asigură curentii necesari etajului de intrare și etajului prefinal. Cu ajutorul potențiometrului P₁ se fixează curentii de drenă ai tranzistoarelor de intrare la valoarea notată pe schemă. Sarcina etajului prefinal realizată cu tranzistoarele T₅, T₆ este una activă, constituită din sursa de curent formată de tranzistorul T₃, care asigură o impedanță de ieșire ridicată și o amplificare mare.

Curentul prin etajul prefinal se ajustează cu potențiometrul P₂, urmărindu-se obținerea tensiunii de 0,5 V pe rezistența R₁₃. Prin etajul final, curentul de repaus se fixează cu ajutorul potențiometrului P₃, care acționează asupra diodei multiplicante realizată cu ajutorul tranzistorului T₄. Valoarea tensiunii de deschidere, măsurată între bazele tranzistoarelor T₈, T₇, este cuprinsă între 1,2 V și 1,4 V. Cele trei potențiometre se

vor regla în vederea obținerii în punctul "B" a unei tensiuni nule față de circuitul de masă al amplificatorului. De fapt, această tensiune nu va fi nulă, o valoare de 0,2-0,3 V este acceptabilă.

Pericolul apariției oscilațiilor este limitat prin folosirea filtrelor RC, realizate cu rezistența R_1 și capacitatea C_2 , a condensatoarelor C_3, C_{11}, C_5 , precum și a filtrului de la ieșirea amplificatorului, format din bobina L și R_{18} .

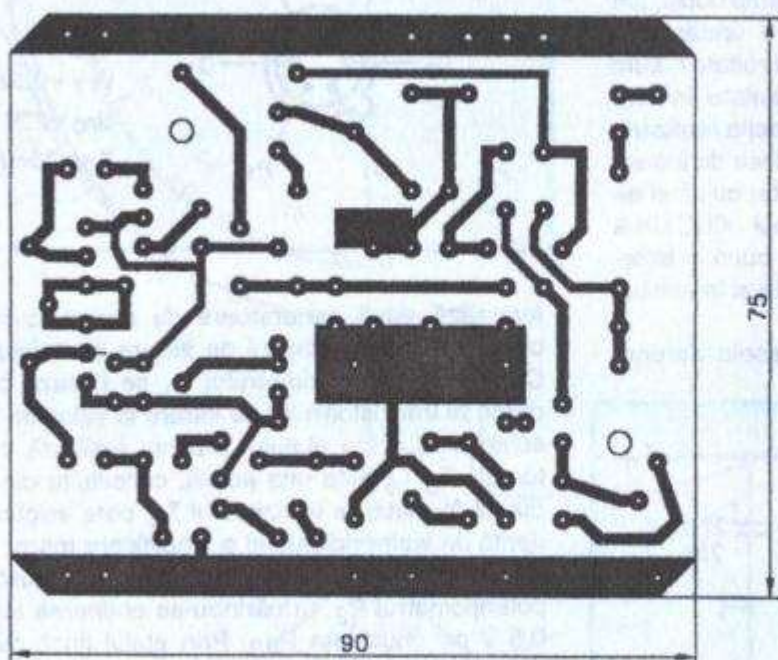
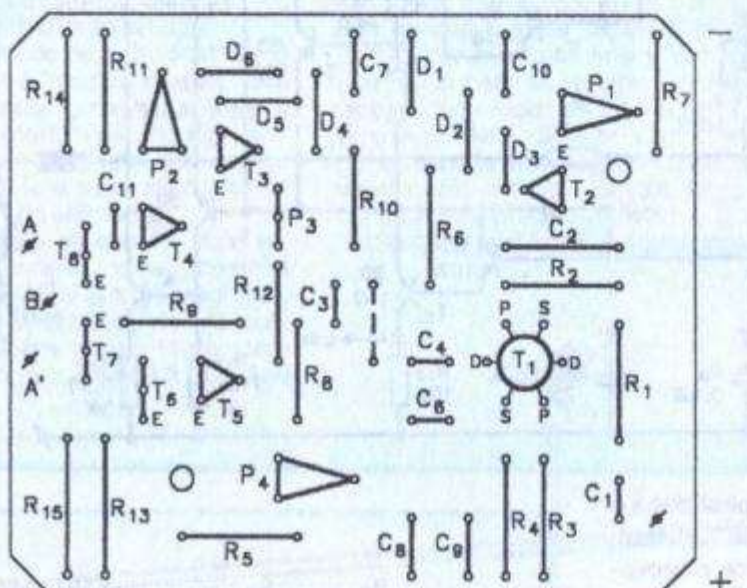
C12. Sensibilitatea de intrare a montajului se poate ajusta cu potențiometrul P_4 .

Tranzistoarele finale se montează pe un radiator cu suprafață de minimum 150 cm^2 , fără izolație față de acestea. În schimb radiatorul va fi izolat foarte bine de masa montajului. Pe radiator și izolat față de acesta se va monta tranzistorul T_4 , pentru a realiza un cuplaj termic cât mai bun cu acesta. Bobina L se realizează din sârmă de cupru cu $\varnothing 1 \text{ mm}$ și având diametrul de 10 mm, conținând 10 spire.

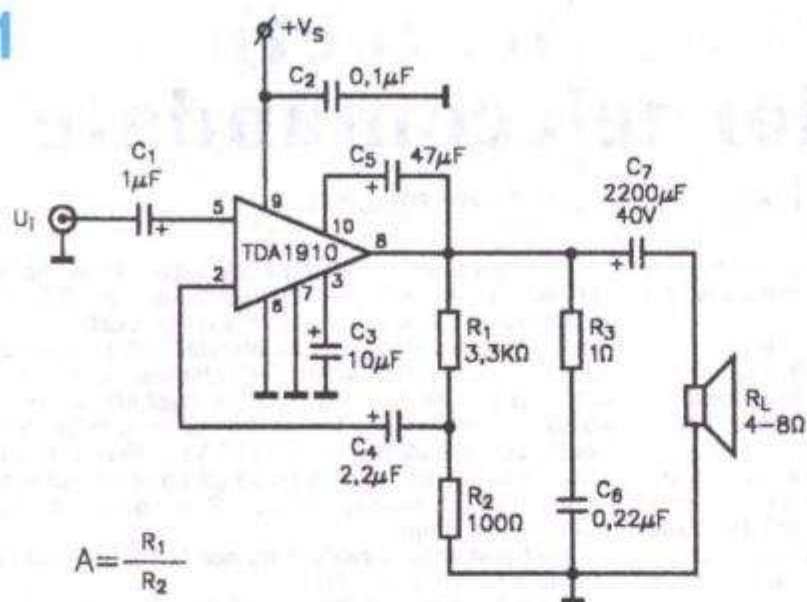
Alimentarea montajului se face de la o sursă de tensiune dublă a cărei valoare depinde de puterea care se urmărește a se obține. Pentru tensiuni cuprinse între $\pm 9 \text{ V}$ și $\pm 15 \text{ V}$, la ieșire se obține o putere cuprinsă între 0,35-0,45 W. Diodele D_1-D_6 sunt de tipul 1N4148. Pentru tranzistoarele finale pot fi folosite următoarele tipuri: pentru T_9 -BD 201-203, BD 302, 2N30554/4 sau echivalente; pentru T_{10} -BD 202-204, BDX18, BD 301 sau echivalente.

În figura 2 este prezentată schema alimentatorului, al căruia transformator se va dimensiona în funcție de puterea de ieșire dorită. Circuitul imprimat la scara 1/1, pentru un singur montaj, este prezentat în figura 4. Capsula și modul de dispunere a terminalelor pentru tranzistorul T_1 sunt prezentate în figura 3.

Bibliografie:
 Colecția revistei
 "Tehnium"
 Radio-C.S.I.
 Le Haut-Parleur, nr.
 1674/1981



1



TDA
1910

Circuitul integrat TDA 1910 face parte din categoria amplificatoarelor audio de larg consum, care prezintă performanțe bune precum și unele facilități la alegerea utilizatorului.

În figura 1 este prezentată schema tipică de aplicație fără utilizarea circuitului de muting. Amplificarea este dictată de raportul rezistențelor R_1 și R_2 , iar tensiunea de alimentare poate fi cuprinsă între 8V și 30V. Rezistența de sarcină poate avea valori de 4Ω și 8Ω. Pentru o tensiune de alimentare de 24 V, puterea obținută la ieșire este dependentă de valoarea rezistenței de sarcină. Astfel, pentru $R_2 = 4\Omega$, $P_U = 10W$, iar pentru $R_2 = 8\Omega$, $P_U = 7W$.

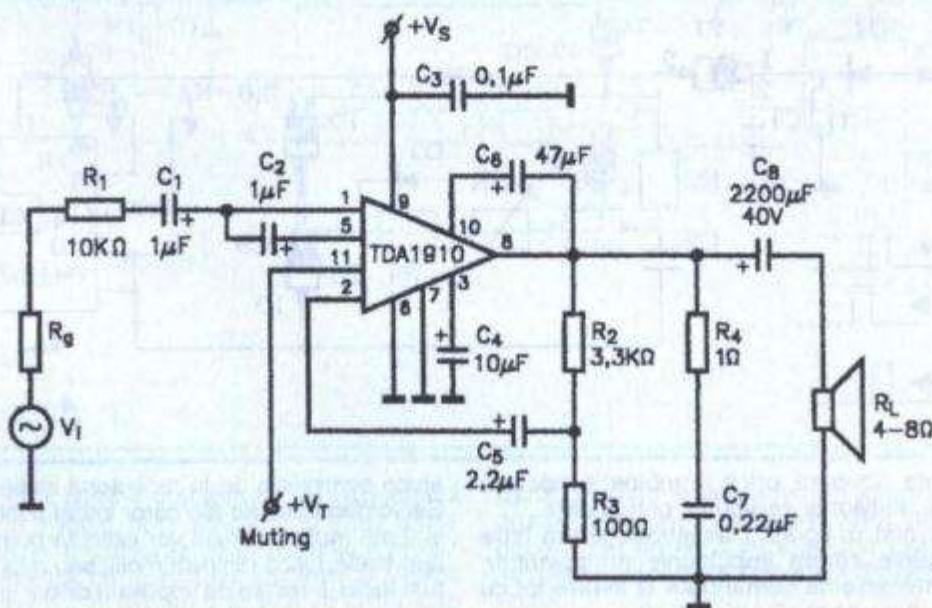
În figura 2 este prezentată schema același circuit

la care se poate utiliza circuitul de muting al semnalului. Pentru valori ale tensiunii V_T cuprinse între 1,9V și 4,7V, circuitul de muting nu este activ; în acest caz impedanța la pinul 1 al circuitului este de ordinul a 200 kΩ. În cazul în care tensiunea pe pinul 11 este mai mică de 1,9 V sau mai mare de 4,7V, circuitul de muting este activat, iar impedanța prezentată la pinul 1 al circuitului este de ordinul zecilor de ohmi. Semnalul de A.F. este șuntat la masă. Pentru valoarea de pe schemă a rezistenței R_1 atenuarea atinge 60 dB. Ceață parametri ai circuitului rămân neschimbați.

Bibliografie:

Le Haute-Parleur, nr. 1671/1981

2



Aparat de protecție a modelelor telecomandate

Pagini realizate de prof. ing. Sorin PISCATI

Sunt frecvente cazurile în care, dintr-un motiv sau altul, aeromodelul sau navomodelul telecomandat nu mai execută comenzi date de operator.

Pe lângă pierderile materiale care se înregistrează de obicei în astfel de cazuri, prin avariera sau chiar pierderea modelului, pot apărea și situații deosebit de periculoase, când acesta poate lovi cu mare viteză oameni, construcții sau diferite alte obiecte.

Pentru a evita în mare măsură astfel de incidente, am realizat și aplicat în practică (pe navomodelele telecomandate din clasele F1; F3 și FSR) un astfel de aparat care, atunci când dintr-un motiv sau altul se întrerupe legătura radio, sau când apar bruijaje, oprește motorul și brachează cărma în cca 0,1 secunde.

Montajul poate fi extins și pentru trei comenzi, dacă acest lucru este necesar. De exemplu, în cazul unui aeromodel mai complex, pe lângă oprirea motorului și comanda eleroanelor pe poziția "planare", poate fi necesară și o comandă pentru scoaterea trenului de aterizare.

Din practică, la navomodelle am constatat că sunt suficiente două comenzi și anume oprirea motorului și bracarea cărmei pe stânga sau pe dreapta. De cele mai multe ori este necesară numai oprirea motorului termic sau electric.

Întrucât stațiile de telecomandă digital proporțională sunt diversificate ca fabricație și construcție, în cele ce urmează acest aparat va fi prezentat în patru variante, conform tabelului alăturat.

Varianta	Semnale la ieșirea receptorului	Semnale la intrarea servomecanismului
I	Pozitive	Pozitive
II	Negative	Negative
III	Pozitive	Negative
IV	Negative	Pozitive

Montajul se asamblează pe placă de circuit imprimat (preferabil sticlotextolit) cu grosimea de 0,5 mm. Dimensiunile placăi vor fi cât mai reduse. Este preferabil ca în afara celor două circuite integrate, celelalte piese să fie miniatuale. Rezistoarele vor fi chimice, cu puterea de 0,1÷0,25 W (atenție la încălzirea cu cositor!) iar condensatoarele miniatuale. Tensiunile maxim admise pentru aceste condensatoare vor fi de 10 Vc.c. Este bine să se utilizeze condensatoare cu tantal (picătură) și multistrat.

În principal, montajul prezentat în figura 1 se compune din trei etaje:

1. Multivibratorul realizat cu portile P2 și P3 ale circuitului integrat MMC 4011;

2. Multiplexorul 4157;

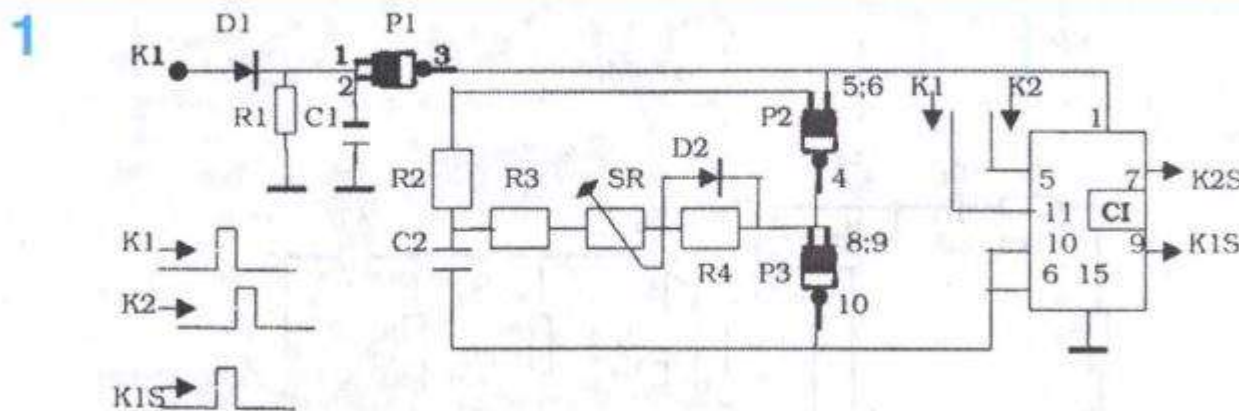
3. Integratorul în componenta căruia intră dioda D1, rezistența R1 și condensatorul electrolitic C1.

Poarta P1 a circuitului integrat MMC 4011 este conectată în schemă ca inversor. K1 și K2 reprezintă ieșirile receptorului corespunzătoare canalelor 1 și 2.

Funcționarea instalației

Impulsurile pozitive de la ieșirea K1 a receptorului de telecomandă atacă integratorul (diода D1) și totodată intrarea 11 a multiplexorului 4157.

Aceste impulsuri, redresate de dioda D1, încarcă condensatorul C1 astfel încât intrările 1 și 2 (legate în paralel) ale portii P1 sunt în 1 logic. În intervalul dintre două impulsuri succesive, condensatorul C1 nu se descarcă, păstrând astfel intrările 1 și 2 ale portii inversoare P1 în 1 logic (tensiune pozitivă apropiată de a sursei de alimentare). Ieșirea 3 a inversorului pune la masă (zero logic) intrarea 6 a portii P1 și pinul 1 al multiplexorului 4157. În aceste condiții, multivibratorul P2; P3 este blocat. Pinul 1 fiind în zero logic, multiplexorul la rândul său permite trecerea semnalelor primite pe intrările 5 și 11. Cu alte cuvinte, la ieșirile 7 și 9

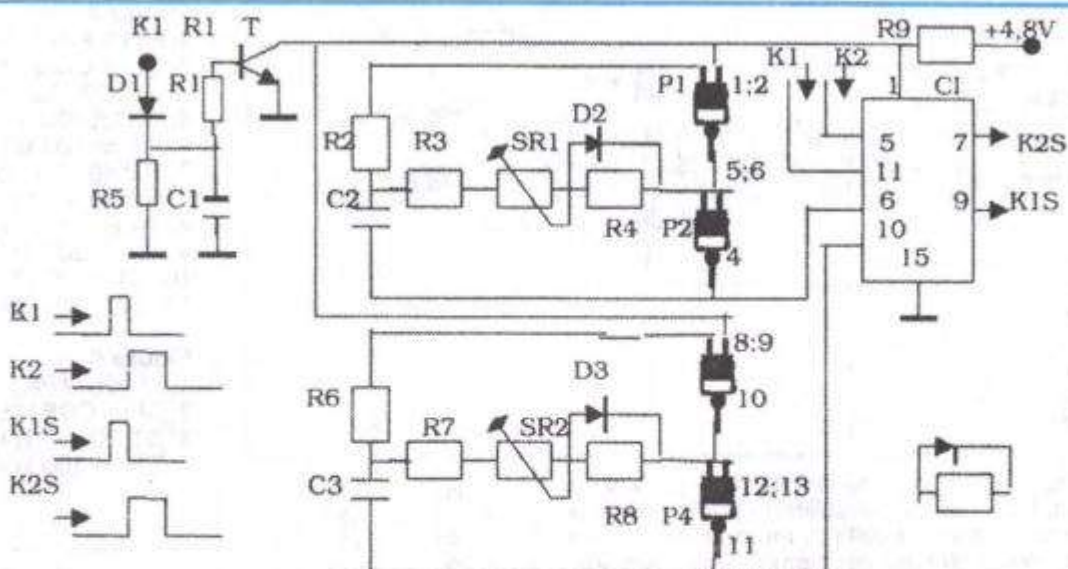


aceste variante acoperă orice combinație posibilă între receptoarele stațiilor și servourile comandate.

Montajul prezentat în figura 1 asigură legătura între receptoare la ieșirea cărora impulsurile au polaritate pozitivă și servomecanisme comandate la intrare tot cu impulsuri de polaritate pozitivă (varianta I).

ajung semnalele de la receptorul stației de telecomandă. Servomecanismele ale căror intrări sunt legate la ieșirile 7 și 9 ale multiplexorului vor executa numai comenzi date prin stație. Dacă dintr-un motiv sau altul se întrerupe legătura radio, trenurile de impulsuri dispar și condensatorul C1 se descarcă. Ieșirea 3 a portii inversoare P1 intră în 1 logic

2

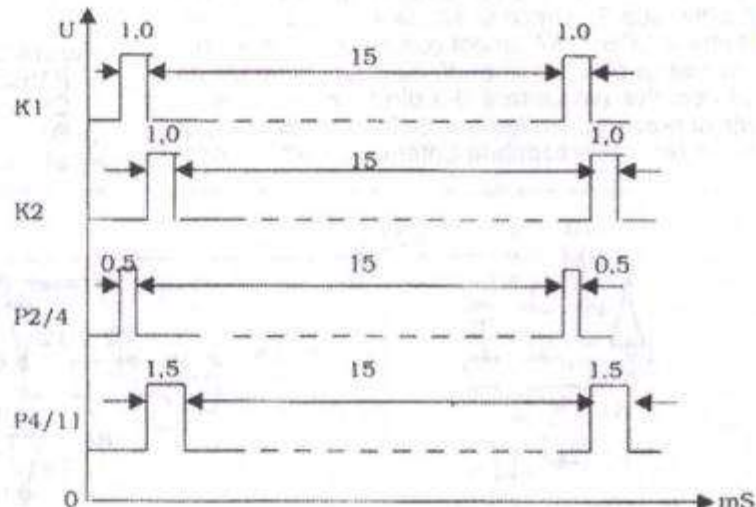


și o dată cu ea intrările 6 a multivibratorului și respectiv 1 a multiplexorului. Multivibratorul începe să oscileze, trimînd impulsuri pe intrările 6 și 10, iar de aici la ieșirile 7 și 9. Servourile răcordate la aceste ieșiri primesc impulsurile de la multivibrator. Lungimile acestor impulsuri sunt astfel reglate (cu semireglabilul SR) încât unul să oprească motorul iar celălalt să brâcheze cărma pe dreapta sau pe stânga.

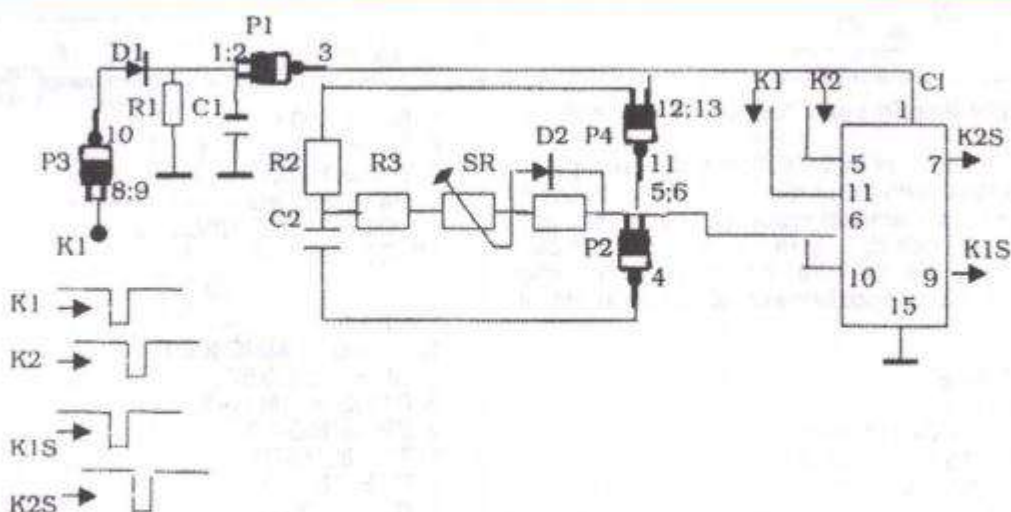
În concluzie:

Dacă ieșirea 3 a porții P1 și respectiv pinul 1 al integratului multiplexor CDB 4157 sunt în zero logic, la ieșirile K1S și K2S trec semnalele K1 și K2 de pe intrările 5 și 11.

3



4

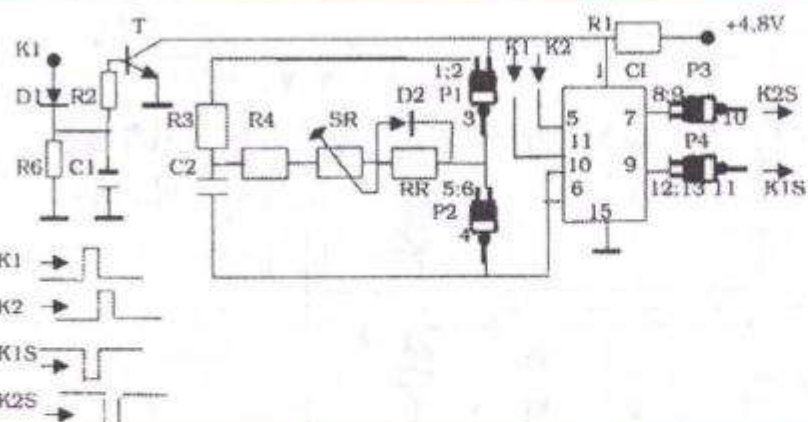


Dacă ieșirea 3 a porții P1 și pinul 1 al integratului CDB 4157 sunt în 1 logic, spre ieșirile 7 și 9 ale multiplexorului trec numai impulsurile de pe intrările 6 și 10.

Dacă este necesar ca servourile cuplate la ieșirile K1S și K2S să aibă poziții diferite unul față de celălalt, în

cazul pierderii legăturii radio montajul din figura 1 va fi completat cu încă un multivibrator, așa cum se arată în figura 2. În figura 3 se arată un exemplu de reglare a lungimii impulsurilor generate de cele două multivibratoare.

5



În acest caz, echea primului servo va fi pe poziția extremă stânga, iar a celui de al doilea în poziția extremă dreapta. Orice alte poziții intermediare ale echelor celor două servomecanisme sunt posibile. Reglajele respective se fac cu ajutorul potențiometrelor SR1 și SR2. Adăugând un al treilea multivibrator și totodată utilizând și intrarea 3, respectiv ieșirea 4 a circuitului integrat multiplexor CDB 4157, se pot comanda trei servouri.

Pentru stațiile de telecomandă care funcționează cu impulsuri negative (varianta a II-a din tabel) este destinat montajul prezentat în figura 4. Să în acest caz se pot face toate extensiile prezentate anterior. De altfel, aces-

Figura 2

1. P1;P2;P3;P4 \Rightarrow MMC4011
2. CI \Rightarrow CDB4157
3. D1; D2; D3 \Rightarrow 1N4148
4. SR1;SR2 \Rightarrow 100 k Ω
5. R1 \Rightarrow 100 k Ω
6. R2;R6 \Rightarrow 1 M Ω
7. R3; R7 \Rightarrow 10 k Ω
8. R4;R8 \Rightarrow 270 k Ω
9. R9 \Rightarrow 200 Ω
10. C1 \Rightarrow 15 μ F/10V
11. C2,C3 \Rightarrow 33 nF

Figura 4

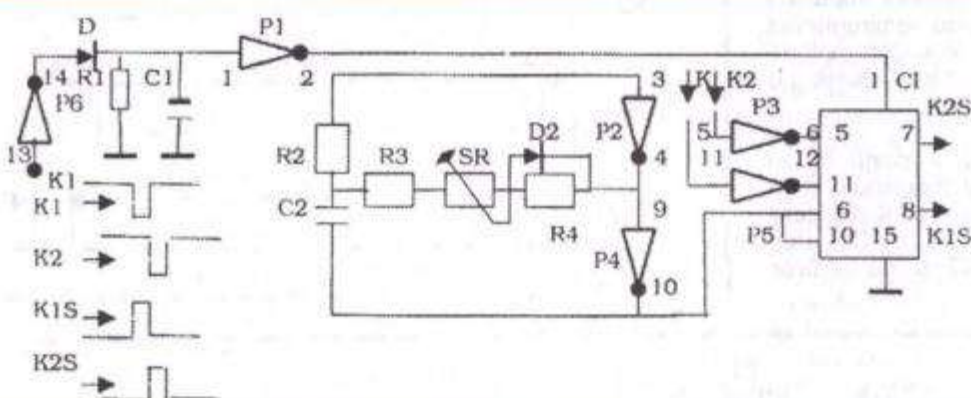
1. P1;P2;P3;P4 \Rightarrow MMC4011
2. CI \Rightarrow CDB4157
3. D1;D2 \Rightarrow 1N4148
4. SR \Rightarrow 100 k Ω

5. R1 \Rightarrow 100 k Ω
6. R2 \Rightarrow 1 M Ω
7. R3 \Rightarrow 10 k Ω
8. R4 \Rightarrow 270 k Ω
9. C1 \Rightarrow 15 μ F/10V
10. C2 \Rightarrow 33 nF

Figura 5

1. P1;P2;P3;P4 \Rightarrow MMC4011
2. CI \Rightarrow CDB4157
3. D1;D2 \Rightarrow 1N4148
4. SR \Rightarrow 100 k Ω

6



te extensii se pot face în cazul tuturor celor 4 variante din tabel.

În figura 5 este prezentată schema de principiu a unui montaj pentru varianta III din tabel, iar în figura 6 pentru varianta IV din același tabel. Să aceste instalații se pot extinde ca și cea din figura 1 la 2 sau 3 servouri controlate, astfel încât la întreupere legăturii radio echele acestora să se poziționeze la unghiuri diferite prescrise.

LISTA DE PIESE

Figura 1

1. P1;P2;P3 \Rightarrow MMC4011
2. CI \Rightarrow CDB4157
3. D1;D2 \Rightarrow 1N4148
4. SR \Rightarrow 100 k Ω
5. R1 \Rightarrow 100 k Ω
6. R2 \Rightarrow 1 M Ω
7. R3 \Rightarrow 10 k Ω
8. R4 \Rightarrow 270 k Ω
9. C1 \Rightarrow 15 μ F/10V
10. C2 \Rightarrow 33 nF

5. R1 \Rightarrow 200 Ω
6. R2 \Rightarrow 2,2 k Ω
7. R3 \Rightarrow 10 k Ω
8. R4 \Rightarrow 270 k Ω
11. C1 \Rightarrow 15 μ F/10V
12. C2 \Rightarrow 33 nF

Figura 6

1. P1-P6 \Rightarrow MMC4069
2. CI \Rightarrow CDB4157
3. D1;D2 \Rightarrow 1N4148
4. SR \Rightarrow 100 k Ω
5. T \Rightarrow BC107B
6. R1 \Rightarrow 200 Ω
7. R2 \Rightarrow 2,2 k Ω
8. R3 \Rightarrow 1M Ω
9. R4 \Rightarrow 20 k Ω
10. R5 \Rightarrow 270 k Ω
11. R6 \Rightarrow 100 k Ω
12. C1 \Rightarrow 15 μ F/10V
13. C2 \Rightarrow 33 nF

ALARMĂ SONORĂ

pentru

AEROMODELE

Montajul, sub forma unei "cutii negre", ușoare și de mici dimensiuni, este util în special aeromodelelor comandate prin radio.

Alarma sonoră intră în funcțiune în următoarele trei cazuri:

- Când receptorul rămâne în funcțiune după ce modelul a efectu-

at zborul și emițătorul a fost oprit. Alarma permite reperarea unui model pierdut de la cca 50 m. Este utilă mai ales când modelul a căzut într-o pădure, lan de cereale etc.

- Receptorul este pus accidental sub tensiune (de exemplu, în timpul transportului). Funcționarea în aceste condiții a ansamblului receptor - servomecanisme descarcă baterile de alimentare. În același timp comenziile modelului pot fi suprasolicită și de multe ori deteriorate prin rotirea necontrolată și peste limită a servomecanismelor.

- Pe teren, cu emițătorul oprit și receptorul în funcțiune, dacă alarma nu intră în acțiune, frecvența respectivă este deja ocupată. Aceasta permite identificarea unei alte stații de emisie care lucrează pe aceeași frecvență.

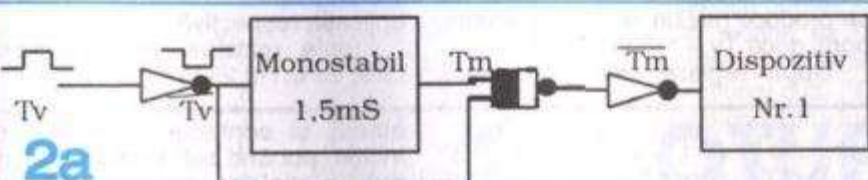
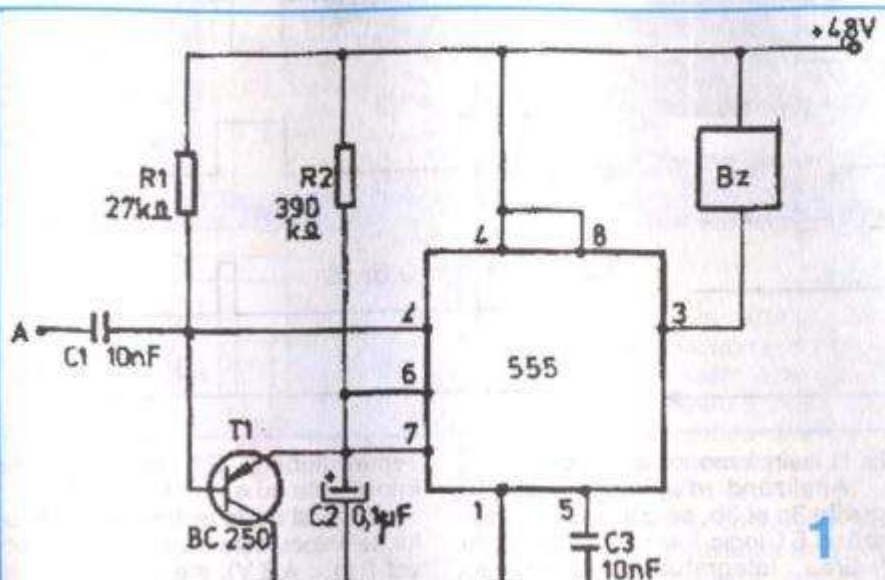
Funcționarea instalației

Intrarea A a dispozitivului prezentat în figura 1 se conectează la una din căile disponibile ale decodificatorului părții de recepție; poate fi comună și cu intrarea unui servomecanism. Impulsurile (pozitive) aplicate la intrarea A sunt diferențiate de ansamblul R1; C1. Ele declanșează fără oprire circuitul monostabil realizat cu elementele R2; C2; C1 (BE555) și în felul acesta mențin ieșirea circuitului integrat (pinul 3) la cca 4,8 V.

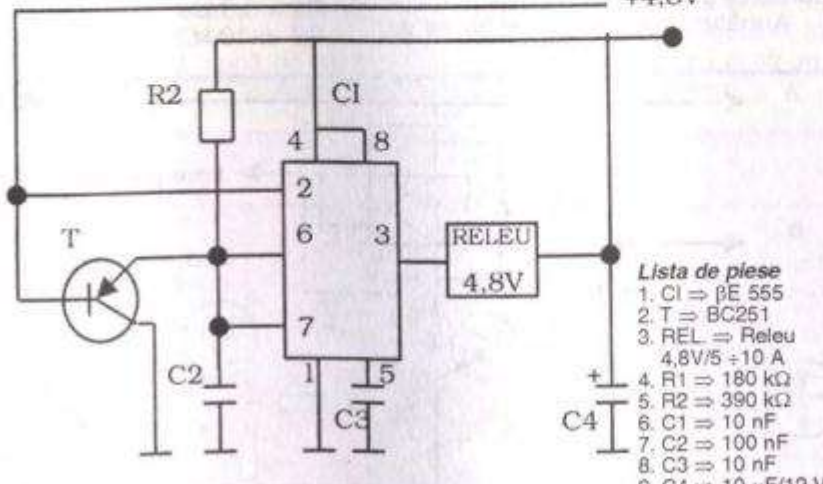
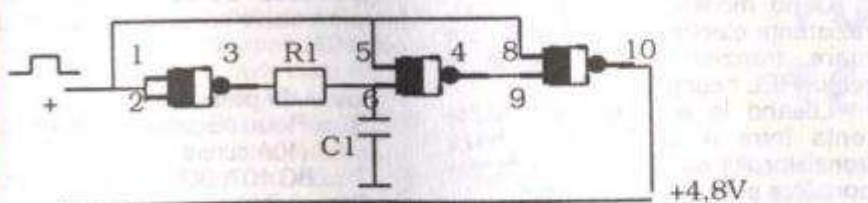
Totodată, impulsurile pozitive primite la intrarea A actionează și asupra tranzistorului T1, care descarcă la rândul lui capacitatea C2. Constanta de timp $R2 \cdot C2$ fiind mare, în raport cu intervalul dintre două impulsuri vecine, capacitatea C2 nu se poate încărca la nivelul de tensiune necesar basculării circuitului integrat 555.

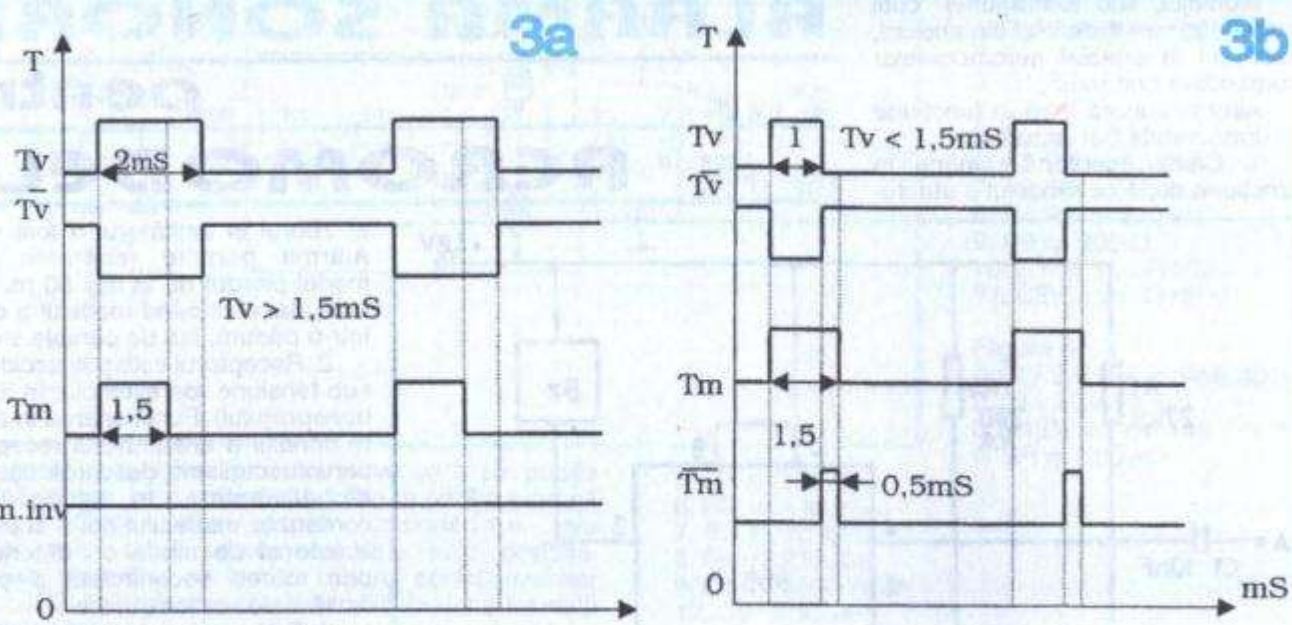
Dacă impulsurile dispar, tranzistorul T1 se blochează, C2 se încarcă prin R2 și, la sfârșitul perioadei de timp 1, ieșirea circuitului integrat IC1 trece în zero, punând în funcțiune buzerul B.

O varianță perfectionată a dispozitivului, prezentată în figura 2, poate realiza toate funcțiunile celui precedent și în plus comanda "tot sau nimic" atunci când durata impulsului devine superioară valorii de 1,5-1,7 ms, timp ce corespunde neutrului celor mai multe tipuri de servomecanisme. Aceste valori pot

**2b**

3 X 4011





fi modificate și pentru alte cazuri particulare.

Funcționarea dispozitivului

Să notăm cu T_v lungimea impulsului primit la intrarea A (fig. 2a) și cu \bar{T}_v valoarea negată (inversată) a acestuia.

Cu T_m notăm lungimea semnalu-

lui la ieșirea monostabilului.

Analizând diagramale din figurele 3a și 3b, se constată că, realizând E1 logic între semnalul de la ieșirea integratorului și valoarea negată a impulsului de la intrare, nu se produce nici un semnal la ieșirea portii dacă $T_v > 1.5$ ms.

După reglarea monostabilului,

semireglabilul R1 (fig. 2b) se înlocuiește cu o rezistență fixă.

Buzerul de la ieșirea dispozitivului se înlocuiește cu un releu adecvat ($U_n < 4.8$ V), ale cărui contacte suportă valoarea curentului cerut de aplicația respectivă.

Toate rezistoarele sunt miniatu-
tură, de 0,1-0,25 W.

CONECTOR AUTOMAT pentru NAVOMODELE

Sunt situații în care din grabă, emoția concursului etc., modelistul constructor uită să alimenteze receptorul stației de telecomandă sau electromotorul (electromotoarele) modelului, prin acționarea butoanelor respective, pierzând un timp prețios, mai ales dacă este cazul participării la un concurs.

Pentru evitarea unui astfel de incident, se poate echipa modelul cu un montaj simplu a cărui funcționare este bazată pe conductibilitatea electrică a apei.

Sondele A și B (practic două nituri sau capse din argint, bronz sau alamă) sunt plasate la o distanță mai mică de 1 cm, pe coca navei (partea imersă), izolate între ele.

Dacă modelul are coca din metal sau alt material bun conductor de electricitate, cele două nituri vor fi izolate și de aceasta.

În serie cu contactele releului REL se montează alimentarea receptorului sau a motorului electric,

după caz.

Când modelul nu este în apă, rezistența electrică între A și B este mare, tranzistorul T1 deschis și releul REL neacționat.

Lăsând la apă modelul, rezistența între A și B scade, baza tranzistorului este polarizată corespunzător și acesta se deschide.

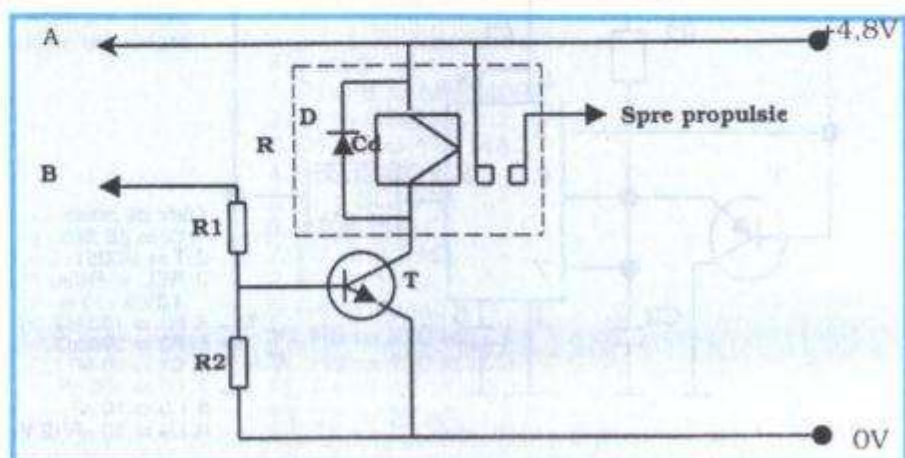
Armătura mobilă a releului este

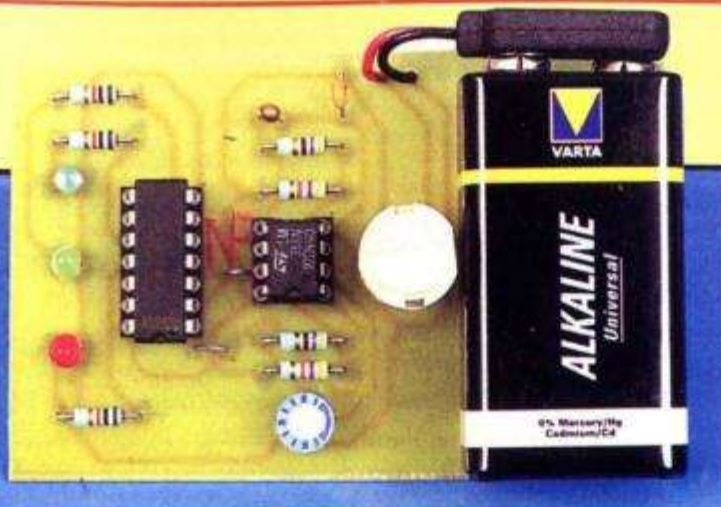
atrașă și contactele acestuia se închid, punând sub tensiune receptorul stației de telecomandă sau motoarele (motorul) navomodelului.

Releul trebuie să funcționeze la o tensiune de 4-12 Vcc, corespunzător tensiunii sursei de alimentare. Consumul acestuia nu trebuie să depășească 20-30 mA, iar contactele trebuie să suporte curenti de cca 10A.

Lista de piese

- R ⇒ Releu electromagnetic 4V/10A (10A curent de rupere)
- T ⇒ BC 107; BC 171; BD 135 etc.
- R1 = 3,3 kΩ
- R2 = 10 kΩ





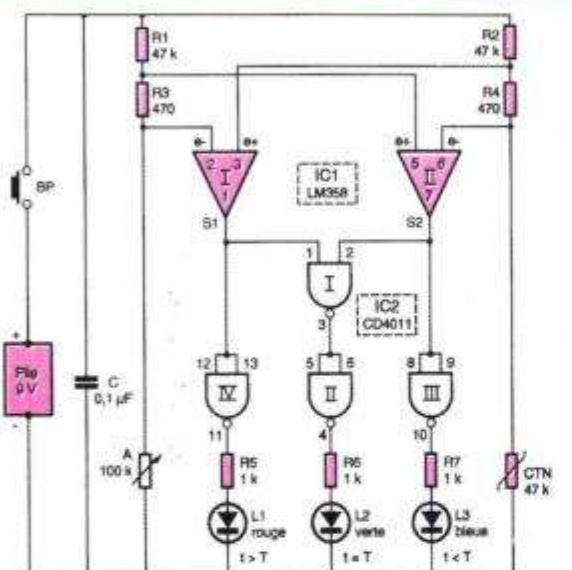
CONTROLOR de TEMPERATURĂ

În articolul cu acest titlu, publicat în revista *Electronique Pratique* nr. 269 / octombrie 2002, autor R. Knoerr, este prezentat un minitestor portabil conceput pentru a indica rapid, sugestiv și concludent dacă temperatura dintr-o incintă are valoarea așteptată (dorită, necesară), iar în caz că nu, dacă este mai mare sau mai mică decât temperatura dorită. Indicația este luminoasă, prin aprinderea unui LED: verde pentru conformitate (egalitatea temperaturilor), albastru pentru temperatură mai mică, respectiv roșu pentru temperatură mai mare decât cea dorită.

În montaj se utilizează un termistor cu coeficient negativ de temperatură (CTN - 47 kΩ), un amplificator operațional dual (IC1 - LM358) și cele patru porți logice NAND conținute în capsula circuitului IC2 - CD4011.

Ecartul stării de conformitate (LED verde aprins) este de cca 1°C, el putând fi modificat prin mărirea sau micșorarea valorii comune a rezistențelor R3 și R4.

Temperatura de referință se stabilește din rezistența ajustabilă A.

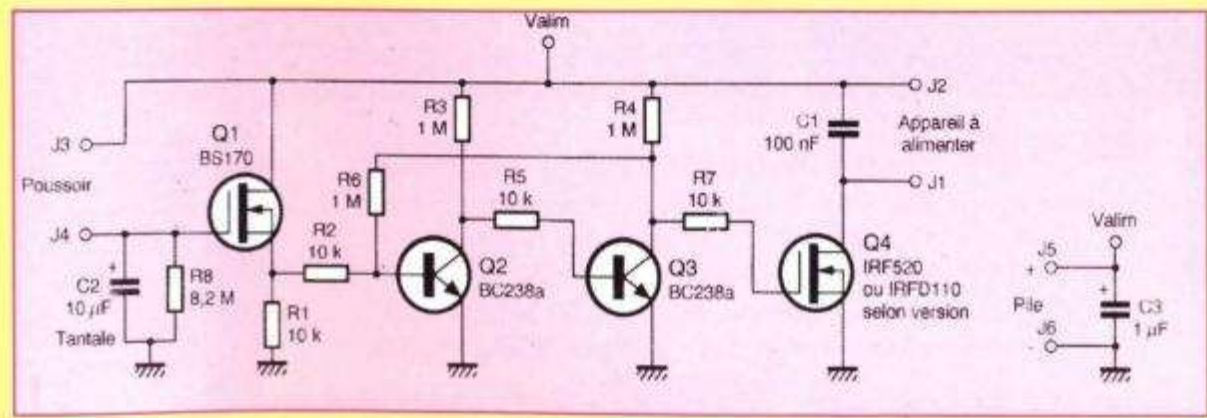


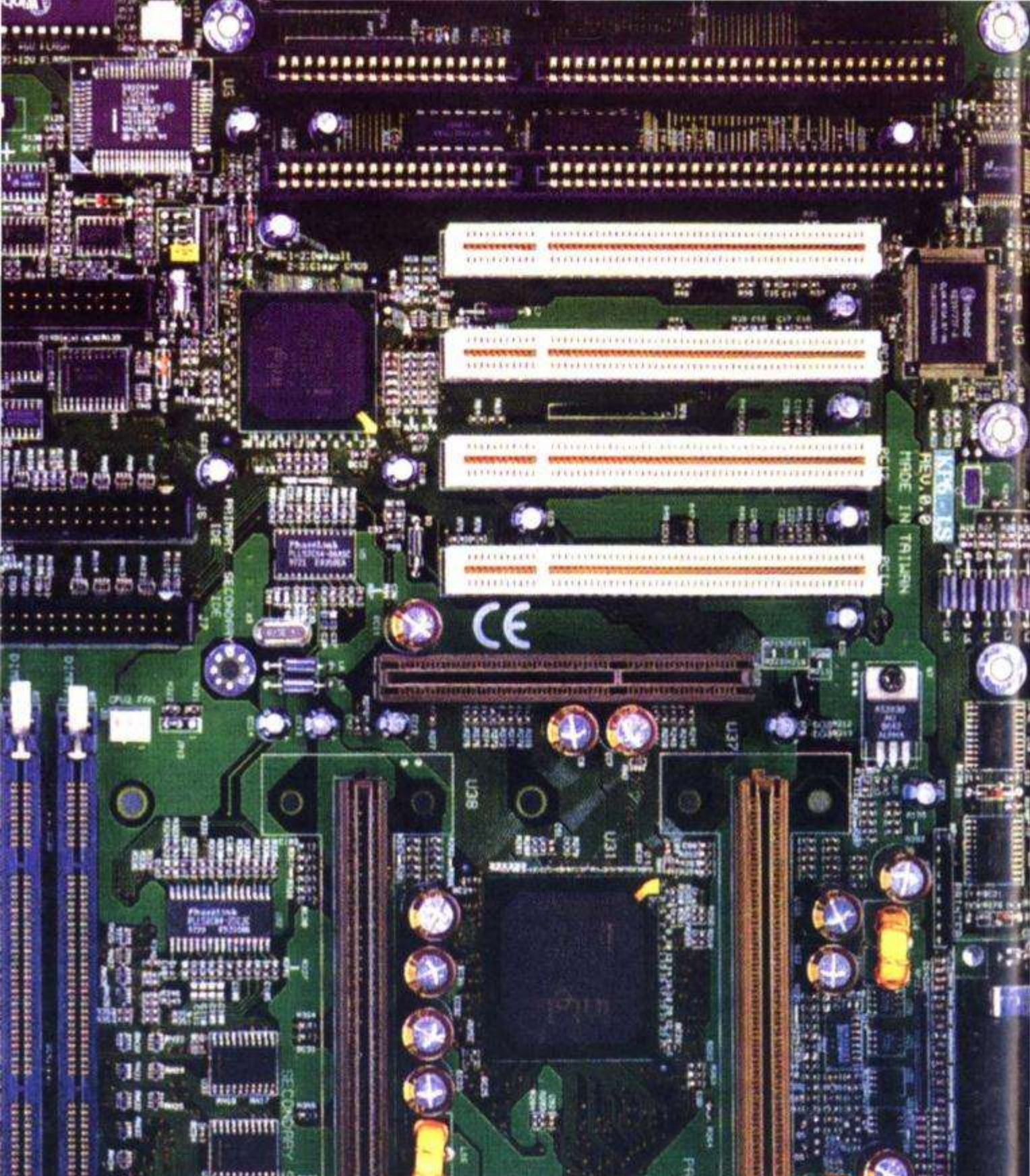
Pentru a cruța viața bateriilor care alimentează diverse aparate portabile, atunci când dorim funcționarea acestor aparate pe dure scurte de timp (câteva minute, dar ușor extensibil la zeci de minute), G. Durand, în articolul *Mise sous tension temporisée*, publicat în revista *Electronique Pratique* nr. 266 / iunie 2002, pag. 88-91, propune realizarea temporizatorului alăturat. O apăsare scurtă a butonului (Poussoir) asigură pornirea aparatului, oprirea fermă a acestuia (grăție triggerului Schmitt încorporat în schemă) făcându-se automat, după un interval determinat de constanța de timp R8 C2. Autorul descrie realizarea

FUNCȚIONARE TEMPORIZATĂ

montajului în două variante, cu componente obișnuite și, respectiv, cu SMD-uri.

Constructorii interesați pot înlocui eventual primul MOSFET printr-un JFET ușual, iar pe al doilea printr-un Darlington.





Cauti ? - Nu găsești ? - E prea scump ? - ... Ai încercat la :

TRIODA
hifi shop

www.trioda.ro



Multimetre, Telecomenzi, Trafo linii, Componente electronice

Cataloage din magazinele din Oradea sau prin poștă :

HIFI SHOP : str.Primăriei nr. 48 , tel.: 0259-436.782

CONTACT : str.Şelimbărului nr.2 , tel.: 0259-267.223

Cod poștal: 410209 ORADEA , Fax: 0259-210.225,

e-mail: sales@trioda.ro



Pret: 29 500 lei